

PRAKTICKÁ ELEKTRONIKA

3
2015

Amatérské
RADIO

**Indikátor zařazeného
rychlostního stupně**



Ročník 2014 na CD ROM

KONKURS PE - AR 2015



Generátor minutových impulsů pomocí DCF



V TOMTO SEŠITĚ

Náš rozhovor	1
Ročník 2014 na CD ROM	3
Vyhášení Konkursu PE - AR	4
Světloz	5
AR mládeži	
Základy elektrotechniky	6
Penférie mikrokontrolérů (18)	7
Jednoduchá zapojení	
pro volný čas	9
Indikátor zařazeného	
rychlostního stupně	13
Svorky na měření	17
Generátor minutových impulsů	
pomocí signálu DCF 77,5 kHz	18
Dekády z Číny	21
Ozobot	22
Ověřte si přesnost multimetru	
při měření stejnosměrného proudu	24
Inzerce	I-XVI, 48
Konstrukce	
gramofonu (pokračování)	25
Dávkové ovládání	
k nízkofrekvenčnímu zesilovači II	29
Antény	31
PC hobby	33
Rádio „Historie“	37
Z radioamatérského světa	41

PRAKTICKÁ ELEKTRONIKA Amatérské RADIO

Redakce: Šéfredaktor: Ing. Josef Kellner;
Ing. Jaroslav Belza, Petr Havlík, OK1PFI.

Adresa administrace: Blanická 845/9, 120 00
Praha 2, tel.: 702 106 157. Navštívte: pondělí
od 13 do 16 h.; úterý a středa od 8 do 11 a od
13 do 14 hodin, nebo po předchozí domluvě.

Roční výměna 12 čísel. Cena výtisku 75 Kč.

Rozšiřuje: První novinová společnost a. s.,
MediaPrint-Kapa a. s. a soukromí distributoři.

Předplatné v ČR zajišťuje Amaro spol. s r. o.,
Michaela Hrdličková (Blanická 845/9, 120 00
Praha 2, tel.: 702 106 157; odbyt@aradio.cz).
Distribuci pro předplatitele také provádí v za-
stoupení vydavatele společnost Česká pošta,
oddělení periodického tisku; e-mail: postabo-prst@cpost.cz; Olšanská 9, 130 00 Praha 3,
bezplatná infolinka 800 300 302. **Objednávky do**
zahraničí: MediaCall s. r. o.; www.predplatnedo-zahranici.cz; Videňská 995/63, 639 63 Brno,
tel.: +420 532 165 165.

Předplatné v Slovenské republice vybavuje Magnet-
Press Slovakia s. r. o., Sustavka 10, 851 04 Bratislava -
Petřalka; korespondence P. O. BOX 169,
830 00 Bratislava 3, tel./fax (02) 67 20 19 31-33 - před-
platné, e-mail: predplatne@press.sk.

Podávání novinových zásilek povoleno Čes-
kou poštou - ředitelství m. OZ Praha (č.j. nov 6005/
96 ze dne 9. 1. 1996).

Inzerce přijímá: Michaela Hrdličková, Blanická
845/9, 120 00 Praha 2, tel.: 702 106 157;
inzerce@aradio.cz.

Za původnost a správnost příspěvků odpovídá
autor (platí i pro inzerce).

Vydavatel: AMARO spol. s r. o., ČO 63487/233.
Vychází: 5. den v daném měsíci.

Internet: <http://www.aradio.cz>
E-mail: pe@aradio.cz

Nevyžádané rukopisy nevracíme.
ISSN 1804-4773, MKČR E 7409

© AMARO spol. s r. o.

NÁŠ ROZHOVOR



s panem Miroslavem Bulkou,
ředitelem společnosti Diametral,
která se zabývá výrobou přístrojů
a vybavení elektronických a elek-
trotechnických laboratoří a uče-
ben.

Je to několik let, co jsme si spo-
lu na stránkách našeho časopi-
su povídali. Co se od této doby
u vás událo?

Především jsme posílili naše po-
stavení jako výrobce technologických
pracovišť Variolab+. Vybudovali jsme
výkonnou konstrukční kancelář, aby-
chom mohli zákazníkům nabídnout
lepší služby a zejména řešení na
míru. K dnešnímu dni má katalog
Variolab+ více než 2000 komponentů,
což si myslím je účtyhodné číslo.
V návaznosti na pracoviště Variolab+
jsme uvedli na trh systém nabytku
a úloh pro praktickou výuku a školení
pod názvem Varioclick λ. V nepo-
slední řadě před čtvrt rokem elektro-
technická pracoviště Vertigo. Snaží-
me se stále být „O dva kroky dál“, jak
zní náš starý slogan.

Podle toho, co slyším, nabývá
dojem, že jste přeorientovali
svou produkci pouze na výrobu
pracovišť. Je to tak?

Ne, ne, to je omyl. Výroba elektro-
nických přístrojů je stále naše hlavní
činnost. Vždyť bez ní bychom nevyřá-
běli ani ta pracoviště. Například Ioni
jsme začali vyrábět RLC dekadou pod
názvem RLC-D1000. V tomto období
jsme začali vyrábět pro odborné ško-
ly výukovou modovou stavebnici
Experiment 2D a spoustu elektronici-
kých a elektrických modulů pro Vari-
olab+. Takže elektronika je náš výt
v plachtách.

Chtěl jsem se právě zeptat na
dekádu a vy jste mě předběhl.
Zaujal mě její neotřelý vzhled.



Obr. 1.
RLC dekáda
RLC-D1000



Pan Miroslav Bulka

Právě dekáda RLC-D1000 se sta-
la prvním výrobkem s novou koncep-
cí vzhledu našich výrobků, založe-
nou na čistém provedení. V tomto
duchu budou námi vyráběny i další
přístroje. Tím dalším bude nová mik-
ropočítáčka HBT-1050, která bude
představována již příští měsíc. Samo-
zejmé, že i nové laboratorní zdroje
budou vycházet z této designové
platformy, ale o tom si povíme až ně-
kdy příště.

Vrátím se k systému Varioclick λ.
Co to vlastně je?

Varioclick λ jsou pracoviště pri-
márně určená pro praktickou výuku
a školení. V podstatě vycházejí ze
systému Variostav, který byl odvoze-
ninou pracovišť Variolab+. Toto ře-
šení však nebylo z mnoha důvo-
dů šťastné, proto jsme v roce 2013
představili nový systém pod názvem
Varioclick λ a prodej Variostavu jsme
ukončili. Nicméně to zásadní, co je
na tomto výukovém systému uniká-
tní, jsme ponechali a přepřacovali jen
konstrukci pracoviště. Hlavní myšlen-
ka celého systému je uložena ve spe-
ciálním zámečku, kterým lze snadno
a rychle připevnit na základovou desku
jakékoliv zařízení, například zá-
suvku, výpínač apod. Ušetřený čas je
pak možné věnovat samotnému za-
pojování obvodu.

Co to v praxi znamená?

Dříve, když měl student provádět nějakou úlohu, například zapojení okruhu osvětlení, musel vzít všechny jističe, vypínače, svítidla a ty nějakým způsobem připevnit, nejčastěji šrouby do dřevěné desky, a pak mohli začít s vlastním zapojením obvodu. Samozřejmě, že čas určený na vyřešení úlohy není nekonečný. Tím, že daný čas vyplýval montáží přístrojů na desku, mu zbylo málo času na samotné zapojení obvodu. Přesně na to, co by měl v praktické výuce prověřovat. S použitím našich komponentů VarioClick se zkrátí doba montáže komponentů na desku na dobu, která se rovná připevnění jednoho jističe původním řešením. Z toho jasně vyplývá, že student má při používání systému VarioClick 3x více času na samotné zapojování obvodů. Nejen ve školství je však tento způsob řešení úloh použitelný. Například firma ČEZ v Hradci Králové využívá tento systém pro školení svých zaměstnanců a distributorů. Oceňují právě výše popsané vlastnosti. Dnes máme ucelenou řadu pracovních úloh, takže pedagogové dostávají do rukou mocný nástroj pro výuku elektrotechniky a příbuzných oborů.

Proč má VarioClick označení 3?

Všechno souvisí se vším a toto řecké písmeno má samozřejmě nějaký vztah k výrobku. Odpověď na tuto otázku bych si však dovolil vyhlásit jako soutěž, řekněme o mikropáječku SBL 530.1A. Kdo správně odpoví do konce března 2015 na tuto otázku, bude zařazen do slosování o uvedení mikropáječky. Své typy mohou čtenáři zasílat na mailovou adresu variolab@diametral.cz.

Tak to jsme tu ještě neměli, aby se z rozhovoru stala soutěž. Pokračujeme však dále. Co je to Vertigo?

Vertigo vzešlo vlastně nedávno z požadavků našeho zákazníka, nadnárodní společnosti Eaton European Innovation Center, respektive jejího vývojového oddělení. Byli jsme postaveni před problém dodat 43 pracovníků tomuto zákazníkovi, který nechtl

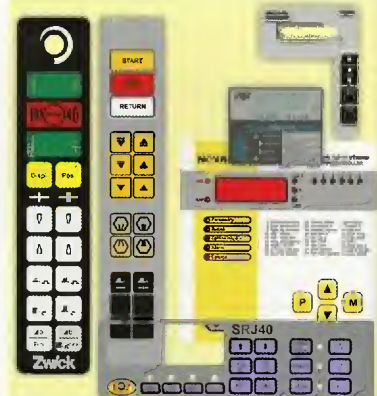
a ani nemohl mít přístroje v nástavbě někde nad pracovní deskou tak, jak je to běžné u VarioLabu+. Co s tím? Jediné možné řešení bylo dát přístroje do nohou stolu. K tomu však VarioLab+ není vůbec určen. Padlo tedy rozhodnutí, že to celé navrhne od základu jinak. K tomu nám pomohly i zkušenosti nabyté z vývoje VarioLabu+ a celá konstrukce byla zákazníkovi předvedena za pouhé dva měsíce. Protože se domníváme, že se jedná o velmi zdařilý výrobek, rádi jej nabídneme i dalším zákazníkům.

Stále ještě také vyrábíte štítky pro elektrické přístroje?

Samozřejmě, tato část výroby pokračuje. Naším zákazníkům nabízíme také přímý potisk panelů. Zejména na organické sklo je tato služba velice žádaná. A také naše přístroje z nové řady jsou touto technologií potištěny. Zajímavého efektu panelů dosáhneme také tím, že čiré organické sklo potiskneme z vnitřní strany. Tak lze docílit moderního vzhledu přístrojů v provedení lesklého čelního panelu. Výhodou naší dodávané řešení je fakt, že jsou barvy UV stabilní, takže nemění barvu. Také tiskneme grafiku na přístupové karty, již od výrobních sérií 10 ks a v nízkých cenách. Proto i výrobek, kterého se vyrábí malé množství, může mít vlastní grafiku a tím se odlišit od konkurence. Velikost panelů, popřípadě jiných dílů určených k potisku, je maximálně 420 x 297 x 50 mm.

Z čeho vy osobně máte radost?

Asi můj současnou největší radostí je pořízení nové průmyslové budovy s velkým pozemkem v Horních Počernicích pro naši společnost. Tam bychom chtěli koncem dubna tohoto roku, po ukončení stavebních prací, přestěhovat všechny naše provozny a mít tak vše pod jednou střechou. Naše výroba a sklady byly rozprostřeny na třech místech a logistika mezi nimi byla již neúnosná. Také potřeba výrobních prostor výrazně narostla, takže pořízení nové budovy by o jen logickým vyústěním tohoto neutešeného stavu. Vlastně jsme si nové prostory poříдили v předstihu k 25. narozeninám společnosti, které oslavíme v únoru 2016.



Obr. 3. Fóliové štítky

A víte, že si pamatují, jak jste přišel do redakce před 25 lety s koncepcí výukových stavebnic pro rubriku R15?

Ano, je to tak. Ani mně samotnému se tomu nechce věřit. Když si vzpomenu na začátky... Ale to jsme tu již jednou probírali. Konec nostalgie. Každopádně je to pod mě čas na zastavení se, poohlédnutí se za sebe a připravit si další směr. Ten my máme jasně daný. Chceme se stát špičkou ve střední Evropě na výrobu elektrotechnických pracovišť, vzdělávacích systémů a všeho, co k tomu patří. To znamená pro vědu a výzkum.

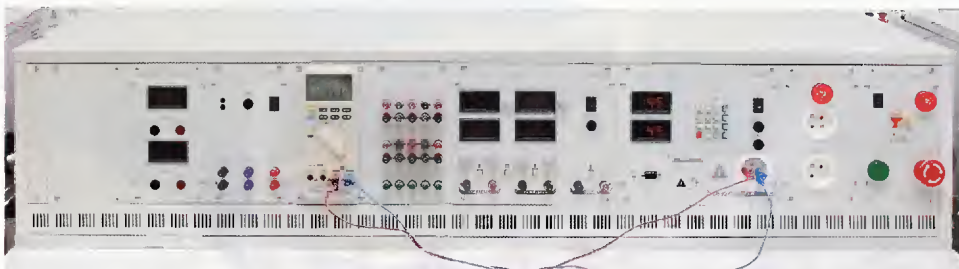
Jak z rozhovoru vyplývá, vše se u vás točí především okolo vzdělávání a výzkumu. Dodávky pracovišť jsou tedy jedinou vaší aktivitou na tomto poli?

To rozhodně ne. Jak jsem již někde řekl, skutečně kvalitní a zdravý podnik má svoji činnost podporovat jiné. Nazýváme to charita, sponzorování, to je ostatně jedno, ale jde o podstatu věci jako takové. Proto se i my snažíme podporovat studenty odborných škol našimi aktivitami. Proto jsme partnery a sponzory několika středoškolských soutěží jak u nás, tak i na Slovensku a třeba i v Maďarsku.

Nezbývá mi, než vám popřát minimálně ještě dalších úspěšných 25 let a poděkovat za rozhovor.

Připravil Ing. Josef Kellner.

Obr. 2. Příklad měřicího panelu





Ročník 2014 na CD ROM

Vážení čtenáři, nyní vychází nový CD ROM s ročníkem 2014 časopisů našeho vydavatelství.

CD ROM 2014 zahrnuje kompletní obsah časopisu Praktická elektronika - Amatérské Radio, včetně obálky a inzerce za rok 2014.

Vše je zpracováno ve formátu Adobe PDF.

Na disku je nahrán prohlížeč program Adobe Acrobat.

Po nainstalování prohlížečového programu Acrobat Reader jsou tři

možnosti otevření požadovaného časopisu. Tou první je otevřít přímo soubor, např. _PE07_2014.pdf a ukáže se první strana čísla 7 Praktické elektroniky - Amatérské Radio. V ní můžeme listovat pomocí šipek v liště nástrojů nebo stačí kliknout na číslo stránky v obsahu.

Druhou možností je otevřít soubor _AMARO2014.pdf. Objeví se dvě stránky se všemi titulními listy jednotlivých časopisů. Stačí kliknout na jeden z nich, otevře se žádaný časopis na první straně a dále pokračujeme jako v předchozím odstavci.

Poslední možnost je otevřít soubor _ObsahPE2014.pdf, objeví se známý obsah z PE - AR 12/2014 a kliknutím na číslo stránky se otevře přímo požadovaný článek.

Na zbytek místa na CD ROM jsme nahráli:

- Programy ke konstrukcím uveřejněným v PE - AR.
- Vyhledávací databázi článků od roku 1980 do konce roku 2014.

Věříme, že se vám bude tento nový CD ROM líbit a že jím opět rozšíříte svou elektronickou knihovnu.

Redakce

Popsaný CD ROM si lze objednat telefonicky na 702 106 157 nebo na naší adrese:

**AMARO spol. s r. o.,
Blanická 845/9, 120 00 Praha 2.**

CD ROM vám mohou být doručeny na dobírku (k ceně bude přičteno poštovné a balné) nebo si je můžete vyzvednout osobně. CD ROM si také lze zakoupit v některých prodejnách knih a součástek.

Objednávejte také přes internet:

www.aradio.cz; E-mail: odbyt@aradio.cz

**Cena CD ROM PE - AR 2014 je 350 Kč.
Předplatitelé časopisů u firmy AMARO mají výraznou slevu, mohou si ho zakoupit za 220 Kč.**

Zájemci na Slovensku si mohou CD ROM objednat u firmy Magnet-Press Slovakia s. r. o., P. O. BOX 169, 830 00 Bratislava, tel./fax (02) 672 019 31-33, předplatne@press.sk



Vambora, K.: Vzestupy a pády české televizní techniky. Vydalo nakladatelství BEN - technická literatura v roce 2014, 258 barevných stran B5, obj. č. 121358.

Unikátní kniha s vysokým dokumentačním charakterem popisuje vývoj české televizní techniky od předválečných počátků až do dneška.

Kniha popisuje nejen vývoj techniky, ale i osudy lidí na pozadí politických karambolů. Vše záviselo na mladých tvůrčích osobnostech, které vzaly prapor a udělaly něco nového. Každý došel, kam mu síly a okolnosti dovolaly. Pak vzal prapor někdo jiný a zase šel dál. Casem jich bylo víc. Tak tomu je i nyní.

Po druhé světové válce začali otcové zakladatelé pod křídly armády a rozhlasu vyvíjet televizi podle německého standardu. Německý výzkum se za války ukrýval v pohraničí. Za tři roky předvedli pracovníci v Tanvaldu, a následně na mezinárodní výstavě rozhlasu MEVRO v Praze funkční systém i s vysílačem. Nakonec vysílali přenos z XI. všesokolského sletu. Komunisté zprvu neměli o televizi zájem, tak trvalo dalších 6 let, než bylo v roce 1953 zahájeno pravidelné vysílání. Následovala éra profesionálního výzkumu, vývoje, výroby a výstavby televizních středisek v celé republice. Zařízení bylo elektronkové, později tranzistorové pro černobílou a pak i pro barevnou televizi. Po roce 1990 však toto odvětví zaniká. Kupodivu to neznamená konec české účasti, ale naopak eskalaci. Vznikly nové firmy schopné dodávat na míru vybavení ze zahraničního zařízení, řešit automatizaci a uplatnit informační technologie. Dnes se vysílá digitálně s vysokým rozlišením.

Knihu si můžete zakoupit nebo objednat na dobírku v prodejně technické literatury BEN, Věšňova 5, 100 00 Praha 10 - Strašnice, tel. 274 820 211, 274 818 412, e-mail: knihy@ben.cz, adresa na internetu: <http://www.ben.cz>.

Vyhlášení Konkursu PE - AR

na nejlepší elektronické a radioamatérské konstrukce v roce 2015

BeeProg2 - extrémně rychlý
univerzální programátor
s rozhraním USB/LPT
(sponzor ELNEC)



Dvoukanálový USB osciloskop
120 MHz MS24/RM
(sponzor ETC)



Pravidla

Konkurs PE - AR jsou jako vždy
co nejjednodušší. Opět jsme získali
několik sponzorů, a proto budou
kromě peněžních odměn rozděleny
i věcné prémie.

Do Konkursu přijímáme libovolné
konstrukce bez ohledu na to, zda jsou
jednoduché nebo složitéjší.

Přihlášené konstrukce budou po-
suzovány z hlediska jejich původnosti,
vtipnosti, technického provedení
a především účelnosti.

Všechny konstrukce musí splňo-
vat podmínky bezpečného provozu
zejména z hlediska možnosti úrazu
elektrickým proudem.

Pro Konkurs je na odměny od
vydavatelství AMARO vyčleněno
až 60 000 Kč. Termín uzávěrky při-
hlášek je 25. září 2015.

Podmínky Konkursu PE - AR

1. Konkurs je neanonymní a může se ho
zúčastnit každý. Dokumentace musí
být označena jménem, adresou a dai-
šními údaji, které umožní kontakt s účast-
níkem.
2. Použití součástek je libovolné.
Snahou by mělo být moderní obvo-
dové řešení.
3. Příspěvek musí být podán na poštu
nebo zaslán na e-mail (pe@aradio.cz)
do 25. 9. 2015 a musí obsahovat:
a) přihlášku s osobními údaji autora,
b) schéma zapojení,
c) výkres desek s plošnými spoji;
d) podrobný popis konstrukce. V úvo-
du musí být stručně uvedeno, k jaké-
mu účelu má výrobek sloužit (zdů-
vodnění koncepce), a shrnutí základní
technické údaje.

4. Podklady by měly být v elektronico-
ké formě. Zmenší se tak riziko vzniku
chyb při přepisování a překreslování.
Formát souborů (PC) lze dohodnout
s redakcí. Výkresy i fotografie musí
být očíslovány, v textu na ně musí
být odkazy. Na konci textu musí být
seznam součástek, texty pod obrázky
a seznam literatury.

5. Přihlásit lze pouze konstrukce, kte-
ré dosud nebyly v ČR a SR publiko-
vány - redakce si přitom vyhrazuje
právo jejich zveřejnění. Pokud bude
konstrukce zveřejněna, bude hono-
rována jako příspěvek bez ohledu na
to, zda byla či nebyla odměněna.

6. Ceny budou uděleny do konce led-
na 2016.

Výsledky Konkursu PE - AR 2015
budou zveřejněny v PE - AR 1/2016.



Se a st
laboratorní
zdroj, páječka
(sponzor
DIAMETRAL)



BeeProg2 - extrémně rychlý
univerzální programátor
s rozhraním USB/LPT.
Cena: 30 223 Kč
Sponzor: ELNEC Prešov



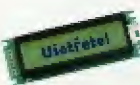
Dvoukanálový USB
osciloskop 120 MHz
k PC s pomaluběž-
ným režimem
MS24/RM,
v ceně 18 800 Kč.
Sponzor: ETC



Věcná prémie
v ceně 7000 Kč
z oboru elektroniky
podle vlastního výběru.
Sponzor:
Český radioklub

« DIAMETRAL

Sestava přístrojů:
laboratorní ss zdroj P230R51D
(2x 0 - 30 V, 0 - 4 A, 5 V/2 A);
elektronická mikropáječka SBL 530.1A.
Celkem za 11 600 Kč
Sponzor: DIAMETRAL Praha



Součástky
v hodnotě 1000 Kč.
Sponzor:
www.hezkyden.cz



Dva poukazy na knihy
v hodnotě 500 Kč
z nakl. BEN-technická
literatura.
Sponzor:
BEN-technická literatura



Věcná prémie v hodnotě
5000 Kč za jednoduchou
konstrukci užitečného do-
plňku k radioamatérské sta-
nici. Sponzor: RMC Nová
Dubnica, SR

Bezdrátová myš,
400 Kč.
Sponzor: Milan
Folprecht, OK1VHF,
a FCC Public



Každý účastník Konkursu PE - AR 2015 obdrží zdarma CD-ROM s obsahem ročníku 2014 časopisů firmy AMARO

SVĚTOZOR



Budič LED žárovek umožní stmívání triakem

Integrovaný budič LED žárovek AP1695 od firmy Diodes Inc. (www.diodes.com) umožní stmívání jím osazených 120V a 230V LED žárovek s příkonem do 8 W pomocí řady běžných triakových stmívačů využívajících fázového řízení na naběžné nebo sestupné hraně. Průběh stmívání až do 1 % odpovídá standardu NEMA SSL6, elektromagnetické vyzařování splňuje standard IEC 6100-3-2. Budič využívá pro řízení výstupního proudu PFM (pulsní frekvenční modulace), přičemž je dosaženo vysokého účinku ($>0,9$) a celkového harmonického zkreslení méně než 30 %. Obvod používá SO-7 obsahuje též ochranné funkce působící např. proti následkům zkratu, přerušení zátěže, podpětí nebo tepelnému přetížení.



Integrované magnetorezistivní senzory

Vysokou citlivostí až 7 gauss a malou spotřebou 360 nA se vyznačují nové integrované magnetorezistivní senzory řady Nanopower od firmy Honeywell (www.honeywell.com). Jsou menší, spolehlivější a mají delší životnost než jazýčková relé, jsou citlivější než Hallovy sondy a vystačí s menšími a slabšími, tedy levnějšími magnety. Senzory řady Nanopower jsou dostupné ve dvou provedeních, ultracitlivé SM351LT, jímž typicky postačí magnetická indukce 7 gauss (maximálně 11 gauss) odebrající při napájení 1,65 až 5,5 V proud 360 nA, a vysocecitlivé SM353LT s typickou pracovní magnetickou indukcí 14 gauss (maximálně pak 20 gauss) s napájecím proudem 310 nA. Senzory jsou omipolární (nezávisí na polaritě magnetického pole), CMOS výstup je dvojitý, nevyžaduje zdvihací rezistor, maximální výstupní proud je 150 μ A. Rozsah pracovních teplot je mezi -40 až +85 °C. Senzory se vyrábějí v pouzdře SOT-23. Předpokládá

se rozsáhlé použití např. ve vodoměrech, plynoměrech a elektroměrech, bezpečnostních zařízeních, domácích spotřebičích, lékařských přístrojích a zařízeních nebo spotřební elektronice



Senzor teploty pro nositelnou elektroniku

Firma Murata (www.murata.com) oznámila zahájení sériové výroby senzorů teploty využívajících jako čidlo termistor NTC s plošnými spoji umístěný na ohebné podložce (FPC – flexible printed circuit). Podložka má tloušťku přibližně 100 μ m, takže senzor lze umístit do malého prostoru i složitěho tvaru. Vzhledem k malé tepelné kapacitě je odezva senzoru na změny teploty velmi rychlá. Flexibilita a rozměry senzoru 50 \times 3,17 \times 0,55 mm se uplatní např. při měření teploty v stále kompaktnějších a více funkcemi vybavených mobilních telefonech a tabletech nebo pro monitorování tělesné teploty nositelnou elektronikou, jako jsou fitness náramky nebo monitory tělesné aktivity při sportu. Senzor s poněkud dlouhým typovým označením FTNT55XH103FA1A050 má při 25 °C odpor 10 k Ω \pm 1 % a je určen pro měření v rozsahu -40 až +125 °C. Chyba měření při 25 °C je \pm 0,4 °C.



Senzor měří puls a nasycení krve kyslíkem

Společnost OSRAM Opto Semiconductors (<http://www.osram-os.com>), dceřiná společnost firmy OSRAM, představila první integrovaný optický senzor pro měření pulsní frekvence při sportu mobilními zařízeními, jako jsou integrované hodinky a fitness náramky. Senzor umožňuje při umístění na prst vedle měření pulsu také určení obsahu kyslíku v krvi na základě absorpce světla (pulsní oxymetrie). Čip senzoru SFH 7050 obsahuje tři LED s různými vlnovými délkami, jejichž odražené světlo přijímá fotodetektor oddělený od těchto zářičů neprůhlednou bariérou. Zářiče

mají vlnové délky 530 nm (zelená), 660 nm (červená) a 940 nm (infračervená). Zelené světlo je vhodné pro měření pulsu na zápěstí. Červené nebo infračervené zářiče jsou používány při měření pulsu na prstu, kdy mohou také měřit obsah kyslíku v krvi. Pro správnost měření je důležitá přesnost vlnové délky a úzké spektrální pásmo, okolo 30 nm. Červená LED má např. toleranci vlnové délky pouze \pm 3 nm. Čítí i fotodiody integrované v pouzdře s rozměry 4,7 \times 2,5 \times 0,9 mm má aktivní plochu 1,3 \times 1,3 mm, vynikající linearity a poměr signálu/šum. Infračervená LED s fotodiodou mohou sloužit i jako snímač přiblížení, na základě jehož signálu je měření započato a ukončeno.



Napájení displeje a řízení podsvícení chytrého mobilu na jednom čipu

Integrovaný obvod SL98611 od firmy Intersil (www.intersil.com) zajišťuje jako zatím první nejen napájení TFT-LCD displejů smartphonů a např. malých displejů mobilních přístrojů, ale i analogové, PWM a hybridní řízení stmívání podsvícení s LED. S jeho pomocí lze výrazně zlepšit účinnost obou funkcí a tak značně prodloužit funkčnost přístroje při provozu z baterie. Navíc je dosaženo jak rovnoměrného jasu, tak lepší konzistence barev. Obvod ISL98611 obsahuje zvyšovač regulátor, regulátor s malým úbytkem a invertor pro napájení displeje LCD poskytující \pm 5 V s účinností až 88 % a zvyšovací regulátor s proudovými výstupy pro dva nebo tři řetězce podsvícovacích LED s účinností až 93 %. Proud LED řetězce se liší nejvíce o \pm 2,8 % při 50 μ A a \pm 2,2 % při 1 mA. Vstupní napětí IO, který potřebuje vedle cívky 10 μ H jen sedm externích součástek, může být v rozsahu 2,5 až 5 V. Výstupní napětí a funkce obvodu jsou nastavitelné přes rozhraní I²C. Výhodou jsou i rozměry WLCSF pouzdra s půdorysem 2,33 \times 2,61 mm. Rozsah pracovních teplot ISL98611 je -40 až +85 °C.

JH

ISL98611: Single-Chip Display Power and LED Driver for Smartphones



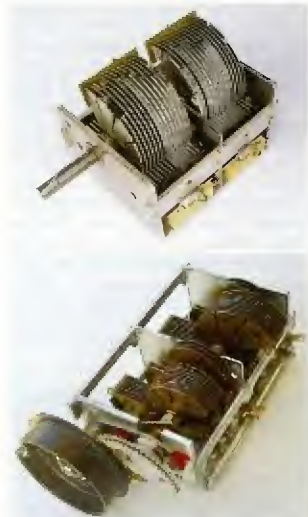
AR ZAČÍNÁJÍCÍM A MÍRNĚ POKROČILÝM

Stavba AM přijímače

V předchozích dílech bylo popsáno několik základních zapojení vstupní části AM přijímače. Ta začíná rezonančním obvodem, na který bývá přiveden signál z vnější pomocné antény. Jeho účelem je výběr signálu určitého kmitočtu ze směsi signálů, které anténa přijímá. Rezonanční obvod (paralelní) má pro naladěný kmitočt velkou impedanci, signály odlišných kmitočtů svede k zemi/uzemnění. Cívka ladičného rezonančního obvodu může být vzduchová nebo na uzavřeném feritovém jádru, většinou však bývá navinuta na delší feritové tyčce, která koncentruje magnetickou složku signálu v okolí a indukuje odpovídající napětí ve vinutí – tvoří feritovou anténu. Feritová anténa může dodat dostatečně silný signál pro přijímač s aktivními prvky i bez pomocné drátové antény. Podmínkou je silné VF pole a její správné směřování – horizontálně, kolmo k rozhlasovému vysílání. Pokud přivedeme signál z vnější drátové antény, lze ladič obvod postavit i se vzduchovou nebo toroidní cívkou. Toroidní cívka má tvar prstence, její magnetické pole je uzavřeno, a proto je vliv vnějšího magnetického pole minimální. Nefunguje tedy jako anténa, pouze jako cívka.

Ladič kondenzátory v rozhlasových přijímačích

Při návrhu cívky ladičného obvodu vycházíme z kapacity ladičného kondenzátoru, který máme k dispozici. Ve starších přijímačích byly osazovány deskové ladič kondenzátory. Pro příjem dlouhých



Obr. 122. Deskový ladič kondenzátor se dvěma i čtyřmi sekcemi (2x SV, 2x VKV)

a středních vln (270 kHz, 1000 kHz) postačil kondenzátor se dvěma sekcemi na společném hřídeli (obr. 122). Společný pól, obvykle země, byl na kovové kostře s hřídeli, druhý pól každé sekce na samostatném vývodu. Jejich obvyklá maximální kapacita bývá kolem 500 pF u každé sekce, minimální v plně otevřeném stavu kolem 16 pF. Novější přijímače rozšířené o rozsah VKV měly deskové kondenzátory s dalšími dvěma výrazně menšími sekcemi o maximální kapacitě 30 až 50 pF a celkovém rozměru 100 x 50 x 35 mm.

V přenosných přijímačích jsou běžně používané styroflexové ladič kondenzátory (obr. 123). Vzduchová mezera mezi deskami rotoru a statoru byla nahrazena tenkými plátkami styroflexu s větší permitivitou. To umožnilo zmenšit rozestup desek a jejich plochu při zachování kapacity. Standardní rozměr takového ladičného kondenzátoru je 20 x 20 x 15 mm. Na zadní straně jsou dva (pro DV, SV) nebo čtyři (pro DV, SV, VKV) samostatné kapacitní trimry, které se používají pro nastavení souběhu ladění v dnes běžných superheterodynních přijímačích. Minimální kapacita kterékoliv sekce je kolem 12 pF, maximální pro VKV je 33 pF (dvě sekce) a pro DV, SV je 280 pF (opět dvě sekce).

Jedna sekce se používá pro ladění vstupního obvodu, druhá stejná pro ladění oscilátoru. Protože v pásmu VKV se používá již značně vysoký kmitočt, má pro toto pásmo ladič kondenzátor opět dvě samostatné sekce s menší kapacitou – jednu pro ladění vstupních obvodů, druhou pro oscilátor.

Pro experimenty s přijímáním na SV a DV můžeme spojit paralelně všechny sekce nebo použít jen jednu sekci s velkou kapacitou. Zemní pól vždy připojte na vývod spojený s hřídeli, jinak se bude při kontaktu obsluhy se hřídeli rezonanční obvod rozkládat a do přijímaného signálu bude pronikat brum.

Aby bylo možné přijímač naladit v rozsahu středních vln, vypočteme potřebnou indukčnost ladič cívky s největší kapacitou (280 pF), tj. pro nejnižší kmitočt 530 kHz:



Obr. 123. Styroflexový ladič kondenzátor pro pásma AM a FM se 4 kondenzátorovými trimry

$$L = \frac{1}{(2\pi f)^2 C}$$

$$L = 1 / ((2\pi \cdot 530\,000)^2 \cdot 280 \cdot 10^{-12}) = 322 \mu\text{H}$$

Spojením dvou ladičných sekcí 280 pF paralelně se zmenší potřebná indukčnost na polovinu (161 μH), což usnadní vinutí cívky.

Ověříme rozsah přeladění pro případ s jednou použitou sekcí. Minimální kapacita jedné sekce ladičného kondenzátoru je 12 pF:

$$f = \frac{1}{2\pi \sqrt{LC}}$$

$$f = 1 / (2\pi \sqrt{(12 \cdot 10^{-12}) \cdot 322 \cdot 10^{-6}}) = 2\,560 \text{ kHz}$$

Paralelním připojením kondenzátoru 14 pF lze přeladění zkrátit do kmitočtu 1 739 kHz. Lze tedy proladit celý rozsah rozhlasových středních vln.

Počet závitů vzduchové jednovrstvé cívky lze určit ze vztahu

$$N = \sqrt{\frac{25 \cdot L + 23 \cdot R/L}{R^2}} \quad [N; \text{cm}, \mu\text{H}]$$

kde R je poloměr cívky v cm, L indukčnost v μH a l je délka vinutí v cm (obr. 124). Indukčnost cívky pak je

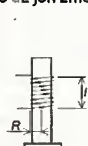
$$L = N^2 R^2 / (23R + 25) \quad [\mu\text{H}; N; \text{cm}]$$

Pro požadovanou indukčnost stačí na větší průměr cívky menší počet závitů. Navineme-li požadovanou indukčnost na malou PET láhev o průměru 4,7 cm a délku u vinutí odhadneme na 2 cm, bude třeba

$$N = \sqrt{\frac{(25 \cdot 2 + 23 \cdot 2,35) \cdot 322}{2,35^2}} = 78 \text{ závitů}$$

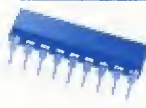
průměr drátu s izolací je 20 mm/78 = 0,26 mm. Cívka s indukčností 322 μH navinutá na kostře o průměru 4,7 cm v délce 2 cm bude tvořena 78 závitů. Cívka se stejnou indukčností navinutá na kostře o průměru 2 cm v délce 6 cm bude navinuta 236 závitů.

Přibližný průměr drátu včetně izolace bude 60 mm/236 = 0,25 mm. S drátem většího průměru bude mít cívka menší vlnový odpor a vyšší číselnost Q, ale bude delší. Obvykle se vine tenkým lakovaným drátem o průměru kolem 0,2 mm nebo tenkým vlnem. Je-li dostatek místa, lze pro vinutí použít i zvukový drát. Jeho relativně tlustá izolace zaručí menší mezizávitovou kapacitu, a cívku tak bude možné použít do vyšších kmitočtů, podle počtu závitů až do desítek MHz. Pro kmitočty nad vlastní rezonanci, ve které indukčnost cívky rezonuje s vlastní mezizávitovou kapacitou, se cívka chová už jen jako kondenzátor s malou kapacitou a s rostoucím kmitočtem se její impedanace už jen zmenšuje.



Obr. 124. Výpočet závitů jednovrstvé vzduchové cívky

Periférie mikrokontrolérov (18)



Ďalšie obvody skupiny B

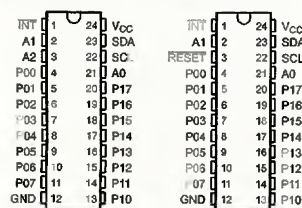
PCA9535, PCA9539, PCA9555

Tieto tri obvody predstavujú 16-bitovú verziu popisovaných expanderov. Funkčné sú opäť v podstate zhodné so svojimi 8-bitovými príbuznými, istý rozdiel tu však je. Ako je možné vyustiť, tento rozdiel vychádza z faktu, že je potrebný dvojnásobný počet registrov.

Tým pádom v control registri sú využití tri bity (nielen dva, ako pri 4 a 8-bitových verziách):

0 0 0 0 0 B2 B1 B0

No a potom kombinácia B2-B1-B0 slúži na adresovanie jednotlivých registrov, viď tab. 11. Zapojenie vývodov pre SOIC24 spolu s príslušnými I²C adresami je nasledovné:



PCA9535 – 0100xxx
PCA9555 – 0100xxx PCA9539 – 11101xxx

Rozdiel medzi obvodmi PCA9535 a PCA9555 je opäť – podobne ako v 8-

bitovom prevedení – iba v (ne)existencii pull-up rezistorov (PCA9555 pull-up rezistory obsahuje).

Spôsob práce je opäť rovnaký, ako sme si popísali pri 8-bitových verziách.

Skupina B v prevedení Microchip

V druhej časti prehľadu vybraných obvodov skupiny B si ešte ukážeme nasadenie 8-bitových GPIO obvodov od Microchip na príklade obvodu MCP23008. Nepôjdeme príliš do detailov, ukážeme si len, ako je možné veľmi jednoduchou rozbehnúť tieto obvody ako vstupy či výstupy – podobne ako v predchádzajúcich príkladoch.

Ako som spomínal už v prehľade, tieto obvody poskytujú množstvo rôznych registrov – nie však preto, aby boli „len tak“ zbytočne komplikované, ale preto, že v jednom prevedení čipu sa skrýva veľa možností – napríklad je možné softvérovou zapnúť, či vypnúť pull-up rezistory pre vstupy (ak sa pozrieme späť na TI rodinu, tu namiesto konfigurácie nájdeme dva rôzne typy obvodov: napr. PCA9534 a PCA9554, pričom jeden typ je s pull-up, druhý bez pull-up – inak sú zhodné). Tak tiež je možné konfigurovať správanie sa pri zmene hodnoty vstupu, v zmysle definície, ktorý port vyvolá prerušenie, a ktorý nie. Čip si taktiež zapamätá, aká bola hodnota vstupu pri vyvolaní prerušenia a podobne. Ničmenej, my si teraz ukážeme základné vstupno-výstupné operácie

a uvidíme, že ovládanie obvodu nie je vlastne o nič zložitejšie ako pri TI-špoch. Aby sme si trochu uľahčili prácu a tiež videli ako funguje výstup INT, povolíme v našom príklade pull-up na vstupoch a tiež povolíme, aby zmeny všetkých vstupov mohli vyvolať prerušenie.

Pre úplnosť si v tabuľke 12 uvedieme zoznam registrov obvodu MCP23008 a v krátkosti (avšak bez veľkého vysvetľovania) si ich popíšeme.

IODIR – I/O Direction Register

Register nastaví jednotlivé porty buď ako vstupné (príslušný bit má hodnotu „1“), alebo ako výstupné („0“). Po pripojení napájania je všetkých 8 bitov nastavených ako vstupy – default hodnota registra je FFh. Môžeme povedať, že tento register je obdobou „Configuration Register“ obvodov skupiny B od TI, ktoré sme si popisovali skôr.

IPOL – Input Polarity Register

Register umožní zmeniť polaritu vstupov pri čítaní. Je obdobou „Polarity Inversion Register“ obvodov TI.

GPINTEN – Interrupt on Change Control Register

Register povolí alebo zakáže aktivovanie signálu INT pri zmene vstupu. Jednotlivými bitmi tohto registra je možné nastaviť pre každý port osobitne, či zmena vstupu aktivuje (1) alebo deaktivuje (0) výstup INT. Po pripojení napájania je default hodnota 00h – čiže aktivovanie INT sa nekoná...

INTCON – Interrupt Control Register a DEFAULT – Default Compare Register for Interrupt on Change

Pre jednotlivé porty je možné definovať, či má byť prerušenie aktivované, pokiaľ sa zmení hodnota vstupu („0“), alebo pokiaľ je hodnota vstupu odlišná od úrovne uloženej v príslušnom bite registra DEFAULT.

IOCON – Configuration Register

Da o by sa povedať, že každý bit každého popisovaného registra je vždy spojený s jedným vstupno/výstupným pinom obvodu. Toto je jediný register, o ktorom to neplatí. Pre obvod MCP23008 sú využité 4 bity, a to nasledovne:

- ♦ bit 1 – INTPOL – definuje polaritu, pri ktorej je výstup INT aktívny:
 - 1 – výstup INT je aktívny v jednotke
 - 0 – výstup INT je aktívny v nule (default).
- ♦ bit 2 – ODR – umožňuje konfigurovať výstup INT ako otvorený kolektor:
 - 1 – NT je výstup s otvoreným kolektorom (bit INTPOL je ignorovaný). Pri tejto konfigurácii sa výstup INT správa ako výstupy obvodov od TI.
 - 0 – INT sa správa ako push/pull.
- ♦ bit 4 – povolenie (0 – default) alebo zákaz (1) slew rate control.
- ♦ bit 5 – povolenie (0 – default) alebo zákaz (1) automatického zvyšovania adresy po operácii čítania alebo zápisu.

GPPU – Pull-up Resistor Configuration Register

Jednotlivé bity povolia (1) alebo zakážu (0 – default) interné pull-up rezistory pre porty konfigurované ako vstupy. Odpor pull-up rezistoru je 100 kΩ.

Tab. 11. Registre obvodu PCA9535, PCA9539 a PCA9555

B2-B1-B0	Názov registra	Funkcia
000	Input Register 0	Register slúži na čítanie stavu vstupov P0x
001	Input Register 1	Register slúži na čítanie stavu vstupov P1x
010	Output Register 0	Nastavenie výstupov P0x
011	Output Register 1	Nastavenie výstupov P1x
100	Polarity Inversion Register P0x	Zmena polarity pri čítaní zo vstupov P0x
101	Polarity Inversion Register P1x	Zmena polarity pri čítaní zo vstupov P1x
110	Configuration Register P0x	Nastavenie jednotlivých portov ako vstupných alebo výstupných P0x
111	Configuration Register P1x	Nastavenie jednotlivých portov ako vstupných alebo výstupných P1x

Tab. 12. Registre obvodu MCP23008

Adresa registra	Názov registra	Funkcia
00h	IODIR – I/O Direction	Nastavenie jednotlivých portov ako vstupných alebo výstupných
01h	POL – Polarity	Zmena polarity pri čítaní zo vstupov
02h	GPINTEN – Interrupt enable	Povolenie prerušenia pri zmene stavu na vstupe
03h	DEFAULT	Práca s prerušením
04h	INTCON	Práca s prerušením
05h	IOCON – Configuration	Nastavenia obvodu / konfigurácia
06h	GPPU – Pull-up Enable	Povolenie pull-up rezistorov
07h	INTF	Práca s prerušením
08h	INTCAP	Práca s prerušením
09h	GPIO	Port – GPIO
0Ah	OLAT	Výstupný register

INTCAP – Interrupt Capture Register

V prípade aktivácie prerušenia sa aktualizujú hodnota všetkých vstupných portov zapíše do tohto registra. Tým je možné vždy zistiť, aká bola hodnota všetkých vstupov v čase vyvolania prerušenia – aj pokiaľ napríklad procesor zareaguje, „pomáha“ a hodnota vstupu (vstupov), ktorý je za prerušenie zodpovedný, je medzi tým opäť pôvodná.

Hodnota tohto registra je aktualizovaná len raz – pri aktivovaní prerušenia. Pokiaľ sa zmení následne nato hodnota ďalšieho pinu (portu), ktorá by tiež vyvolala prerušenie, ale prerušenie je ešte aktívne (čiže neprebehla napríklad operácia čítania), hodnota portu INCAP zostane nezmenená.

Prečítanie obsahu tohto registra deaktivuje prerušenie.

INTF – Interrupt Flag Register

Obsah tohto registra určuje, ktorý vstup (či vstupy) prerušenie vyvolalo. V prípade prerušenia bude teda registrov INCAP obsahovať hodnotu vstupov a bity registra INTF zodpovedajúce vstupom, ktorý prerušenie vyvolalo budú nastavené na „1“.

OLAT – Output Latch Register

Výstupný register – je to obdoba Output registra (výstupného registra) známeho z TI obvodov. Pokiaľ do tohto registra niečo zapíšeme, dáta sú prenesené na príslušné porty (resp. tie, ktoré sú konfigurované ako výstupy).

GPIO – Port Register

Je to vlastne „register portu“ – z TI obvodov poznáme vstupný register a výstupný register – GPIO predstavuje tieto dva v jednom. Čítanie z GPIO nám priniesie dáta z pinov obvodu, zápis má rovnaký efekt ako zápis do OLAT registra. Okrem toho čítanie z GPIO deaktivuje prerušenie, rovnako ako čítanie z INCAP registra.

V krátkosti si teraz priblížime základné operácie zápisu a čítania. Nasledovný podprogram zafixuje všetky porty ako výstupy a vyšle hodnotu uloženú v premennej v_p0 na tieto výstupy (podprogram predpokladá pevnú I2C adresu obvodu MCP23008: 0100000).

MCP23008 communication routines

GPIO as output

configuration

```
p_send23008
call i2c_start
movlw B'01000000' ;MCP23008 I2C address
; (A2 = A1 = A0 = GND)
call i2c_send
movlw B'00000000' ;address of the IODIR
; register
call i2c_send
movlw B'00000000' ;all bits of GPIO to output
call i2c_send
call i2c_stop

;send_data
call i2c_start
movlw B'01000000' ;MCP23017 I2C address
; (A2 = A1 = A0 = GND)
call i2c_send
movlw H'09' ;GPIO register
call i2c_send
movlw v_p0,0 ;data to be send
call i2c_send
call i2c_stop
return
```

Pokiaľ si tento podprogram porovnáme s podprogramom na obsluhu obvodu PCA6107 zistíme, že sú vlastne totožné. Líšia sa pochopiteľne adresami registrov a čísi samotného, ale postupnosť je rovnaká.

Pre porovnanie si uvedieme aj program na prečítanie dát z portu, pričom najprv sú všetky piny zadané ako vstupné, a taktéž povolíme pull-up rezistory a prerušenie (I2C adresa obvodu musí byť opäť 0100000 a načítaná hodnota sa uloží do premennej v_r0).

GPIO as input

configuration

```
p_read23008
call i2c_start
movlw B'01000000' ;MCP23008 I2C address
; (A2 = A1 = A0 = GND)
call i2c_send
movlw B'00000000' ;address of the IODIR
; register
call i2c_send
movlw B'11111111' ;all bits of GPIO to input
call i2c_send
call i2c_stop
;enable pull-ups
call i2c_start
movlw B'01000000' ;MCP23008 I2C address
; (A2 = A1 = A0 = GND)
call i2c_send
movlw H'06' ;address of the GPPU
; register
call i2c_send
movlw B'11111111' ;enable all pull-up
; resistors
call i2c_send
call i2c_stop
;enable interrupt on change
call i2c_start
movlw B'01000000' ;MCP23008 I2C address
```

```
; (A2 = A1 = A0 = GND)
call i2c_send
movlw H'02' ;address of the GPINTEN
; register
call i2c_send
movlw B'11111111' ;enable all pull-up
; resistors
call i2c_send
call i2c_stop

;read data
call i2c_start
movlw B'01000000' ;MCP23008 I2C address
; (A2 = A1 = A0 = GND)
call i2c_send
movlw H'09' ;GPIO register
call i2c_send
call i2c_stop
call i2c_start
movlw B'01000000' ;MCP23008 I2C address
; (A2 = A1 = A0 = GND)
call i2c_send
call i2c_receive
movlw v_r0
call i2c_not_ack
call i2c_stop
return
```

Aj keď podprogram na čítanie vyzerá v porovnaní s čítaním z PCA6107 na prvý pohľad zložitejšie – v skutočnosti nie je. Naschvál som ho trochu skomplikoval povolením pull-up rezistorov a prerušenia (tieto vlastnosti sa u TI-obvodov ovládajú nedajú), aby sa nám ľahšie experimentovalo, inak je však program opäť v podstate totožný.

Schéma zapojenia je taktiež veľmi jednoduchá. Okrem I2C zbernice (signály SCL a SDA) máme k dispozícii tri vstupy na určenie I2C adresy obvodu, pričom adresa je vždy: 0100 xxx – demoprogram predpokladá adresu 0100 000, čiže všetky tri vstupy sú pripojené na GND. Vstupom RESET je možné obvod priviesť do stavu po pripojení napájania (pokiaľ ho nevyužívame, môžeme ho pripojiť priamo na Vdd). Na výstup INT môžeme pripojiť LED, aby sme videli názorne, za akých podmienok je výstup aktivovaný a deaktivovaný.

Ďalšie obvody rodiny Microchip

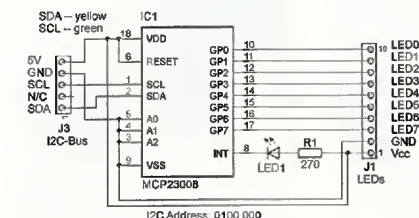
Z osembitových čipov patrí do tejto rodiny už len jeden ďalší – a síce obvod MCP23009.

MCP23009

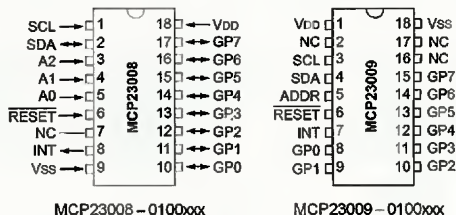
Obvod MCP23009 je veľmi podobný ako MCP23008. Bohužiaľ, nie sú ani náhodou kompatibilné čo sa zapojenia pinov týka – obr. 52.

Miroslav Čína

(Pokračovanie nasleduje)



Obr. 51. Zapojenie obvodu MCP23008 pre pokusy



Obr. 52. Zapojenie vývodov MCP23008 a MCP23009

JEDNODUCHÁ ZAPOJENÍ PRO VOLNÝ ČAS

Precizní generátor obdélníkového signálu

Na obr. 1 je schéma zapojení generátoru obdélníkového signálu s velmi stabilním kmitočtem i amplitudou. Volbou hodnot součástek R1 a C1 lze kmitočet generovaného signálu nastavit v rozmezí od jednotek Hz do několika desítek kHz. Generátor je napájen symetricky napětím ± 12 V (může být ± 11 až ± 15 V). Symetrický (okolo nulového napětí země) je i výstupní signál. Rozkmit výstupního signálu je přibližně $\pm 6,9$ V, jeho střída je téměř přesně 1:1.

Generátor se skládá z Millerova integrátoru s operačním zesilovačem (OZ) O1A a ze Schmittova klopného obvodu (SKO) s OZ IO1B.

Stabilitu parametrů generátoru je dosaženo tím, že rozkmit výstupního signálu generátoru je stabilizován antisériově zapojenými Zenerovými diodami D1 a D2 (doplněnými kompenzačními diodami D3 a D4), které jsou připojeny přes omezovací rezistor R4 k výstupu 7 IO1B.

Zenerovy diody D1 a D2 jsou zvoleny se Zenerovým napětím 5,6 V, protože při této hodnotě má Zenerovo napětí jen velmi malý kladný teplotní koeficient. Ten je dále kompenzován malým záporným teplotním koeficientem úbytku napětí na běžných diodách D3 a D4. D1 a D2 jsou vybrány se shodným Zenerovým napětím, takže na celé skupině diod je v obou směrech shodný úbytek napětí $U_Z = 6,9$ V. Při kladné saturaci výstupu IO1B je na výstupu generátoru napětí $U_{vst+} = U_Z$; při záporné saturaci výstupu IO1B je na výstupu generátoru napětí $U_{vst-} = -U_Z$.

SKO má vstup na levém vývodu R2. Bistabilní funkce SKO je dosažena kladnou zpětnou vazbou zavázanou děličem R2, R3 z výstupu generátoru na invertující vstup 5 IO1B. Invertující vstup 6 IO1B je uzemněn. Vzhledem k tomu, že $R2 = R3$, má vstup SKO horní rozhodovací úroveň

$U_{i1} = +U_Z = +6,9$ V a dolní rozhodovací úroveň $U_{i1} = -U_Z = -6,9$ V.

V Millerově integrátoru se proudem I_{vst} tekoucím z výstupu generátoru přes R1 do invertujícího vstupu 2 O1A nabíjí integrační kondenzátor C1 a podle směru I_{vst} se napětí na výstupu integrátoru (na vývodu 1 IO1A) lineárně zvyšuje nebo snižuje.

Pro vysvětlení funkce generátoru si představme, že na výstupu integrátoru je nulové napětí a na výstupu generátoru je kladné napětí U_{vst+} . Do vstupu integrátoru teče přes R1 kladný proud I_{vst+} a výstupní napětí integrátoru lineárně klesá. Když toto napětí dosáhne dolní rozhodovací úrovně U_{i1} SKO, SKO se přepoklopí a na výstupu generátoru se skokem objeví záporné napětí U_{vst-} . Následkem toho se změní i směr proudu tekoucího rezistorem R1. Do vstupu integrátoru začne téct záporný proud I_{vst-} a napětí na výstupu integrátoru se začne lineárně zvyšovat. Když dosáhne horní rozhodovací úrovně U_{i1} SKO, SKO se přepoklopí zpět a na výstupu generátoru se skokem objeví kladné napětí U_{vst+} . Do vstupu integrátoru tak začne opět téct kladný proud I_{vst+} a napětí na výstupu integrátoru začne lineárně klesat. Po dosažení úrovně U_{i1} se SKO znovu přepoklopí atd., takže generátor periodicky kmitá.

Během kmitání je na výstupu integrátoru lineární plovitě napětí o vrcholových úrovních U_D a U_H . Mezi vrcholový rozkmit U_{DH} plyje tedy:

$$U_{DH} = U_H - U_D = 2 \cdot U_Z$$

Vypočteme si kmitočet generovaného signálu. Nejprve určíme velikost vstupního proudu integrátoru. Protože neinvertující vstup 3 IO1A je uzemněn, musí být i na invertující vstupu 2 IO1A nulové napětí. Proto můžeme pro I_{vst} napsat vztah:

$$I_{vst+} = U_Z/R1, \text{ resp. } I_{vst-} = -U_Z/R1$$

Když teče konstantní proud např. I_{vst+} do C1, ten se nabíjí a za dobu Δt se napětí na jeho svorkách změní o ΔU podle vztahu:

$$\Delta U = \Delta t \cdot I_{vst+}/C1. \quad (1)$$

Vztah (1) lze upravit do tvaru:

$$\Delta t = \Delta U \cdot C1 / I_{vst+}. \quad (2)$$

z něhož můžeme vypočítat, za jakou dobu Δt se na kondenzátoru s kapacitou C1, do něhož teče proud I_{vst+} , změní napětí o danou hodnotu ΔU .

V našem případě potřebujeme vypočítat Δt pro změnu napětí z U_H do U_D , tj. pro $\Delta U = U_{DH} = 2 \cdot U_Z$. Napíšeme:

$$\Delta t = U_{DH} \cdot C1 / I_{vst+} = 2 \cdot U_Z \cdot C1 / (U_Z/R1) = 2 \cdot C1 \cdot R1.$$

Stanovená doba Δt je vlastně polovina periody kmitů generátoru, celá perioda T je tedy:

$$T = 2 \cdot \Delta t = 4 \cdot C1 \cdot R1. \quad (3)$$

Kmitočet f generovaného signálu je převrácená hodnota periody, tedy:

$$f = 1/(4 \cdot C1 \cdot R1). \quad (4)$$

Jak je ze vztahu (4) vidět, při symetrickém omezování výstupního signálu je kmitočet oscilací určen jen hodnotami součástek C1 a R1. Proto musí být tyto součástky co nejstabilnější.

OZ IO1A a IO1B se osvědčily dvojité typu TL072 nebo NE5532.

Periodu kmitů prodlužují doby zotavení výstupu OZ IO1B při přechodech ze saturace do aktivního stavu. Tento jev se u doporučených typů OZ uplatňuje na kmitočtech nad 1 kHz, kdy je skutečný kmitočet nižší než vypočtený podle (4). Uvedenou dobu zotavení spolu s konečnou dobou přechodu OZ je též limitovan nejvyšší dosažitelný kmitočet oscilací.

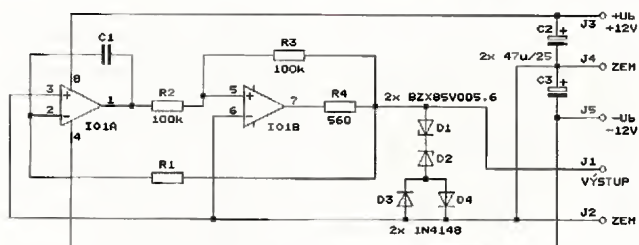
Obdélníkový signál se odebírá ze svorek J1 a J2. Na výstupu OZ IO1A je k dispozici i kvalitní trojúhelníkový signál.

Generátor je napájen symetricky stabilizovaným napětím ± 12 V z vnějšího zdroje. Napájecí proud s TL072 je ± 6 mA, s NE5532 je ± 10 mA.

Generátor byl realizován na nepřájivém kontaktním poli, vyzkoušen a proměřen.

Při $R1 = 100$ k Ω a $C1 = 9,95$ nF byl s TL072 při napájecím napětí ± 12 V změřen $f = 258,8$ Hz; při ± 15 V byl $f = 258,3$ Hz. S NE5532 při ± 12 V byl $f = 260,2$ Hz; při ± 15 V byl $f = 260,1$ Hz. Přitom podle (4) měl být $f = 261,8$ Hz. Je patrná dobrá stabilita kmitočtu a dobrý souhlas teorie s praxí.

Při $R1 = 100$ k Ω a $C1 = 0,96$ nF byl s TL072 při napájecím napětí ± 12 V změřen $f = 2,420$ kHz; při ± 15 V byl $f = 2,406$ kHz. S NE5532 při ± 12 V byl $f = 2,454$ kHz; při ± 15 V byl $f = 2,447$ kHz. Přitom podle (4) by měl



Obr. 1. Schéma zapojení precizního generátoru obdélníkového signálu

být $f = 2,604 \text{ kHz}$. Je vidět, že vlivem doby zotavení je skutečný kmitočest mírně nižší než vypočtený.

Při $R1 = 100 \text{ k}\Omega$, $C1 = 97,5 \text{ pF}$ a při napájecím napětí $\pm 12 \text{ V}$ byl s TL072 změřen $f = 19,96 \text{ kHz}$; s NE5532 byl $f = 19,63 \text{ kHz}$. Podle (4) by mě být $f = 25,64 \text{ kHz}$. Skutečný kmitočest je tedy podstatně nižší než vypočtený; jsme již zřejmě za hranicí použitelnosti.

Ing. Stanislav Feber

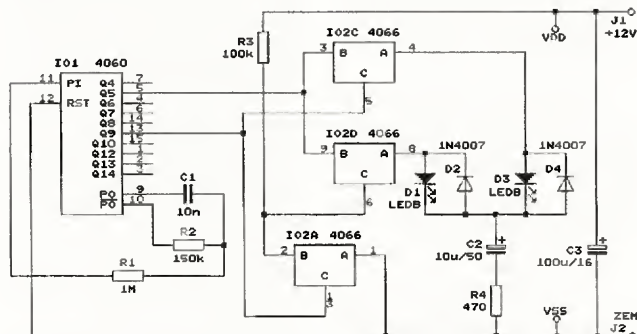
Výstražný blikáč

Popisovaný výstražný blikáč napodobuje výstražná světla, která můžeme často vidět na záchranných vozidlech. Jsou to rychle se opakující modré záblesky periodicky přeskakující mezi levou a pravou stranou vozidla. Blikáč můžeme použít v modelech automobilů nebo jako reklamní poutač.

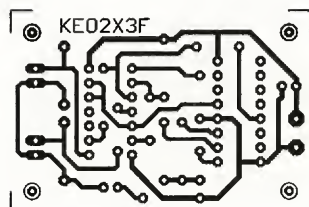
Kvůli posouzení funkce blikáče byl jeho vzorek zhotoven na desce s plošnými spoji. Fotografie desky se součástkami je na obr. 2.

Popis funkce

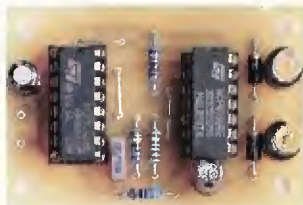
Schéma zapojení výstražného blikáče je na obr. 3. Blikáč je tvořen dvěma integrovanými obvody CMOS IO1 a IO2 a dvěma modrými LED D1 a D3 s velkým jasnem, které představují výstražná světla na záchranném vozidle – jedno na jeho levé a druhé na jeho pravé straně.



Obr. 3. Schéma zapojení výstražného blikáče



Obr. 4. Deska s plošnými spoji výstražného blikáče (měř.: 1 : 1)



Obr. 2. Deska se součástkami výstražného blikáče

Obvod IO1 typu 4060 obsahuje taktovací RC oscilátor následovaný čtrnáctistupňovým binárním asynchronním čítačem.

Oscilátor v IO1 generuje taktovací signál o kmitočtu $312,5 \text{ Hz}$ (tj. s periodou $3,2 \text{ ms}$), který je určený hodnotami vnějších časovacích součástek $C1$ a $R2$. Rezistor $R1$ zabraňuje vybíjení $C1$ vnitřními ochrannými diodami na vstupu PI.

Z výstupu Q5 čítače v IO1, na němž je kmitočest taktovacího signálu dělen $32\times$, se odeberá časovací obdélníkový signál se střídou $1 : 1$ a s periodou $102,4 \text{ ms}$, kterým se ovládá rychlé blikání každé LED.

Z výstupu Q9 čítače, na němž je kmitočest taktovacího signálu dělen $512\times$, se odeberá časovací obdélníkový signál se střídou $1 : 1$ a s periodou $1,6 \text{ s}$, kterým se ovládá pomalé přeskakování blikání z jedné LED na druhou.

Obvod IO2 typu 4066 obsahuje čtveřici nezávislých obousměrných

analogových spínačů, prostřednictvím kterých se časovacími impulsy z IO1 buď záblesky LED. Spínače jsou sepnuté mezi body A a B, když jsou na jejich ovládacích vstupech C vysoké úrovně H binárního ovládacího signálu.

Spínač IO2A spolu s $R3$ slouží jako invertor binárního signálu z výstupu Q9 IO1. Spínač IO2B není využit a jeho vstup C (vývod 12 IO2) je ošetřen připojením ke vstupu C spínače IO2A (k vývodu 13 IO2).

Když je na výstupu Q9 IO1 vysoká úroveň H, jsou spínače IO2A a IO2C sepnuté a IO2D je vypnutý. Rychlým obdélníkovým signálem z výstupu Q5 IO1 je tedy buzena jen LED D3. Proud začne téct do LED D3 vždy po přechodu výstupu Q5 IO1 do vysoké úrovně H. Proud do D3 teče přes spínač IO2C, $C2$ a $R4$. Počáteční velikost tohoto proudu (při vybitém $C2$) je okolo 10 mA a je určována výstupním odporem výstupu Q5 IO1, vnitřním odporem spínače a odporem rezistoru $R4$ (a samozřejmě velikostí napájecího napětí blikáče). Jak se $C2$ nabíjí, proud tekoucí D3 se exponenciálně zmenšuje až asi za 30 ms zcela zanikne. LED D3 tedy vydá jen krátký záblesk. Po přechodu Q5 IO1 do nízké úrovně L se $C2$ vybije přes $D4$, takže při následujícím přechodu Q5 IO1 do úrovně H může LED D3 vydat další záblesk. Během doby, kdy je na Q9 IO1 úroveň H, blikne LED D3 16x.

Po přechodu výstupu Q9 IO1 do nízké úrovně L je sepnutý spínač IO2D a spínače IO2A a IO2C jsou vypnuté. Z výstupu Q5 IO1 je teď buzena LED D1, a to zcela stejným způsobem, jako byla dřív buzena LED D3. Také LED D1 blikne 16x během doby, kdy je na Q9 IO1 úroveň L. Pak opět bliká LED D3 atd.

Intenzitu záblesků obou LED můžeme mírně upravit změnou hodnot součástek $C2$ a $R4$.

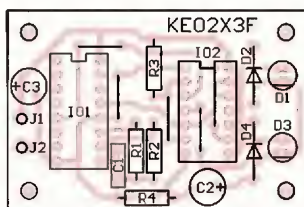
Blikáč je napájen ss napětím 12 V přiváděným na svorky J1 a J2 z baterie nebo s řetězového zdroje (adaptér). Špičkový napájecí proud je asi 10 mA , průměrný napájecí proud je asi 2 mA . Napájecí schéma je blokována kondenzátorem $C3$.

Konstrukce a oživení

Výstražný blikáč je zkonstruován z vývodových součástek na desce s jednostrannými plošnými spoji. Obrazec spojů je na obr. 4, rozmístění součástek na desce je na obr. 5.

IO jsou vloženy do objímek, aby bylo případně možné použít i v jiných konstrukcích. Na desce je pět drátových propojek zhotovených z odstřižených vývodů rezistorů. Pozor, dvě jsou pod objímku pro IO2.

Vzhledem k jednoduchosti zapojení musí výstražný blikáč pracovat na



Obr. 5. Rozmístění součástek na desce výstražného blikáče

první zapojení. Po připojení napájecího napětí musí LED D1 a D3 patřičně blikat.

Seznam součástek

R1	1 MΩ/1 %/0,6 W, metal.
R2	150 kΩ/1 %/0,6 W, metal.
R3	100 kΩ/1 %/0,6 W, metal.
R4	470 Ω/1 %/0,6 W, metal.
C1	10 nF/50 V, fóliový
C2	10 μF/50 V, radiální
C3	100 μF/16 V, radiální
D1, D3	LED bílá, 5 mm
D2, D4	1N4007
IO1	4060 (DIL16)
IO2	4066 (DIL14)
precizní objímka DIL16	(1 kus)
precizní objímka DIL14	(1 kus)
deska s plošnými spoji č. KE02X3F	

MM

Everyday Practical Electronics, 11/2008

Tónový korektor Baxandall

Občas je vhodné vrátit se ke starým osvědčeným zapojením, která je možno i dnes realizovat ze stále běžně dostupných součástek. Jedním z takových zapojení je Baxandallův tónový korektor, jehož schéma zapojení je na obr. 6.

Jedná se o korektor basů a výšek používaný v nf zesilovačích. Při korekci basů lze potenciometrem P1 potlačit (v poloze běžce -) nebo zdůraznit (v poloze běžce +) signál o kmitočtu 100 Hz až o 15 dB (tj. asi 5,6x). Při korekci výšek lze potenciometrem P2 potlačit (-) nebo zdůraznit (+) signál o kmitočtu 10 kHz také až o 15 dB. Přitom na středním kmitočtu 1 kHz se korekce téměř neprojeví. Při nastavené ploché kmitočtové charakteristice má korektor jednotkové napěťové zesílení (zisk 0 dB) a jeho horní mezní kmitočet je asi 70 kHz (-3 dB). Na kmitočtu 20 kHz je korektor schopen na svém výstupu poskytovat nf signál o mezivrcholovém rozkmitu nejméně 20 V.

Korektor využívá kmitočtové závislé záporné zpětné vazby v obvodu operačního zesilovače (OZ) CA3140 (IO1). Stupeň zpětné vazby v oblasti

nízkých kmitočtů (basů) a vysokých kmitočtů (výšek) se ovládá potenciometry P1 a P2. Když jsou běžce těchto potenciometrů v poloze +, je zpětná vazba nejslabší a na výstupu OZ převládají basy a výšky ze vstupu. Naopak, když jsou běžce P1 a P2 v poloze -, je zpětná vazba nejsilnější a basy a výšky jsou na výstupu OZ potlačeny.

Aby korektor správně pracoval, musí být buzen ze zdroje nf signálu s velmi malou výstupní impedancí.

Výhodou Baxandallova zapojení korektoru je to, že v něm mohou být použity běžné lineární potenciometry, zatímco jiné korektory vyžadují pro dosažení rovnoměrného průběhu nastavení korekci potenciometry logaritmické nebo exponenciální.

Vzhledem k tomu, že OZ CA3140 má na vstupu tranzistoru J-FET a jeho vstupní odpor je tudíž téměř nekonečný, je korektor navržen jako vysokompedanční s P1 a P2 o odporu 5 MΩ. Lze použít i potenciometry s podstatně menším odporem, ale ve stejném poměru, v jakém zmenšíme odpor potenciometrů, musíme zmenšit odpor rezistorů R1 až R5 a zvětšit kapacitu kondenzátorů R1 až C4. C1 až C4 musejí být stabilní - fólové nebo keramické z materiálu NP0. V korektoru lze použít i jiný typ OZ s podobnými vlastnostmi, jako má CA3140, např. TL071.

Odporový dělič s R6 a R7 blokováný kondenzátorem C5 poskytuje vstupům OZ potřebné předpětí rovné polovině napájecího napětí. Díky tomu se dosahuje největšího možného nezkráceného rozkmitu nf signálu na výstupu OZ.

OZ IO1 v tónovém korektoru je napájen asymetricky hrubě stabilizovaným a dobře filtrovaným ss napětím +30 V (nejvýše však +36 V). Odebíraný proud je menší než 10 mA. Aby OZ nekmital, je jeho kladný napájecí přívod zablokován co nejlépe u pouzdra kondenzátorem C6.

OZ lze napájet i symetricky ss napětím ±15 V (nejvýše však ±18 V). V takovém případě vynecháme dělič napětí se součástkami C5, R6 a R7 a neinvertující vstup OZ (vývod 3 IO1) spojíme přímo se zemí. Záporný na-

pájecí přívod je pak nutné zablokovat kondenzátorem o kapacitě 100 nF. Odebíraný proud v každé z napájecích větví je menší než 10 mA.

Ve stereofonním zesilovači použijeme dva tyto korektory. Aby se korekce v obou kanálech ovládaly společně, musí pak být potenciometry P1 i P2 ve stereofonním provedení (spřažené neboli tandemové).

MM

Katalogový list Harris CA3140

Nízkofrekvenční sinusový oscilátor

Na obr. 7 je schéma zapojení nf oscilátoru poskytujícího na svém výstupu sinusový signál s harmonickým zkrácením menším než 0,5 %.

Aktivní součástkou oscilátoru je operační zesilovač (OZ) CA3140 (IO1), který se vyznačuje tím, že má na vstupech tranzistoru J-FET, takže má téměř nekonečný vstupní odpor. Je možné použít i jiné podobné OZ, např. TL071, se kterým byl tento oscilátor pokusně realizován na nepájivém poí.

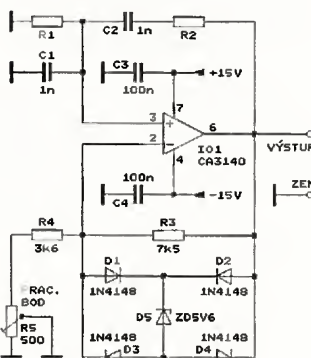
Kmitočet oscilací je určený Wienovým článkem se součástkami C1, C2, R1 a R2, který se chová podobně jako paralelní LC rezonanční obvod s malou jakostí Q.

Představíme-li si, že vstupem článku je pravý vývod R2 a výstupem je pravý vývod R1, pak kmitočtová charakteristika přenosu napětí ze vstupu na výstup článku, tj. přenosu A_{WV} , má zvlnovitý tvar s maximem na kmitočtu f_W , pro který platí:

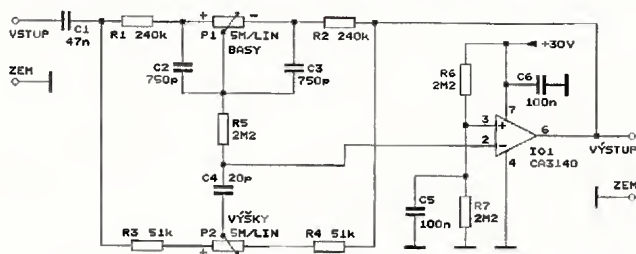
$$f_W = 1/[2\pi\sqrt{(R1 \cdot C1 \cdot R2 \cdot C2)}]$$

Pokud pro jednoduchost použijeme rezistory R1 i R2 se stejným odporem ($R1 = R2 = R$) a kondenzátory C1 i C2 se stejnou kapacitou C ($C1 = C2 = C$), předcházející vztah se zjednoduší na:

$$f_W = 1/(2\pi R C)$$



Obr. 7. Schéma zapojení nf sinusového oscilátoru



Obr. 6. Schéma zapojení tónového korektoru Baxandall

Maximální přenos napětí A_{UWmax} na kmitočtu f_W má velikost:

$$A_{UWmax} = 1/(1 + C1/C2 + R2/R1).$$

Pro $C1 = C2 = C$ a $R1 = R2 = R$, což je případ popísaného oscilátoru, se tento vztah zjednoduší na:

$$A_{UWmax} = 1/3.$$

Na všech ostatních kmitočtech je přenos A_{UW} menší.

Fázový posuv Wienova článku na kmitočtu f_W je nulový.

Wienův článek je u OZ IO1 zapojen v obvodu kladné zpětné vazby, a proto se oscilátor rozkmitá na kmitočtu f_W , kdy je přenos článku největší (a kladná zpětná vazba tudíž nejsilnější).

Abyste oscilátor kmital, musí být splněna podmínka oscilací: v uzavřené smyčce kladné zpětné vazby musí být fázový posuv nulový (nebo rovný násobku 360°) a napětový přenos jednotkový.

Protože v popísaném oscilátoru má Wienův článek na kmitočtu oscilací přenos $A_{UWmax} = 1/3$, musí mít druhá část smyčky kladné zpětné vazby, tj. OZ IO1, napětové zesílení rovné třem (celkový přenos ve smyčce pak bude roven jedné). Takového zesílení je dosaženo pomocí záporné zpětné vazby, která je zaváděna odporovým děličem se součástkami R3 až R5. Zesílení napětí OZ (mezi jeho neinvertujícím vstupem a výstupem), které označíme A_{UOZ} , je určováno poměrem odporů v tomto děliči:

$$A_{UOZ} = 1 + R3/(R4 + R5).$$

Jsou zvoleny také odpory součástek R3 až R4, aby bylo možné trimrem R5 nastavit zesílení A_{UOZ} mírně větší než 3, při kterém se oscilátor spolehlivě rozkmitává.

Pokud by však bylo A_{UOZ} trvale větší než 3, rozkmitání signálu na výstupu OZ by vzrůstalo až do maxima určovaného limitací (ořezáváním) signálu následkem saturace výstupu OZ. Signál by pak byl značně zkreslený. Je tedy nutné stabilizovat rozkmitání sinusového signálu na výstupu OZ na nižší úrovni, kdy ještě zkreslený není.

K tomu slouží Zenerova dioda D5, která je připojena přes usměrňovací můstek s D1 až D4 paralelně k R3. Můstek zajišťuje, že diodou D5 protéká proud správným směrem (od katody k anodě) v obou půlvlnách signálu na R3. Když se při rozkmitávání oscilátoru zvětší rozkmit signálu na výstupu OZ natolik, že se ve špičkách signálu začne D5 pootevírat, začne se následkem toho zmenšovat zesílení A_{UOZ} . Rozkmit signálu se pak ustálí na úrovni, při které dosáhne A_{UOZ} velikosti přesně 3.

Je možné říci, že D5 vlastně limituje (ořezává) signál. Protože se však D5 otevírá velmi pozvolna už při napětí podstatně menším než je její jmenovitá Zenerova napětí, je při správném nastavení trimru R5 tato limitace na osciloskopu nerozpoznatelná a sinusový signál má jen malé harmonické zkreslení ($< 0,5\%$).

Při nastavování trimru R5 nejprve zvětšíme jeho odpor tak, aby oscilátor nekmital (kontrolujeme osciloskopem nebo sledovačem signálu apod. připojeným k výstupu oscilátoru). Pak odpor trimru velmi pomalu zmenšujeme až těsně za bod, kdy plynule nasadí oscilace. Při tomto nastavení trimru má signál minimální zkreslení. Při dalším zmenšování odporu trimru se mírně zvětšuje rozkmit signálu a rychle stoupá zkreslení signálu.

Oscilátor je napájen hrubě stabilizovaným symetrickým ss napětím ± 15 V. Napájecí proud v každé z obou větví je menší než 10 mA. Aby OZ nekmital, jsou oba jeho napájecí přívody zablokovány kondenzátory C3 a C4.

V realizovaném vzorku oscilátoru byl použit IO1 typu TL071 a D5 typu BZX85 se jmenovitým Zenerovým napětím 5,6 V.

Při hodnotách $R1 = R2 = 150$ k Ω a $C1 = C2 = 47$ pF měl výstupní signál mezivrcholový rozkmit 12,5 V a kmitočet 19,42 kHz.

Při hodnotách $R1 = R2 = 150$ k Ω a $C1 = C2 = 1$ nF měl výstupní signál mezivrcholový rozkmit 14,5 V a kmitočet 1,05 kHz.

Při hodnotách $R1 = R2 = 150$ k Ω a $C1 = C2 = 10$ nF měl výstupní

signál mezivrcholový rozkmit 15,5 V a kmitočet 107 Hz.

Při hodnotách $R1 = R2 = 1,5$ M Ω a $C1 = C2 = 10$ nF měl výstupní signál mezivrcholový rozkmit 16,0 V a kmitočet 10,5 Hz. Po zapnutí napájení kmitly nabíhají po dobu asi 2 s.

Předcházející měření byla prováděna vždy při optimálním nastavení trimru R5, které však bylo pro každý případ jiné. Při výměně různých kusů D5 téhož typu zůstával rozkmit výstupního signálu téměř konstantní.

Oscilátor pracuje spolehlivě a při pevně nastaveném kmitočtu v oblasti od 100 Hz do 10 kHz je vhodný pro méně náročné aplikace.

MM

Katalogový list Harris CA3140

Domácí telefon

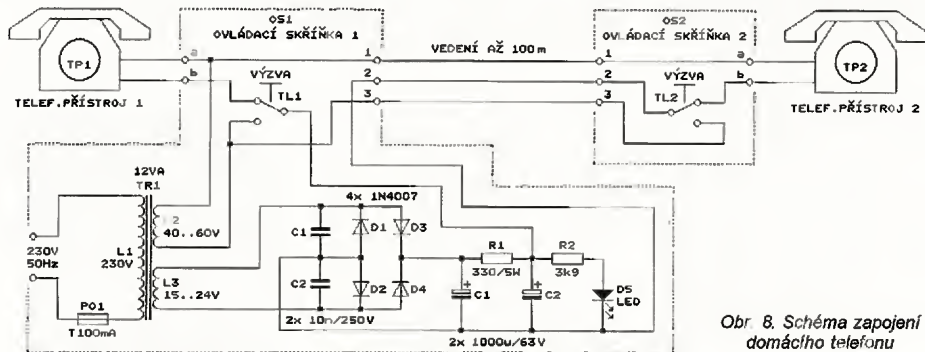
Na obr. 8 je schéma zapojení domácího telefonu, ve kterém jsou použity dva staré telefonní přístroje určené pro pevnou linku (TP1 a TP2). Přístroje jsou propojeny třilínkovým vedením o délce až 100 m. U každého telefonního přístroje je ovládací skříňka (OS1 a OS2) s tlačítkem (TL1, TL2), kterým se zapíná vyzvánění u protistanice.

V ovládací skříňce 1 je navíc síťový napájecí zdroj běžného zapojení, který poskytuje ss napájecí napětí 25 až 40 V pro telefonní přístroje. Při stisknutí kteréhokoliv tlačítka se do série se ss zdrojem zapojí vinutí L2 síťového transformátoru TR1, které dodává střídavé vyzváněcí napětí.

TR1 má jádro M55 (resp. M17 podle normy TESLA) se sloupkem o výšce 20 mm určené pro výkon 12 VA. L1 má 3050 závitů drátu CuL \varnothing 0,1 mm, L2 má 960 závitů drátu CuL \varnothing 0,15 mm a L3 má 320 závitů téhož drátu. Můžeme také použít starý síťový transformátor s převínutými sekundáři vinutím nebo můžeme navzájem propojit několik menších síťových transformátorů tak, aby poskytovaly potřebné napětí.

MM

Rádiotechnika, 11/2014



Obr. 8. Schéma zapojení domácího telefonu

Indikátor zařazeného rychlostního stupně

Michal Skřivánek

Zařízení slouží k vizuálnímu zobrazení zařazeného rychlostního stupně motocyklové převodovky. Od počátku motocyklismu byl pro usnadnění řízení vozidla indikováni zařazený rychlostní stupeň. Ponejprv znakem či popiskem například u kulisy řazení, v poslední době na displejích sdružených přístrojových desek. Avšak léta mezi tím byla k podobným užitečným drobnostem poněkud skoupá.

Inspirací pro mne byl letový jawa, který přisedlal na japonský stroj, mající o dva rychlostní stupně víc. Postěžoval si na občasnou ztrátu přehledu, co má právě zařazeno, a od tud byl již krůček k popisované konstrukci.

Podobná zařízení na trhu existují, ale ne vždy jsou vhodná na starší stroje. Některá potřebují čerpat informace z řídící jednotky, jiná vyžadují spínací kontakty na řadicí kulise. Přezentované zařízení lze nainstalovat na jakýkoliv motocykl, ke své činnosti

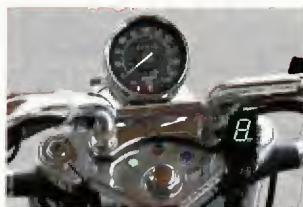
potřebuje jen napájení, další signály jsou získávány z doinstalovaných čidel. Nic však nebrání využít některé signály, které již motocykl obsahuje. Při hledání vhodného způsobu indikace mne napadlo hned několik možností, jak vyhodnotit správný převod:

- Doplnění čidla řadicí kulisy.

- Snímač na řadicí páce.
- Výpočet z poměru rychlosti a otáček

První možnost je sice k indikaci nejjednodušší a nejspolehlivější, ale je možná pouze u převodovek, které

**VYBRALI JSME NA
OBÁLKU**

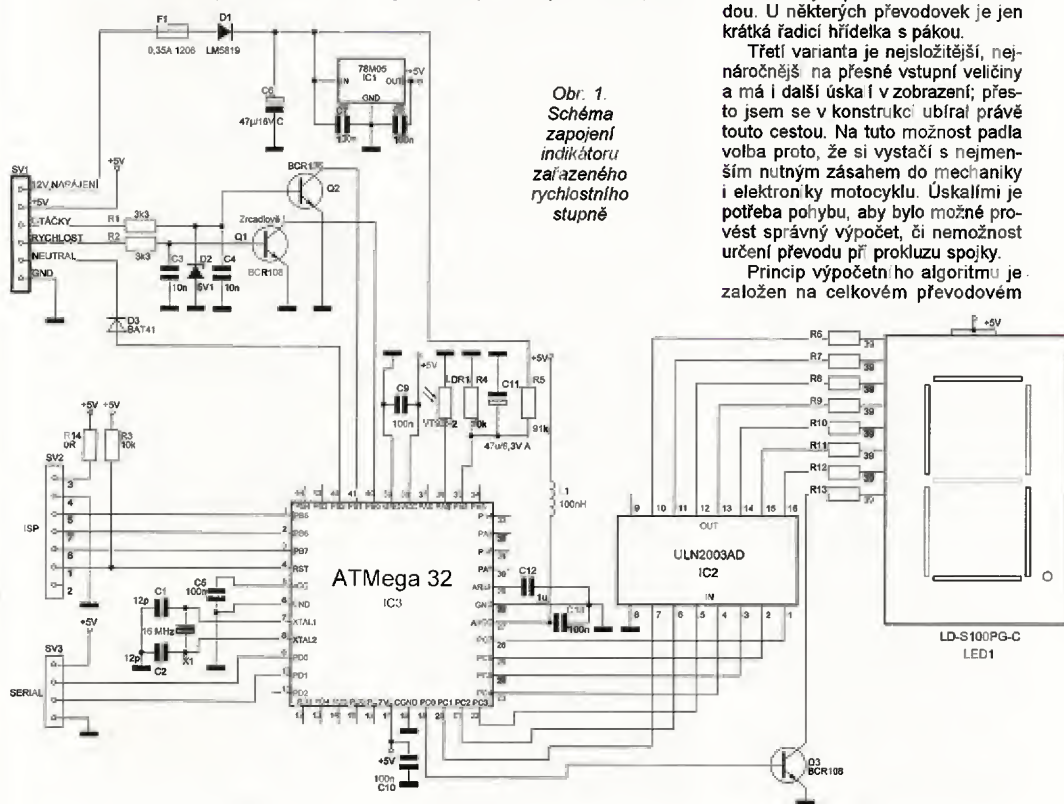


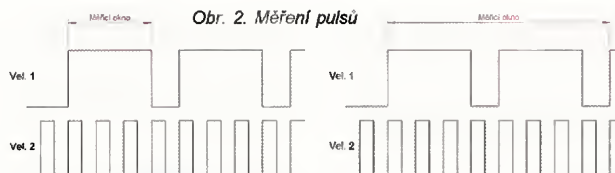
to umožňují, což nebyl náš případ. Výhodou tohoto řešení je, že indukce skutečně zařazený převod, a to i pokud neběží motor a stroji nejede.

Druhý případ je podobný, ale již může nastat problém v nemožnosti zaručení počátečního stavu, pokud není zařazen neutrální. Rovněž je zde větší citlivost na přesné nastavení snímačů. Je třeba také zmínit, že za určitých okolností ani není možné snímače z prostorových důvodů nainstalovat či dostatečně chránit před mechanickým poškozením nebo vodou. U některých převodovek je jen krátká řadič hřídelka s pákou.

Třetí varianta je nejsložitější, nejnáročnější na přesné vstupní veličiny a má i další úskalí i v zobrazení; přesto jsem se v konstrukci ubíral právě touto cestou. Na tuto možnost padla volba proto, že si vystačí s nejmenším nutným zásahem do mechaniky i elektroniky při motocyklu. Úskalím je potřeba pohybu, aby bylo možné provést správný výpočet, či nemožnost určení převodu při prokluzu spojky.

Princip výpočetního algoritmu je založen na celkovém převodovém





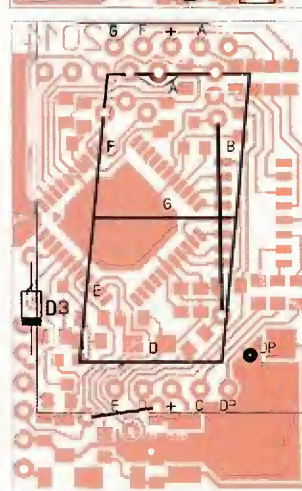
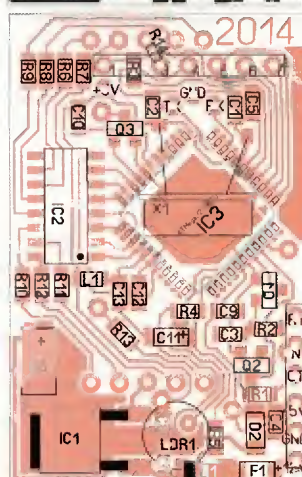
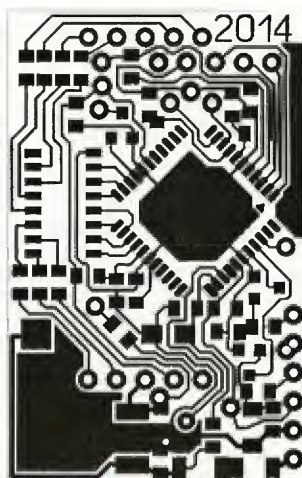
poměru. Ten se skládá z primárního převodu (motor - spojka - vstupní hřídel), převodových kol rychlostních stupňů a ze sekundárního převodu (výstupní hřídel - kolo). Pokud je zařazen jistý převodový stupeň a měřili se otáčky kola a motoru, vždy vyjde jako podíl konstanta, což je hledaný převodový poměr. Ten je pro každý převod jiný a jeho výpočetem a správným přiřazením k referenční hodnotě máme nalezený aktuální rychlostní stupeň.

Měřit pulsy můžeme několika způsoby. Pokud bychom předpokládali, že bude mezi nimi dostatečně velký poměr, můžeme čítat pulsy jedné veličiny po dobu trvání pulsu druhé veličiny. Druhou možností je zvolit si periodu, během které se budou čítat obě veličiny - viz obr. 2. Tato varianta má nevýhodu v potřebě dalšího časovače, na druhou stranu však při vhodném zvolení délky periody je výřadou automatická filtrace zobrazeného výsledku, protože ve většině počtu pulsů se schová více nepřesností. Nejde zde jen o rušení, jako spíše o různé přechodové děje během řazení a zejména uvolňování spojkové páčky. Během toho totiž není možné určit převod, jelikož v době prokluzu je převod proměnný až do plného uvolnění páčky. Mezi negativa lze započítat i stav, kdy se za jízdy zařadí neutrál, v tento okamžik se přeruší převodový řetězec a zobrazený výsledek je nesprávný. Zavedením signálu spínacího neutrálu by bylo možné uvedený stav eliminovat, praxe však ukázala, že to není nutné, neboť na neutrálu se na motocyklu nejedí. Nicméně i s touto variantou je počítáno. Za zmínku ještě stojí přidání vlastnosti, jež některé komerčně vyráběné přístroje nemají. To nejdůležitější je propracovaná regulace svítivosti displeje. Má bohaté nastavení, aby bylo možné přizpůsobit svět svým požadavkům vůči umístění jednotky a charakteristice snímacího prvku. Dále je přístroj vybaven indikací dobíjecího napětí s nastavitelným oknem měření (včetně hystereze) a ještě je k dispozici asistent řazení, kdy při akceleraci displej několika záblesky signalizuje překročení nastavených otáček. Tato funkce je na nejvyšší převod logicky potlačena, tam již nemá význam.

Hardware přístroje spočívá v jednotce, která obsahuje hlavní desku s mikrokontrolérem ATMEGA 32 a displejem. Může být instalována i deska spínacího napájecího zdroje.

Mimo jednotku pak může být pomocná deska snímání (tvarovače) otáček motoru. Tu je vhodné použít, pokud chceme omezit zásahy do palubní elektroinstalace, jinak je možné využít signálů otáček či rychlosti pro přístrojovou desku, pokud je motocykl má. Pozor však, u některých strojů je signál otáčkoměru odebírán přímo ze zapalovací cívky, pak se mohou v signálu objevit různé rušivé záškuby, tam desku snímání doporučuji. Hlavní deska je navržena jako jednostranná, pokud se rozhodneme použít lineární stabilizátor, je možné nechat na druhé straně spoje měď a využít ji ke chlazení. Z důvodu lepší stability jasu displeje je totiž sedmsegmentovka napájena z 5 V. Budeme-li chtít využít plného svítu, je již výkon pro lineární stabilizátor poněkud velký. Tedy pokud bude displej umístěn pod kapotáž, a bude postačovat m. m. méně světla, či pokud se rozhodneme použít k zobrazení samostatně LED, je možné použít lineární stabilizátor. Jinak je spínání měnič nutností, napájecí proud totiž může být i přes 200 mA. S výjimkou displeje, fotorezistoru, krystalu, D3 a R8 v obvodu tvarovače, jsou použity součástky SMD. Je to zejména z důvodu potřeby desku co nejvíce miniaturizovat, avšak s ohledem na předpokládanou ruční výrobu DPS a osazování.

Schéma zapojení jednotky je na obr. 1 a deska s plošnými spoji na obr. 3. Signály otáček a rychlosti vstupují do jednotky přes RC filtry R2, C3 a R1, C4 (ten je doplněn pro jistotu ještě Zenerovou diodou jako ochranou před přepětovými špičkami). Dále jsou spínány tranzistory Q1 a Q2, čímž stahují úroveň „pull-up“ rezistorů aktivovaných v IC3. Shodně funguje i vstup neutrálu, místo tranzistorem je však spínán přímo spínačem. Pozor na Q1, z důvodu úspory místa je třeba ho instalovat zrcadlově otočený. Nejde o běžné tranzistory, tyto mají v pouzdře na bázi instalován rezistorový dělič. Oba logické vstupy jsou čítány čítači 0 a 1. Čítač 0 je 8bitový, využívá se k měření rychlosti, generuje přerušení při přetečení, čehož je využito k rozšíření čítaných řádů. Čítač 1 počítá impulsy otáček motoru, zde je 16 bitů dostatečných. Čítané impulsy jsou hradlovány 8bitovým časovačem 2, přednastaveným na >0 až 3,3 s. Více jednotek čítač/časovač IC3 neobsahuje, takže jas displeje je regulován



Obr. 3. Deska s plošnými spoji

PWM generovaným softwarově. Má se proti hardwarovému omezení dynamický rozsah, avšak vyhovující. Osvětlení je snímáno fotorezistorem LDR1, zapojeným v děliči se „pull-up“ rezistorem v IC3 k integrovanému 10bitovému převodníku A/D, taktéž jako signál měřeného napájecího napětí. Ten je dělen rezistory R5 a R4 a filtrován kondenzátorem C11. Je využito integrované napěťové reference, oproti katalogovému zapojení je použita menší indukčnost L1 a zvětšen C12.

Protože je jednotka nastavována pomocí sériového rozhraní (USART), je v zapojení použit krystal X1, jehož přesnost je mnohem lepší, než jakou má integrovaný RC generátor. Jako výstupy jsou použity všechny porty C, oddělení je přes 7bitové tranzistorové pole, 0. bit je spínán samostatným tranzistorem. 8bitová pole jsou ve větším pouzdře, proto je to řešeno takto. K napájení je v základu použit IC1 78M05, pro větší zátěž je však lepší jej neosazovat a využít spínacího měniče (viz níže). Propojka R14 slouží k napájení programátoru, použít by ASIX Presto, jemu odpovídá pořadí vývodů. Velikost displeje je 1 palec, je dodáván v různých barvách, také existují dvě varianty pozadí displeje, černá má výhodu ve vyšším kontrastu zobrazení. Pokud se použije jiný než popisovaný displej, je třeba zkontrolovat nebo upravit předřadné rezistory R6 až R13. Pozornost je třeba věnovat desetinné tečce, některé displeje ji mají složenou ze dvou dílů, jiné mají pouze jednu. Totéž platí v případě zobrazování samostatnými LED.

Program je psán v jazyku Basic, pracuje takto: Po zapnutí jsou načtena z EEPROM do RAM uložená data, rozsvícen je pro kontrolu celý displej a jednotka je připravena k činnosti. Pulsy načítané během periody měření jsou vyděleny a porovnány s tabulkou, na základě které je vypočítán poměr pro přizpůsobení rychlostní stupeň, ten je pak již přímo zobrazen. Souběžně s tím je měřeno okolní osvětlení a vypočítáván a nastavován poměr PWM pro řízení jasu displeje. Okolní osvětlení je měřeno převážně v době zhasnutí displeje, je to kvůli eliminaci rušení odrazem světla během měření od okolních ploch či od barevného filtru na displeji. Dále pak je měřeno napětí elektrické soustavy a opět podle definovaných hodnot zobrazí stav jako desetinnou tečku. Je sledován i počet impulsů otáček motoru; pokud dosáhne nastavené úrovně, několikrát zabliká číslice 8 na displeji. V okamžik blikání je potlačena regulace PWM a svět je vždy maximální. Funkce, jelikož je navržena jako indikátor otáček pro řazení, je blokována pro poslední rychlostní stupeň.

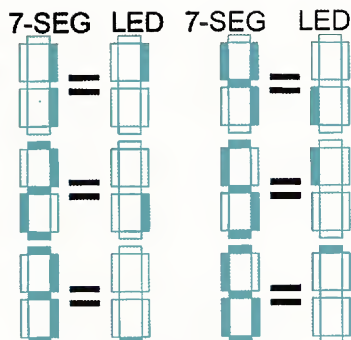
Neutrál či nejistý stav (zařazení rychlostní stupeň a stisknutí páčka spojky) je indikován pomlčkou; pokud se však rozhodneme, můžeme využít signálu spínače neutrálu. Ten, pokud je sepnut, má vždy v zobrazení přednost. Pak je nulou indikován skutečně zařazený neutral, pomlčkou zařazení rychlostní stupeň se stisknutou spojkou. Během instalace jsem se u jednoho motocyklu setkal se silně zarušeným neaktivovaným signálem ze spínače neutrálu, projevoval se náhodnou aktivací indikace otáček přehrazení. Externě byl proto spínač blokován kondenzátorem 1 μF (není uveden ve schématu).

Znak zobrazený na displeji může být kódován pro zobrazení běžné číslice nebo pro zobrazení jednoho segmentu (samostatné LED) pro každý rychlostní stupeň. To je pro případ požadavku na zobrazení bez displeje, volba se provádí v menu. Tabulka je na obr. 4.

Za zmínku ještě stojí aktivace „watchdogu“, který hlídá s periodou 2048 ms běžný chod programu. Vstup do nastavení či monitoringu zajišťuje přerušení aktivované sériovým portem.

Pokud budeme požadovat plný světelný výkon displeje, je třeba použít k napájení spínací měnič, protože lineární stabilizátor není možné při požadavcích na minimální velikost adekvátně chladiť. Je použita topologie propustný měnič, jejímž základem je integrovaný obvod LM2594M. Byl vybrán pro jednoduchost zapojení, s minimální potřebou externích součástek. Obvod má integrovaný spínač i zpětnovazební dělič napětí na 5 V. Kmitočet měniče je pevný, 150 kHz. Změřená účinnost dosahuje 80 %, což odpovídá katalogu. Některá provedení tlumivky jsou vyšší a měnič se hluše vejde do krabičky. Schéma zapojení a deska s plošnými spoji jsou na obr. 5 a 6. Měnič je připraven k desce jednotky v místech, kde je prostor pro lineární měnič, a je připojen samostatnými vodiči.

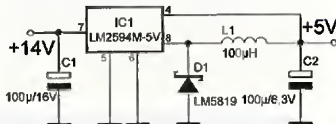
Sn mání otáček motoru, jak jsem psal výše, je možné ze signálu pro otáčkoměr, zejména pokud je zdrojem signálu řídicí jednotka zapalování. Pokud však je signál příliš zarušen (veškerý rozptýlený vypočítaného převodu), lze s výhodou použít v zapojení monostabilní klopný obvod, spouštěný krátkým impulsem. Délka pulsu je zvolena delší, než je impuls vstupní; aby po dobu jeho trvání odezněl rušivý vliv okolí (zapalování a jiné), byla zvolena délka 3,5 ms. Spouštění je kapacitním snímačem, ve formě ovinu několika závitů vodiče (asi 5 závitů) na vysokonapětovém kabelu. Není proto třeba zasahovat do zapojení od výrobce, které bývá zabezpečeno proti vodě. Citlivost je dána délkou ovinu (kapacitou) a rezistorem R8. Odtud jde signál na T1, kde jeho



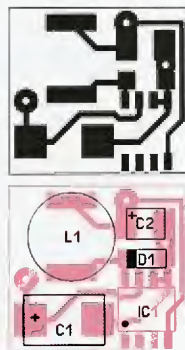
Obr. 4. Převodní tabulka

sepnutí způsobí nabíjení C3, který v okamžiku svého rozepnutí vyšle puls do IC1. Napájení je z palubních 12 V. Schéma zapojení a deska s plošnými spoji jsou na obr. 7 a 8. Tvarovač je umístěn poblíž snímače, k jednotce je již veden zesílený signál s přesně definovaným tvarem.

Jako snímač rychlosti, pokud není opět možné využít již existující signál, je použit indukční snímač. Snímá výstupy, které se nacházejí někde na kole, jako například šrouby rozety, odlehčovací otvory rozety či brzdového kotouče. Počet impulsů na kolo by měl být větší než čtyři (optimálně 8 až 10), aby byla zajištěna dostatečná přesnost, zejména v nízkých otáčkách. Detail možné instalace přibližuje obr. 9. O správné funkci se přesvědčíme otáčením kola, integrovaná LED na snímači indikuje správnou funkci. Napájení je zapojeno na palubních 12 V, nebo je možné využít 5 V z měniče. Snímač musí

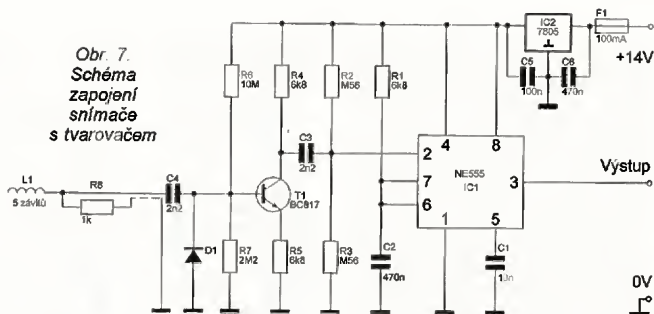


Obr. 5. Schéma zapojení měniče



Obr. 6. Deska s plošnými spoji měniče

Obr. 7.
Schéma
zapojení
snímače
s tvarovačem



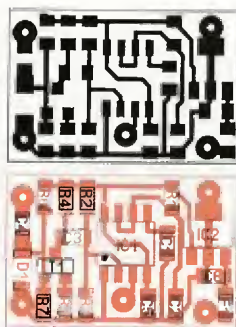
být s výstupem PNP, nejlépe spínací a s odpovídajícím krytím.

Po osazení spojů není na hardware třeba nic nastavovat, neboť veškeré parametry se zadávají softwarově. Nejprve je třeba přes konektor SV2 naprogramovat mikrokontrolér. Po té by se již měl krátce po zapnutí zobrazit symbol „8“. Vývody SV3 je pak třeba propojit s počítačem (tabletem, telefonem) a prostřednictvím terminálového programu (Hyperterminal, Putty, Free USB serial term) navázat spojení (115200, -, 8, -). Po zapnutí napájení vyšle jednotka několik uvítacích řádků, včetně informace o klávesových zkratkách. Viz obr. 10.

Stiskem klávesy „O“ - otáčky či „V“ - napětí (volty) se začnou zobrazovat naměřené hodnoty, které jednotka vidí. Na jejich základě je možné již nastavovat (klávesy „N“, „D“ a „P“) - viz obr. 10, 11, 12, 13. Položky lze opustit stiskem „E“, obvod se vyresuje a zobrazí se úvodní tabulka.

Na obr. 14 je tabulka s výpočtem hodnot na základě zadaných parametrů velikosti kola a převodů převodovky. Vlevo nahoře se zadají rozměry pneumatiky, pod tím převodové poměry a dole pak impulsy na otáčku kola. Uprostřed je konstanta udávající dělení podle zápalu [každou otáčku (1) či ob jednu (2)]. Políčko „Poměr

otáček“ již přímo udává hodnotu převodu. Tu však ještě není možné zadat; vzhledem k nepřesnostem při měření a výpočtu je každý převod zadán jako rozsah hodnot. Periodu měření doporučuji zadat 0,5 až 1 s, signalizaci otáček řazení je pak třeba periodě přizpůsobit (např. 33 imp./periodu pro 0,5 s či 66 imp./periodu pro 1 s). Při zadávání napětí je třeba upozornit na fakt, že není neobvyklé, když motocykl nedobíjí na volnoběžné otáčky je pak na nás, jestli posuneme hranici níže nebo necháme stav indikovat. „Perioda měření jasu“ udává počet oběhů programu, kdy se měření ignoruje, slouží ke zpomalení odezvy (i tak je měření průměrováno z posledních 64 měření). „Stupeň jasu“ udává dělicí hladiny, tedy rozděluje rozsah na pět částí, pro které volba „Proud pro stupeň jasu“ udává střidu proudu (1 až 13). Pro lepší pochopení je na obr. 15 nastavení zobrazeno graficky. Alternativně je možné převody a signalizaci otáček určit odečtením přímo naměřených hodnot během logování dat za jízdy či na stojánku. Z hodnot lze přímo odečíst rozsah dat převodů. Metodu úmyslně popisuji jako alternativní, neboť vyžaduje vyšší bezpečnost, je však mnohem přesnější než určení hodnot výpočtem.



Obr. 8. Deska s plošnými spoji
snímače s tvarovačem

Spoje doporučuji na závěr přelakovat polyuretanovým lakem pro ochranu před vlhkostí, také se nesmí s izolací zapomenout na veškeré spoje a krabičku.

Zařízení je testováno na třech motocyklech a splňuje očekávané požadavky.

Stroje mají 4 (Honda VT600C), 5 (Honda NTV 650 Deauville) a 6 rychlostních stupňů (Honda CB 500 twin). Testováno s i bez signálu neutrálu.

Seznam součástek

Hlavní jednotka

R1, R2	3,3 kΩ, 0805
R3, R4	10 kΩ, 0805
R5	91 kΩ, 0805
R6, R7, R8,	
R9, R10, R11,	
R12, R13	39 Ω, 0805
R14	0 Ω, 0603
C1, C2	12 pF, 0805
C3, C4	10 nF, 0805
C5, C7,	
C8, C9,	
C10, C13	100 nF, 0805
C6	47 μF/16 V, C
C11	47 μF/6,3 V, A
C12	1 μF, 0805
D1	LM5819
D2	5V1 SMD
D3	BAT41
F1	0,35 A, 1206
IC1	78M05
IC2	ULN2003AD
IC3	ATMega32AU
Program na www.radio.cz	
LDR1	VT93N2
L1	100 nH, 0805
LED1	LD-S100PG-C
Q1, Q2, Q3	BCR108
X1	16 MHz
ABS	krabička HAMMOND U-HA1551GFLBK

Měníč

C1	100 μF/16 V, D
C2	100 μF/6,3 V, B



Obr. 9.
Detail
instalace
snímače

```

*****
*** Indikátor razení ***
*** v. 49 ***
*****

```

Obr. 10

Povely:
 E - výskoci na začatek
 O - zobrazení otacek
 V - zobrazení napeti
 N - nastavení napeti
 D - nastavení displeje
 P - nastavení převodu

*** SETUP NAPIETI ***

Napeti min (*10): 116
 ?
 Zadano: 116

Obr. 11

Napeti max (*10): 144
 ?
 Zadano: 144

Napeti hysterize (*10): 4
 ?
 Zadano: 4

D1 LM5819 SMD
 IC1 LM2594M-5V
 L1 100 µH, MATSUTA
 TL.SMT73 100µH

Snímač s tvarovačem

R1, R4, R5 6,8 kΩ, 0805
 R2, R3 560 kΩ, 0805
 R6 10 MΩ, 0805
 R7 2,2 MΩ, 0805
 R8 1 kΩ, 0207
 C1 10 nF, 0805
 C5 100 nF, 0805
 C2, C6 470 nF, 0805
 C3, C4 2,2 nF, 0805
 D1 1N4148 SMD
 F1 100 mA, 0805
 IC1 NE555
 IC2 78L05F
 L1 5 závitů
 T1 BC817
 Čidlo rychlosti LR12BN04DPO

Použitá literatura

<http://www.atmel.com>
<http://www.mcselec.com/>
<http://www.hw.cz/teorie-a-praxe/konstrukce/otackomer-pro-spalovaci-motory.html>

*** SETUP DISPLEJ ***
 Typ displeje (1 = 7-seg, 2 = LED): 1
 ?
 Zadano: 1

Perioda merení jasu (1 rychle - 255 pomalu): 5
 ?
 Zadano: 5

Stupen jasu 1 (max 1023): 900
 ?
 Zadano: 900

Stupen jasu 2: 500
 ?
 Zadano: 500

Stupen jasu 3: 200
 ?
 Zadano: 200

Stupen jasu 4 (> 1): 50
 ?
 Zadano: 50

Proud pro stupen jasu 1 (1 - 13): 1
 ?
 Zadano: 1

Proud pro stupen jasu 2 (1 - 13): 2
 ?
 Zadano: 2

Proud pro stupen jasu 3 (1 - 13): 4
 ?
 Zadano: 4

Proud pro stupen jasu 4 (1 - 13): 8
 ?
 Zadano: 8

Proud pro stupen jasu 5 (1 - 13): 13
 ?
 Zadano: 13

*** SETUP PREVODY ***
 Pocet rychlostních stupnu: 4
 ?
 Zadano: 4

Perioda merení: 225
 (0,255 - 248)
 (0,33s - 236)
 (0,5s - 225)
 (1,0s - 195)
 (2,0s - 134)
 ?
 Zadano: 225

otacky_razení (dle zobrazene hodnoty, 1mp/periodu): 33
 ?
 Zadano: 33

Obr. 13

Obr. 12

Rychlostní stupen 4 min: 42
 ?
 Zadano: 42

Rychlostní stupen 4 max: 56
 ?
 Zadano: 56

Rychlostní stupen 3 min: 57
 ?
 Zadano: 57

Rychlostní stupen 3 max: 77
 ?
 Zadano: 77

Rychlostní stupen 2 min: 81
 ?
 Zadano: 81

Rychlostní stupen 2 max: 104
 ?
 Zadano: 104

Rychlostní stupen 1 min: 124
 ?
 Zadano: 124

Rychlostní stupen 1 max: 140
 ?
 Zadano: 140

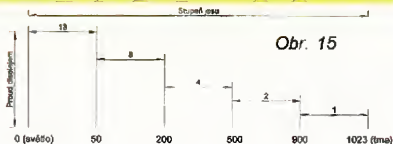
Kolo	Obvod
170	2,05
80	
15	

Převod	Poměr	Celkem
Prinír	1,888	13,5
2	1,7	8,8
3	1,227	6,4
4	0,931	4,8
5	0	0
6	0	0
Sekundár	2,75	

Proud, µm	?
SMD, mV	?
výstup	16

k	1	2	3	4	5	6	7	8	9	10	11	12	13	14	15	16
Hz	17	33	50	67	83	100	117	133	150	167						
ot	1000	2000	3000	4000	5000	6000	7000	8000	9000	10000						
otčky kola [ot/s]	1	1,25	1,5	1,75	2,0	2,25	2,5	2,75	3,0	3,25	3,5	3,75	4,0	4,25	4,5	4,75
ot. kola [imp/s]	1	1,25	1,5	1,75	2,0	2,25	2,5	2,75	3,0	3,25	3,5	3,75	4,0	4,25	4,5	4,75
Poměr otáček	1	1,25	1,5	1,75	2,0	2,25	2,5	2,75	3,0	3,25	3,5	3,75	4,0	4,25	4,5	4,75
Rychlost	1	1,25	1,5	1,75	2,0	2,25	2,5	2,75	3,0	3,25	3,5	3,75	4,0	4,25	4,5	4,75

Obr. 14. Tabulka s výpočtem hodnot na základě zadaných parametrů velikosti kola a převodu převodovky



Obr. 15

Svorky na měření

Když je potřeba proměřit větší počet součástek, které nemají příliš zkrácené vývody, hodí se kontaktní svorka vyrobená za pár minut z běžných kancelářských svorek podle inspirace z časopisu Elektor 7-8/2010. Vývody součástek dobře drží a ruce jsou při měření volné. Pro součástky s radiálními vývody si vyrobíme druhý přípravek se svorkami paralelně a blízko u sebe. Pro proud, který je větší než 200 mA, tyto svorky vhodné nejsou; přece jen železný drát má podstatně větší odpor než měděné vodiče.



Generátor minutových impulsů pomocí signálu DCF 77,5 kHz

Václav Hamberger

Toto zařízení jsem zkonstruoval, protože mně neustále vadila nutnost ručně seřizovat hodiny na přesný začátek minuty podle rádia. Největší potřeba byla synchronizovat staré hlavní řídicí hodiny PRAGOTRON, které nemají přímou možnost synchronizace s časovým znamením na začátek minuty. Prakticky to znamená, že kromě prvotního nastavení času (takto synchronizovaných hodin) odpadá jakákoliv ruční korekce času (kromě ručních změn L/Z času a po výpadku napájení). Generátor připojené hodiny stále udržuje v synchronním chodu se začátkem minuty, nedovolí jejich zpoždění a tím se zlepší jejich dlouhodobá přesnost.

Generátor generuje minutový impuls v úrovni TTL s nastavitelnou délkou 1 až 3 s, který se odvozuje ze signálu DCF. Pokud je příjem DCF rušený nebo vysílač nevysílá, negeneruje žádný minutový impuls. Výstupní minutový synchronizační impuls (dále jen MSI) můžeme např. použít pro synchronizaci různých hodin nebo časovačů. Nelze ho však použít k přímému řízení např. minutových krokových hodin. Je vybaven indikačními LED.

Základní parametry

Napájení (ss): 7 až 25 V/10 mA
(podle použitého přijímače DCF),
nebo 5 V bez stabilizátoru.

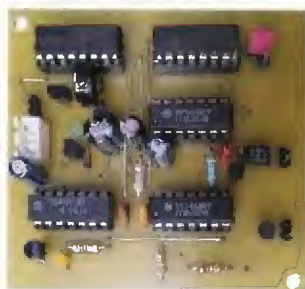
Vstup:
sekundové časové značky DCF,
invertovaný impuls - otevřený
kolektor z přijímače.

Výstup:
minutový (nezálohovaný) impuls TTL.

Signál DCF 77

Stanice DCF 77 vysílá AM pravidelné sekundové impulsy dlouhé 0,1 a 0,2 s, které jsou vyhodnocovány jako log. 0 a log. 1. V tomto binárním kódu je zakódován čas, den v týdnu, měsíc a rok na následující minutu, dále i vysílána informace o počasí v Evropě. Začátek platnosti těchto časových a kalendářních údajů je určen náběžnou hranou nulté sekundy. Důležitý fakt je, že 59. sekunda se

VYBRALI JSME NA
OBÁLKU

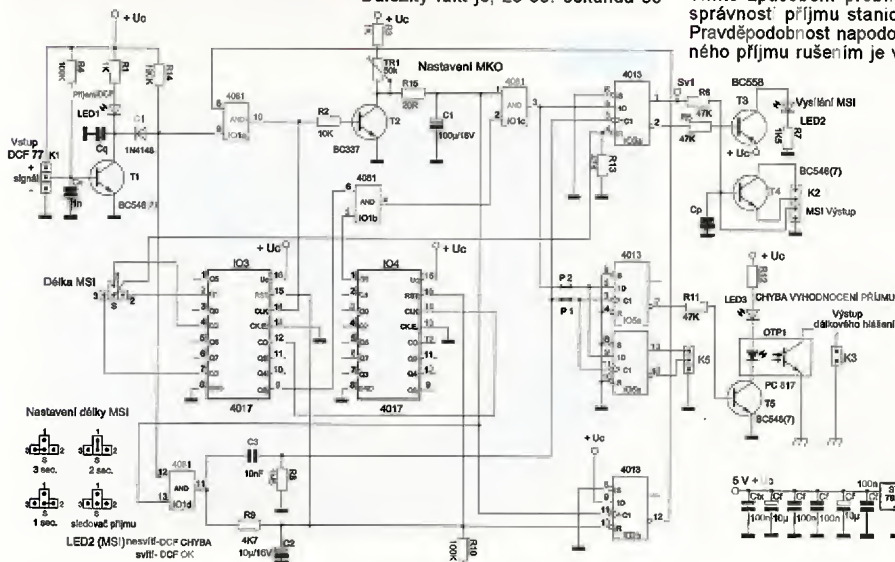


běžně nevysílá, a proto slouží k synchronizaci začátku následující minuty.

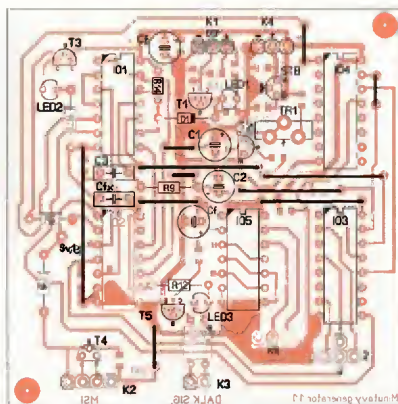
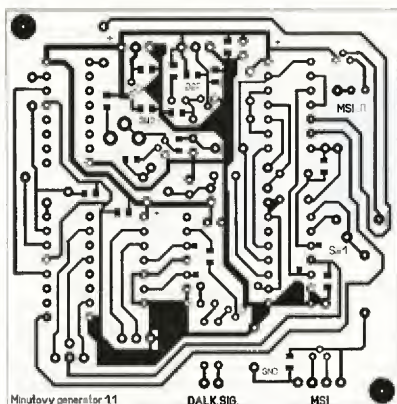
Princip generátoru a poznámky k zapojení

Hlavní část generátoru tvoří monostabilní klopný obvod (MKO), který detekuje nepřítomnost 59. sekundy. Je udržován v nestabilním stavu a v okamžiku nepřítomnosti 59. sekundy překlápá a generuje log. 1.

Další důležitou částí jsou dva dekadické čítače IO3, IO4 CMOS 4017, které počítají sekundové impulsy stanice DCF. V případě kvalitního příjmu čítače napočítají stav 58 a hradlo IO1b překlápá do stavu log. 1. V případě špatného příjmu (tzn. zvýšený nebo snížený počet impulsů) čítače napočítají jinou hodnotu než 58 a výstup hradla IO1b zůstane v log. 0. Tímto způsobem probíhá kontrola a správnost příjmu stanice DCF 77. Pravděpodobnost napodobení správného příjmu rušením je velmi malá.



Obr. 1.
Schéma
zapojení



Pro vyslání MSI musí být splněny dvě podmínky: První, že čítače IO3, IO4 napočítají 58 s, a druhá, že překloupí MKO po nepřítomnosti 59. sekundy.

MKO je na první pohled ve velmi primitivním zapojení, tvoří ho TR1, R3, R15, C1 a T2. C1 je trvale nabíjen přes TR1 (R3, R15) na napájecí napětí, ale je přerušované vybíjen sekundovými DCF impulsy tranzistorem T2 (tzn. ze napětí na C1 nestačí během minuty vzrůst na log. 1.

Popis zapojení

Vstupní signál DCF přichází z přijímače na vstupní konektor K1. Následuje tranzistor T1, který má dvě funkce: jednak plní funkci spínače LED1 (indikuje správnost příjmu časových značek) a dále tvoří jednoduchý invertor časových značek. Na tomto místě by bylo možné použít jako invertor běžné hradlo, ale vycházel jsem z toho, aby konstrukce obsahovala co nejméně IO. Signál dále postupuje přes D1 do vstupů dvou hradel typu AND. Hradlo IO1a slouží jako brána, která se otevírá pouze v případě, že stav K opětného obvodu IO2b je v log. 1 na výstupu Q(non). Hradlo IO1d se otevírá pouze v případě, že MKO překopil do stabilního stavu (v době nepřítomnosti 59. sekundy), a otevírá průchod následujícímu nultému impulsu signálu DCF.

Hradlo IO1a je otevřeno hned po zapnutí až do překlopění MKO, tzn., že sekundové impulsy můžou přicházet na hodinový vstup IO3 a nastavit MKO. V okamžiku nepřítomnosti 59. sekundy (nebo vlivem rušení či odpojení příjmače na dobu delší než 1 s) překlopí MKO. Tím je na první vstup hradla IO1c log. 1, druhý vstup je ve stavu 0, i. pouze v případě, že čítače IO3, IO4 napočítaly do stavu 58. Pokud nenapočítaly, tak výstup IO1c je v log. 0, tím je i výst. 0 na nastavovacím vstupu prvního klopného obvodu typu D IO2a.

Překlopení MKO dále způsobí log. 1 na hod. novém vstupu klopného obvodu D IO2b, to vyvolá jeho překlopení a zab. okování vstupního hradla IO1a. Pokud by se toto nezab. okovalo, první nultý impuls stanice DCF by způsobil, že by čítač dále počí-

tal, tzn. nezůstal by ve stavu 58. Proto bychom nebyli schopni vyhodnotit správnost příjmu předchozí minuty. MKO rovněž otevře hradlo IO1d. Přichází nyní DCF impuls (který určuje začátek minuty), hradlo IO1a nereguluje, protože je zablokováno druhým klopným obvodem. Hradlo IO1d je otevřeno, tudíž impuls projde na integrační a derivační členek. Integrační členek slouží k zpoždění hrany nultého impulsu k nulování čítačů a zpětnému překlopení klopného obvodu IO2b, který otevře vstupní hradlo IO1a. Naopak derivační člen slouží k špičkovému taktování prvního klopného obvodu IO2a. Na konci nulté sekundy jsou čítače IO3, IO4 ve stavu 00 a je otevřeno hradlo IO1a.

Nyní v případě kvalitního příjmu stanice DCF počítají čítače IO3, IO4 sekundové impulsy až do stavu 58. Měla by následovat 59. sekunda, avšak chybí, tím překlápí MKO, stav čítačů je 58. Oba vstupy IO1c mají log 1, takže výstup tohoto hradla a vstup D klopného obvodu IO2a má tuto úroveň. Přichází nutná sekunda, kladná hrana projde hradlem IO1d a způsobí krátké vzorkování vstupu D prvního klopného obvodu IO2a, obvod překlápí a na výstupu Q je log. 1 (tedy jako na vstupu D). Na druhém výstupu Q(non) je log. 0, na kterém reaguje tranzistorový spínač T2 s indikací LED, která informuje o vysílání MSI. Dále proběhne se zpožděním nulování čítačů IO3, IO4 a zpětné překlápění druhého KO IO2b.

Délku MSI nastavujeme podle toho, z jaké pořadové úrovně čítače IO3 odebíráme log. 1 pro nulování IO2a. Délku je možné volit v rozmezí 1 až 3 s nastavovací propojkou na DPS.

Paralelně (pomocí drátových propojek P1, P2) ke vstupu D, CLK klopného obvodu I02a je připojena dvojce shodných klopných obvodů CMOS 4013 I05, která má pouze signál začít účel. Nastavuje se do stavu, který odpovídá nastavení I02a. Na výstup Q(non) I05a je přes rezistor R11 zapojen tranzistor T5, který spíná LED v optočlenu a indikační LED. Výstup optočlenu je aktivní při neukáliním příjmu DCF. Osazení součástek OPT1, T5, R11, R12, LED3, P1, P2, K3 není nutné, záleží pouze na tom, zda bude mít uživatel zájem např. dálkové signalizovat, že příjem DCF je nevyhovující. To lze dnes uskutečnit i pomocí různých ethernetových převodníků, které pak zajistí, že uživatel bude mít možnost na dálku s edovat ze vzdáleného PC či mobilního telefonu stav příjmu DCF v určitém místě atd. Tyto převodníky nabízí např. firma Papouch.

Výstup MSI je ve formě tranzistoru T4; ten je možné přizpůsobit následujícím obvodům úpravou „k emů“ konektoru K2, nebo také můžeme využít svorku Sv1.

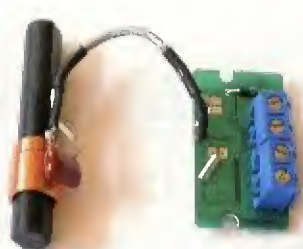
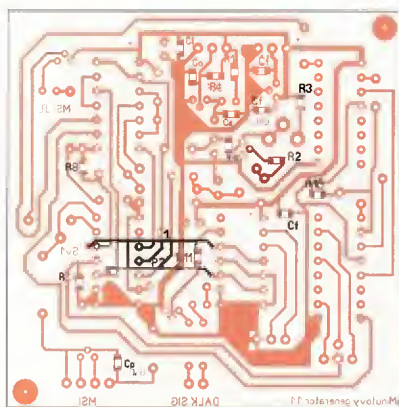
Svorka Sv1 slouží k přímému napojení následujících log. členů synchronizovaných zařízení (konektor K2 - bez osazení R6)

Na DPS je místo pro konektor K5, na který je možné připojit zařízení pro dálkové hlášení přímo v log. úrovních. Výstup je nechráněn.

Stejnoseměrné napájení generátoru přivádíme na svorky K4 a má být v rozmezí 7 až 25 V. Odběr proudu je asi do 15 mA, záleží na použitém přijímači DCF 77, který je automaticky z generátoru napájen 5 V. Generátor je připraven i pro provoz bez stabilizátoru STB, kdy využíváme napájení přímo ze synchronizovaných hodin. Tohoto napětí musí být stabilizovaných 5 V.

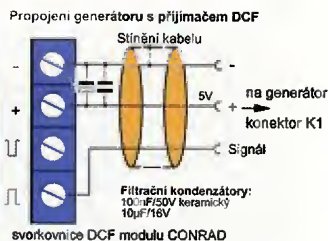
Konstrukce

Generátor je navržěn na jednostranné desce s plošnými spoji o rozměrech 70 × 70 mm. Některé spoje jsou ve formě drátových propojek. Použité integrované obvody jsou ve vývodovém provedení, řada součástek je v provedení SMD. Většinu děr vrtáme 0,6 až 0,8 mm.



Obr. 5. Modul DCF

Obr. 4. Rozmístění součástek na straně spoju



Obr. 6. Propojení generátoru s přijímačem DCF

Pro praktické rozšíření možnost generátoru, jsou připravovány hlavní hodnoty pro řízení krokových hodin PRAGOTRON všech typů. Konstrukci uvedu v budoucnu.

Technické dotazy zodpovím na e-mailu: hamburger.v@seznam.cz

Dráhy pro trimr a jumpéry mají průměr 1 až 1,1 mm. Dráhy pro upevnění desky 4 mm. Obvody CMOS je vhodné zasunout do objímek.

Přijímač DCF 77

K získání signálu stanice DCF 77 doporučuji použít hotový přijímač modul od firmy Conrad (obr. 5), se kterým je uvedený generátor v provozu. Signál je možné získat i z různých převodníků, jako GPS/DCF, Ethernet/DCF. V každém případě je nutné zajistit, aby výstupní úroveň signálu z přijímače byla v režimu otevřeného kolektoru. Je též možné využít napájení přijímače z generátoru (5 V). Propojení s generátorem je na obr. 6.

Oživení a uvedení do provozu

Po důkladném osazení a kontrole DPS můžeme přejít k oživení generátoru. Hlavní úkol bude správně nastavit dobu kmitu MKO trimrem TR1, zatím bez IO. Po zapojení na zdroj nejprve voltmetrem změřme napětí 5 V na vývodech všech čtyř IO (vývody 8 a 16 v objímkách). Odpojíme zdroj a zasuneme O do objímek. Připojíme na vstupní konektor K1 přijímač DCF 77 a zapneme zdroj. Připojení přijímače bude následně indikovat LED1, která začne pohasínat v rytmu sekundových značek. Musí pohasínat! Nejlépe logickou sondou připojíme proti zemi na výstup IO1d (vývod 17 IO1) a sledujeme, zda se zde objevují sekundové impulsy v rytmu DCF. Během měření otáčíme pomalu trimrem TR1 tak dlouho, dokud impulsy nezmizí (projde jen impuls nutě sekundy). Po seřízení MKO přejdeme k nastavení délky MSI. Na desce je připraven propojkový přepínač, který nastavíme podle obr. 1 „nastavení délky MSI“. Pokud je vše v pořádku, tak se každou začínající minutu rozsvítí LED2, která informuje o vysílání MSI.

Pokud se LED2 nerozsvěcuje a přijímač DCF je kvalitní, je nutné zkontrolovat, zda čítače správně čítají sekundové impulsy a jestli se pravidelně nují v nutě sekundě. To zkontrolujeme opět logickou sondou. Kontrolujeme také přítomnost impulsů na vstu-

pu CLK IO3, dále kontrolujeme log. 1 na Q0 IO3 při každé desáté sekundě. Případně zjistíme zda v našem okolí (asi 20 až 30 km) není bouřka, pokud ano, je třeba vyčkat až přejde. Každý i třeba krátký proniklý rušivý impuls, způsobí narušení čítání čítačů IO3, IO4, které napočítají jinou hodnotu než 58. Tento problém se při zpracování signálu DCF v dekóderu např. v hodinách, obvykle řeší i tím, že se zajistí (programem v dekódovacím mikroprocesoru aj.), aby během pauzy mezi sekundovými impulsy dekóder na tyto krátké rušivé impulsy nereagoval a tím zbytečně nevyhodnotoval signál jako chybný, když chybný není.

Upozorňuji, že je nutné si uvědomit jak dlouhý kabel používáme od přijímače DCF ke generátoru. Pokud je kabel dlouhý a nestíněný, může se naindukovat rušení, které se projevuje jako trvalá chyba příjmu (LED2 se nerozsvěcuje). Kondenzátor Co, Cq osadíme zkusmo, při velkém rušení určitě. Můžeme také použít stíněný kabel pro svod od přijímače DCF. Generátor je citlivý na rušení místního (TVP CRT) i dálkového (bouřka) charakteru. Pro vysílání MSI platí pravidlo: NEŽ CHYBNÝ MSI, RADŠI ŽÁDNÝ, tj. záruka opravdu skutečného začátku minuty.

Závěr

Generátor mám vestavěný v hodinách PRAGOTRON ESH3, které běží synchronně s časovým znamením na prostě bez problémů, ruční korekce času odpadá. Ve spojení i s jinými řídicími hodinami nebo ústřednami PRAGOTRON (EH1, 40, 41, EHU s vnitřní úpravou aj.) dokáže také zajistit větší komfort pro obsluhu, která není obtěžována častým nastavováním, např. podle časového znamení z rádia.

Pokud se dodrží správný postup osazení, pájení a oživení DPS, tak by neměl být žádný problém s uvedením do provozu.

Je určen pouze pro kalibrování hodin na tzv. občanskou časovou přesnost, tzn. není přímo konstruován pro kalibrování profesionálních přístrojů, i když se to úplně nevyužívá.

Seznam součástek

R1	1 kΩ, SMD, 0805
R2	10 kΩ, SMD, 0805
R3	1 kΩ, SMD, 0805
R4	100 kΩ, SMD, 0805
R5	47 kΩ, metalizovaný
R6	47 kΩ, metalizovaný
R7	1,2 až 1,5 kΩ, metalizovaný
R8	1,5 MΩ, SMD, 0805
R9	4,7 kΩ, metalizovaný
R10	100 kΩ, SMD, 0805
R11	47 kΩ, metalizovaný
R12	podle LED a použitého optočlenu, metalizovaný
R13	47 kΩ, SMD, 0805
R14	10 až 100 kΩ, metalizovaný
R15	15 až 33 Ω, SMD, 0805
TR1	50 kΩ, stojatý, (PT10KH050-GME)
Cf	10 μF/25 V (22 μF); keramické
Cx	68 až 100 nF/50 V, SMD, 0805
Cq	68 až 100 nF/50 V, keramický
Co	1 nF, keramický, SMD, 0805
Cp as'	do 10 nF, SMD, 0805-vf blokuje bázi T4, ale posunuje náběžnou hranu MSI! Osadí se jen v případě potřeby.
Cq	47 až 100 pF, SMD, 0805 - omezuje rušení pronikající z kabelu od antény DCF. Osadí se zkusmo. Při nestíněném kabelu od antény se osadí určitě.
C1	100 μF/16 V
C2	10 μF/16 V
C3	10 nF, keramický
D1	1N4148
LED1	zelená, 3 mm
LED2	žlutá, 3 mm
LED3	červená, 3 mm
IO1	4081, DIL 14
IO2	4081, DIL 14
IO3	4017, DIL 16
IO4	4017, DIL 16
IO5	4013, DIL 14
Objímka DIL	5 ks
T1	BC546, 547
T2	BC337
T3	BC558
T4	BC546, 547
T5	BC546, 547
OPT	PC817
STB	78L05, (TO-92)

Konektory a přepínač délky MSI je vhodné vytvořit z jumperové lišty.

Dekády z Číny

Používání odporových, natož pak kapacitních nebo indukčních dekád v amatérských dílnách není u nás příliš rozšířené, přestože tato pomůcka je velmi praktická. Jedním z důvodů bude nepochybně také dost vysoká cena i relativně jednoduchých (pasivních) dekád s přesností odpovídající běžně dostupným součástkám.

Dekády si může každý postavit sám, není to nic složitého, ale je to docela pracné. Je škoda, že se u nás běžně neprodávají jednoduché dekády v podobě přípravku, takové, jaké jsou nabízeny na amerických (ebay) i čínských aukcích (Ali express). Doprava sice trvá několik týdnů, ovšem ceny i při koupi ihned jsou dostupné a kdo nepěchá a účastní se aukce, na několik pokusů většinou z ská zboží zhruba za polovinu ceny stanovené pro okamžitý prodej. Podívejme se, jaké jsou vlastnosti těchto levných přípravků.

Odporová dekáda na obr. 1 pokrývá rozsah sedmi řádů od 1 Ω do 10 M Ω , rezistory jsou standardní na zatížení 0,25 W s přesností 1 %. V každém řádu je osazeno devět rezistorů sériově a jednou propojkou se volí výstup z této série (0 - 9). I pokud navolíme nulový odpor, musí proud projít celkem sedmi propojkami. S ohledem na to, že i na nejnižším řádu jednotek Ω je nejvyšší dostupný proud jen 0,5 A, neomezuji propojky použitelnost dekády, ovšem pro hodnotu v řádu jednotek Ω zhoří přesnost nad deklarovanou 1 %.

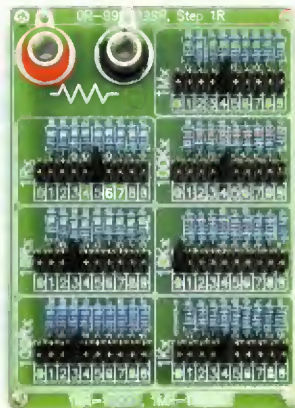
Výstup dekády je na standardní zdířky o průměru 4 mm a současně na pájecí očka uchycená pod nimi, v každém balení jsou dodávány dva banánky. Alternativně se některé dekády prodávají i se svorkovnicí. Ze spodní strany jsou na DPS přišroubovány distanční sloupky a je vhodné připravit doplnit o krycí plastovou desku, která zabrání zkratu v případě položení dekády na něco vodivého. Cena přípravku při nákupu ihned se pohybuje kolem \$17 (380 Kč), včetně poštovného do ČR, v aukcích se dá vydražit asi o třetinu levněji. Je to praktická pomůcka, která dělá přesně to, co se od ní dá očekávat.

Kapacitní dekády (obr. 2) se dělají jak pro vyšší kapacity s elektrolytickými kondenzátory na napětí 35 V (1 μ F až 10 mF

s přesností 10 %), tak pro menší kapacity s fóliovými kondenzátory na napětí 100 V (1 nF až 10 μ F s přesností 5 %). Hodnoty se nastavují DIL spínači; kolik spínačů v daném řádu zapnete, tolik kondenzátorů se spojí paralelně. Přípravek je vyroben čistě, stejně jako u odporové dekády je vhodné doplnit spodní ochrannou izolační desku. Dekáda s fóliovými kondenzátory deklarovanou přesnost s rezervou splní. Pokud není dekáda používána třeba ve výkonových vf obvodech, nebude asi vadit ani to, že použité spínače mají povolený proud omezený na 25 mA.

Dekáda vyšších kapacit je složená ze standardních elektrolytických kondenzátorů, jednotlivé kusy mají mírně různou kapacitu a některé i překračovaly toleranci. Nastává ovšem vážnější problém s již zmíněným malým povoleným proudem spínačů, ten použitelnost této dekády v podstatě omezuje na „signálové“ účely. Když nastavíme kapacitu třeba 1 mF a připojíme na napětí 35 V, nabíjecí proud mnohonásobně překročí dovolené zatížení spínačů. Navíc, použité spínače jsou určeny pro konfigurace zapojení, pro nastavení několikrát za dobu životnosti nebo nejvýš občasné, ne k pravidelnému častému používání. Obojí dohromady znamená, že spínače nebudou mít velkou životnost. Je nutné zdůraznit, že tato dekáda rozhodně není určena pro silové použití (například pro zkoušení potřebné kapacity vyhlazovacího kondenzátoru ve zdrojích) a nevydrží ho. S tímto omezením dobře poslouží, ale nenadchne, a je otázka, jak dlouho vydrží v provozu. Na druhou stranu, dekády na obr. 2 byly zakoupeny za 143 a 141 Kč, včetně nákladů na dopravu, takže případná obměna nemusí moc mrzet.

Jako poslední si představíme indukčnostní dekádu 1 μ H až 1 mH s kompaktními cívkami z řady E12 a přesností 10 %

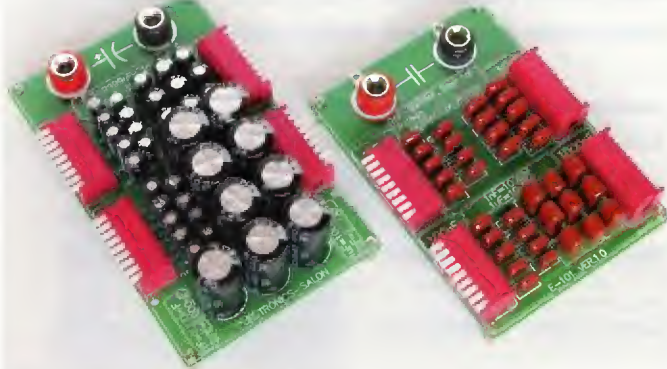


Obr. 1. Odporová dekáda

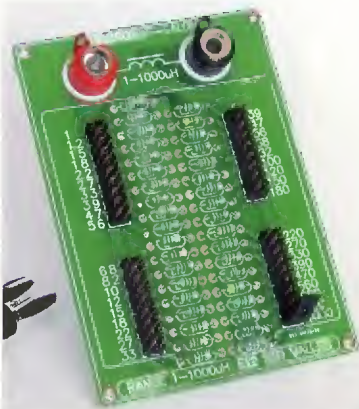
(obr. 3). V tomto případě se volí jedna vřezaná hodnota propojkou, v příslušném řádu je několik náhradních propojek. S ohledem na poměrně malý dostupný proud 165 mA v rozsahu 1 až 8,2 μ H, 95 mA pro 10 až 82 μ H a 40 mA pro 100 až 1000 μ H je přepínání propojkami bezproblémové. Přesné mezní proudy pro jednotlivé tlumivky jsou uvedeny v PDF dokumentaci. Potíž nastává s přesností na nejnižších hodnotách. Samotné tlumivky by vyhověly, a e výsledek na svorkách přípravku je ovlivněný parazitními vlastnostmi plošného spoje a vlivem sousedních součástek. Konkrétní dekáda byla zakoupena za 220 Kč, opět včetně dopravy.

Když si zvyknete na používání dekády při ožiování zařízení, většinou pak nestačí jedna od daného typu, ovšem práci to často významně urychlí. Argument, že dekády jsou pro domácí dílnu příliš drahé, je možná pravdivý při pohledu do tuzemských obchodů; když však „zalovíme“ v zahraničí, zjevně odpadá. Přestože popsané dekády čínské výroby v podobě jednoduchých přípravků mají své chyby a omezení, na nic si nehrají a jsou přesně tím, čím mají být: praktickým pomocníkem za cenu přijatelnou pro amatéry.

Ing. Michal Černý



Obr. 2. Kapacitní dekády



Obr. 3. Indukčnostní dekáda

Ozobot

miniaturní robotická hračka

Ing. Michal Černý

Sledování čáry patří mezi nejčastěji zpracovávané robotické úlohy. Postavit sledovač čáry neboli line follower tak, aby „nějak“ fungoval, je poměrně jednoduché, ale překvapivě náročné, pokud má zvládnout libovolnou dráhu a pohybovat se pokud možno rychle. Ozobot je robotická hračka, která je v principu „jen“ sledovačem čáry, ale při docela zajímavé ceně kolem 50 \$ toho umí mnohem, mnohem víc.

Ozobot byl vyvinut malým mezinárodním týmem pěti lidí, z nichž jedním je Ondřej Staněk z Prahy, jeho úlohou bylo navrhnout elektroniku a naprogramovat firmware robota. Robot na první pohled zaujme svými malými rozměry, má průměr i výšku jen 1" (25,4 mm). Pohybuje se pomocí dvou poháněných gumových koleček posazených za těžištěm, třetím opěrným bodem vpředu je kluzný výstup na plastovém podvozku.

Tělo robota tvoří průhledná, mírně kroužkovitě zbarvená kulka, která částečně umožňuje pohled na řídící elektroniku a je přes ni vidět světlo barevných LED uprostřed. Na tělo Ozobota se může nasadit pružný návlek, který jednak rozptyluje světlo, takže se robot zdánlivě celý rozsvítí, kromě řídící elektroniky a je přes ni vidět světlo barevných LED uprostřed. Na tělo Ozobota se může nasadit pružný návlek, který jednak rozptyluje světlo, takže se robot zdánlivě celý rozsvítí, kromě řídící elektroniky a je přes ni vidět světlo barevných LED uprostřed.

Úloha sledování čáry se obecně soustředí zejména na zvládnutí tratě. Už dou-

ho se vyskytují pokusy přidat k tomu možnost předávat robotovi další povely značkami buď přímo na dráze, nebo spíše vedle ní, aby tyto povely nenarušovaly čtení dráhy. Značky mohou mít podobu jednoduchého černobílého čárového kódu, mohou být i barevné, to vše tu již bylo. Ozobot tuto myšlenku rozpracovává. Vpředu má pět optických čidel, prostřední snímá barvy. Dráha se nakreslí třeba fixkami na papír, šířka stopy by měla být asi 5 až 6 mm. Čára nemusí být jen černá, ale také modrá, červená nebo zelená. Podle toho, jakou barvu pod sebou robot detekuje, se rozsvítí i kryt.

Když se na dráze barvy střídají v úsecích dlouhých asi 5 až 7 mm, jsou přičteny jako kód povelu, před a za kódem by měl být souvislý černý úsek dráhy bez změny v délce asi 15 mm. Základní barevné kódy ukazují obrázek. Můžeme měnit na několik sekund nebo trvale (do dalšího povelu) rychlost pohybu (1,5 až 8,5 cm/s), přikázat na další křižovatce odbočit vlevo, vpravo, nebo jet rovně (bez povelu se cesta zvolí náhodně), dát povel k otočení nebo zastavení a krátkému čekání. Jiný povel nastaví časovač, který robota po půl minutě vypne, není-li pochopitelné do té doby časovač vypnut.



Jde vyvolat i předprogramované pohyby, zatočit se na místě, pár centimetrů „šněrovat“ dráhu nebo po dojezdu do cíle se zatočit a vypnout.

Ozobot se ale nemusí striktně držet dráhy. Na povel se otočí vpravo nebo vlevo a jede rovně hledat jinou čáru, případně opustí čáru v přímém směru. Dokáže dokonce počítat, má k tomu hned několik čítačů. Tak například může počítat křižovatky, které na dráze najde, a po přejetí určitého počtu se zastavit. Může počítat odbočení (jízda rovně na křižovatce se neevduje) nebo změnu barvy dráhy (černá se za barvu nepovažuje). Jiný čítač (OZOPIII) je aktivní vždy, nastaví se na číslo 5 a dalšími povely se jeho stav snižuje nebo zvyšuje o jednu. Když dosáhne nuly, robot zastaví. Všechny tyto prostředky v podstatě tvoří jakýsi jednoduchý programovací jazyk zakreslený barevnými políčky na dráze a řídící pohyb.

Pro nakreslení dobře použitelné dráhy na papír úplně stačí formát A4, Ozobot je na prostor velmi nenáročný. Dráhy se dají svinout a uschovat nebo nakreslit přetíže znovu, mohou se vytisknout na počítačové tiskárně, předlohy jsou dostupné na internetových strán-



Obr. 1 a 2. Balení robota



Obr. 3. Barevné povely pro Ozobota



Obr. 4 a 5. Dráhy pro Ozobota

kách projektu <http://www.ozobot.com>. Výhodou papíru je, že lze vytvořit dráhy libovolně složité a velké, ovšem úpravy jsou problematické; nezbyvá, než dráhu překreslit nebo místo přelepit. Při zadávání příkazu je nutné věnovat pozornost tomu, jestli je kód symetrický (přečte se stejně bez ohledu na směr pohybu) nebo jestli symetrický není, pak může fungovat jen v jednom směru a v druhém být nečinný nebo také může znamenat něco jiného!

Máme dobu počítačů a internetu, děti si možná už častěji kreslí na tabletech než na papír. Nevadí, i to Ozobot zvládne. Uživatel si stáhne do tabletu program (je dostupná verze pro iOS i pro zařízení s Andro dem od verze 2.3) a otevře se mu obrovský prostor dalších možností. Program formou krátkých videí názorně naučí, jak zkalibrovat optická čidla, jak nabíjet vnitřní akumulátor nebo jak čistit pohonná kolečka. V jiné části (Tune Up) se přes tablet nastaví časovač pro vypnutí, základní rychlost nebo provede automatické nastavení pohonů. Jednosměrná komunikace probíhá jednoduše postavením Ozobota na vyznačenou plochu a barevným blikáním této plochy.

Pro tvorbu drah na displeji je určen program OzoDraw. Do něj můžeme nahrát již existující připravené dráhy a upravovat je, jiné plní funkci testu či hlavu amu, nebo si nakreslit rukou trať úplně novou. Kromě barevných čar tratě se při dolním okraji displeje nabízejí povely, které můžeme uchopit a táhnout až na místo určení. Povely mají podobnou podobu jako při kreslení na papír, tedy statické sekvence barevných plošek, ale stačí na ně klepnout a změnit je v mnohem variabilnější povely dynamické, které vypadají jako blikající kroužek, v němž se rychle střídají barvy.



Obr. 6. Ozobot na tabletu



Obr. 7. Ozobot zespodu

Dynamické povely z principu fungují vždy stejně bez ohledu na směr jízdy robota. Sekvence barev může být také mnohem delší, takže lze vyjádřit vce různých povelů a Ozobot je umí, jen zatím nejsou všechny zveřejněny a dostupné v aktuální verzi programu pro tablet. Mimo jiné je možné, aby robot vykonával sekvence složitějších pohybů připomínajících tanec. K tomu slouží paměť až na 500 příkazů programovatelných přes barevné kódy, jedním z nich se potom sekvence uložená v paměti spustí. Takto se dají předat najednou (případně podle polohy odděleně) povely celé skupině robotů na displeji a potom je nechat pohybovat synchronně i bez nakreslené tratě. Tato možnost nebyla ještě v době, kdy jsem Ozobota zkoušel, veřejně dostupná, nicméně robot vše potřebné už umí.

Základní výhodou práce s tabletem je pochopitelně to, že dráha se může měnit a upravovat, že povely se dají přesunovat i nahrazovat a že jsou menší, takže je plocha využita lépe. Ozobot při jízdě displej nepoškrábe. Jde zkombinovat i trať nakreslenou na tabletu s trať na papíře, jen je třeba dodržet podobné odstíny barev.

Ozobot se dodává v efektní průhledné krabici, jako příslušenství je přiložen základní pružný návek, redukce z konektoru USB typu A na mikro USB (slouží k nabíjení) a průhledný kroužkový tuhý kryt, který brání poškození i znečištění, můžeme v něm nosit robota třeba

ba i v kapse. Nechybí ani malá vytištěná skládací dráha, kalibrační karta a stručné instrukce. Držák, v němž je robot v krabici uchycen, je určen pro jednorázové použití, ne pro pravidelné ukládání robota, vyjímání jde hodně ztuhá.

Nabíjení po úplném vybití trvalo čtvrt hodiny, v průběhu nabíjení LED cyklicky měnil barvu od červené po zelenou, po nabíjení bliká zeleně. Nabížený robot zvládá nepřetržitě jezdit po dráze 72 minut, podle výrobce má fungovat něco kolem jedné hodiny v závislosti na rychlosti pohybu. Zdroje jsou vybity, když začne LED blikat červeně; as o minutu později se robot vypne.



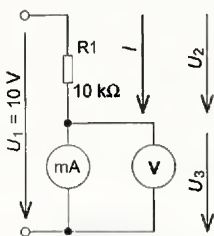
Obr. 8 a 9. Deska s elektronikou, zespodu pak pohon a deska s čidly

Ověřte si přesnost multimetru při měření stejnosměrného proudu

Koupil jsem si digitální multimetr EX 330. Přístroj jsem používal při měření obvodů s malým stejnosměrným napětím do 24 V. Měření napětí bylo přesné. Časem jsem pojal podezření na funkci měření malých proudů v obvodech s malým napětím. Výsledky měření se zdály být divné vzhledem k předpokládaným. Je skutečnost, že při měření v těchto obvodech má znatelný vliv vlastní odpor ampérmetru.

Proto mne napadlo proměřit všechny ampérmetry z domácí dílny. Schéma měření je na obr. 1.

V teoretickém případě by proud protékající ampérmetrem byl $I = U_1/R_1 = 1$ mA. Reálný ampérmetr



Obr. 1. Zapojení pro měření proudových rozsahů multimetrů

má nějaký vnitřní odpor, na němž je úbytek napětí, takže skutečný proud bude menší než 1 mA. Vnitřní odpor voltmetru zanedbávám, je mnohonásobně větší než R_1 .

Naměřené údaje jsou v tabulce 1. První tři přístroje jsou digitální multimetry. Další jsou ručkové s magnetoelektrickým měřicím ústrojím. Typ PU 500 má navíc operační zesilovač.

Vypočtený proud $I_v = (U_1 - U_3)/R_1$ je skutečný proud procházející obvodem. Chyba I_2 je chyba změřeného

proudu proti teoretické hodnotě 1 mA. Chyba I_v je chyba změřeného proudu proti skutečnému protékajícímu proudu. Údaje naměřené hodnoty u přístroje EX 330 nedávají smysl – přístroj je vadný.

Tabulka je poučná i jinak – nejlepší se zdá být starý sovětský ručkový přístroj C4313. Také digitální DT830 D je dobrý, ačkoli je to laciný přístroj koupený v supermarketu. Přístroj UT 71A zdá se být méně přesným. Ale není to tak – naopak je to přístroj vyšší cenové kategorie a vyhovuje deklarované přesnosti. To jenom použité měřicí zapojení zvyrazňuje chyby, což by nás mělo nutit přemýšlet i při zdánlivě jednoduchém měření proudu.

Václav Paleček

Tab. 1. Změřená přesnost několika multimetrů

Ampérmetr	Rozsah (mA)	Zobrazený proud I_z (mA)	Napětí na ampérmetru U_3 (V)	Vypočtený proud I_v (mA)	Chyba I_2 (%)	Chyba I_v (%)
DT830 D	2	1,004	0,21	0,9790	0,40	2,55
	20	0,99	0,0139	0,9985	-1,00	-0,86
	200	1	0,005	0,9995	0,00	0,05
UT 71A	2	0,9495	0,478	0,9522	-5,05	-0,28
	20	0,993	0,0083	0,9992	-0,70	-0,62
	200	0,96	0,0083	0,9992	-4,00	-3,92
EX 330	AUTO	0,0246	9,98	0,0020	-97,54	1130,00
	0000	0,067	9,98	0,0020	-93,30	3250,00
	00,00	2,46	9,98	0,0020	146,00	122900,00
	000,0	6,7	9,98	0,0020	570,00	334900,00
C4313	3	0,99	0,0593	0,9941	-1,00	-0,41
	15	1	0,0126	0,9987	0,00	0,13
UM-3B	1,5	0,95	0,1806	0,9819	-5,00	-3,25
	6	0,96	0,0491	0,9951	-4,00	-3,53
	15	1	0,0204	0,9980	0,00	0,20
PU 500	1	0,98	0,0107	0,9989	-2,00	-1,90
	10	0,95	0,0017	0,9998	-5,00	-4,98
home made	1,5	0,92	0,0855	0,9915	-8,00	-7,21
	3	1	0,0464	0,9954	0,00	0,47
	15	1,1	0,0111	0,9989	10,00	10,12

Kreslení tratě na papír jde bez problémů, je však třeba najít vhodné fixy, které dělají podobné barvy, jako jsou na ukázce. Černá barva nedělá a potíže a dá se zkaližovat, červená se rozpoznává také výborně, horší je to s modrou a zelenou. Například Centropen 8566 má příliš tmavý odstín a barva je vyhodnocována jako černá, jde použít třeba číslo 8559 (na stíratelné tabuli) nebo Centropen 8516. Optimální zelená je „trávnová zelená“ nebo opět ze sady 8559. Některé ze zelených odstínů mají v sobě hodně modré složky a čidlo si je plete. Je také třeba zvýsknout si na to, že povely musí být složené z krátkých čar dlouhých jen asi tak, jako je šířka čáry, a že plošky musejí na sebe navazovat. Hodí se stáhnout si z internetových stránek a vytisknout list

s přehledem barevných povelů, pak už je příprava dráhy snadná. Je škoda, že nějaká malá karta se seznamem barevných kódů není v příslušenství.

Spolupráci s tabletem jsem zkoušel na Samsungu Galaxy Note 10.1. Není příliš velký, ale stačí. Je znát, že výrobek je velmi čerstvý, ostatně i na <https://play.google.com/store>, odkud se stahuje program pro Android, byl záznam jen o řádově desítkách stažení. Ozobot byl zatím k zkušebnímu prodáván především na akcích v USA, volný prodej se teprve rozbíhá (říjen 2014). V programu nebyly ještě všechny sekce (například s hrami) funkční, v době otisknutí tohoto článku by už mělo být množství podstatně více. Pro spolehlivé čtení povelů je lepší na tabletu nastavit jas displeje blízko maxima a vypnout automatické řízení jasu.

Přímě se nabízí i možnosti, které výrobce neuvádí, například vytvořit dráhu pro Ozobota nejen reálnou na papíře nebo virtuální na tabletu, ale také na stíratelné tabuli, která je větší a dovoluje úpravy. Je tu i možnost jezdit na desce, do níž se zapustí třibarevné LED a blízkající povely podle potřeby ovládat (měnit) z počítače. Protokol barevných povelů se může odečíst nebo bude (doufáme) brzy zveřejněn výrobcem.

Tato rozšíření možností nevyžadují žádné změny robota.

Na to, jak je robot malý, je překvapivě odolný, pády maximálně poškrábou kryt. Už samotný tvar kulíčky mu dává tuhost, a když se dítě o něj opře, gumová kolečka se prohnu a robot dosedne na masivní podvozek. Samozřejmě, nevydrží takové zacházení trvale, ale rozhodně se hned tak nerozbije. K čištění pohonu zanesených prachem uplývající na displej opravdu stačí s vypnutým robotem chvíli jezdit dopředu a dozadu po čistém papíře, mechanismus ale není odolný vůči vlhku, vodě, neměl by jezdit po látkách s dlouhými vlásky, po prachu nebo písku.

Ozobot byl vyviněn jako hračka pro děti, která především propojuje virtuální svět se světem reálným, vede k logickému myšlení a kreativnímu přístupu. Martinové původního záměru Ozobot překročil už nyní, vede k zábavně formě jednoduchého programování a s postupným zpřístupněním dalších funkcí (zadávání sekvencí) se možnosti v tomto směru ještě rozšíří. Záměrem dalšího vývoje je umožnit v příští generaci pre-programování mikrokontroléru v robotovi, čímž by se z Ozobota stala pomůcka pro výuku programování a robotiky.



Obr. 10. Fixy pro kreslení dráhy

Navigace u-blox bez omezení

Řešení navigace i v místech bez signálu GPS pomocí kombinace přijímače GPS a gyroskopického senzoru je známá dlouhou dobu a toto řešení nabízí u-blox od roku 2004. Dosud však bylo nutné používat externí podpůrné komponenty, jako je gyroskopický senzor, převodník A/D atd. Toto řešení však mělo několik omezení, která ztěžovala uvedení modulu do praxe: 2D gyroskopický senzor zvyšoval nároky na přesnost montáže jednotky a omezoval inerciální navigaci na dvourozměrnou a integrace s externími komponenty zvyšovala náklady na výrobu jednotky.

S těmito omezeními se vypořádal nový GNSS modul NEO-M8L s rozměry 12,2 x 16,0 x 2,4 mm, který integruje 3D gyroskopický senzor a akcelerometr. Modul nevyžaduje žádné externí komponenty a výrazně tak snižuje nároky a náklady na integraci v samotném přijímači. Kalibrace senzorů probíhá automaticky a je v místech s dobrým signálem nepřetržitá. Integrací 3D gyroskopického senzoru modul rozšiřuje inerciální navigaci na třírozměrnou (obr. 1) a umožňuje osadit jednotku v ja-

kékoliv poloze (řešení s 2D gyroskopickým senzorem vyžadovala striktně horizontální polohu). K úspěchu přispívá také dostupnost senzorů (teplota, zrychlení, úhel) pro uživatelskou aplikaci se 100Hz výstupem.

Modul NEO-M8L je založen na 72 kanálové čipové sadě UBL-M8, která podporuje společný příjem signálů GPS L1, Glonass, BeiDou a korekčních systémů WAAS, EGNOS a MSAS. Aktualizaci pozice lze nastavit až na 20 Hz. Modul má citlivost omezenou na pouhých -160 dBm, aby dosáhl lepších výsledků inerciální navigace. Samozřejmostí je detekce a signalizace rušení.

Třírozměrná inerciální navigace nabízí mimo jiné významné zpřesnění navigace zejména v místech s vysokou zástavbou, zpřesnění měření ujeté vzdálenosti, lepší odhad spotřeby paliva zejména při průjezdu dlouhými tunely (obr. 2) a dostupnost senzorů nabízí také doplňková měření

např. pro sledování nežádoucího pohybu vozidla nebo pro detekci havárie.

Firma u-blox nabízí bezplatné vlastní služby (nezávislé na třetím dodavateli) dostupné ve všech výrobcích GNSS a 2G/3G/4G, jako je asistovaná navigace a to ne jen pro GPS, ale i pro Glonass a také asistenci nezávislou na datovém spojení. Služba CellLocate nabízí doplňkovou navigaci podle vysílačů GSM, jejíž výstupem je poloha a odhad její chyby. Firma má více než 15letou tradici a po celou dobu sleduje požadavky zákazníků v oblasti navigace a komunikace a na základě těchto požadavků přizpůsobuje a určuje trend vývoje. Tento trend společně s technikou podporou a úzkou spoluprací se zákazníky potvrzuje, že u-blox bude spolehlivým dlouhodobým partnerem, který nabídne moderní výrobky na vysoké technické úrovni, které mohou úspěšně konkurovat na trhu.

Obr. 2. S třírozměrnou inerciální navigací lze zpřesnit odhad spotřeby paliva



Obr. 1. Porovnání inerciální navigace s NEO-M8L a standardní navigace GNSS



TEXAS
INSTRUMENTS

maxim
integrated.

ANALOG
DEVICES

ALTERA

intel

PHILIPS
LUMILEDS

CREE

OSRAM
Opto Semiconductors

TE
CONCEPTS

VISHAY

Panasonic

muRata
analog & digital

Coilcraft

Navštivte nás na veletrhu
Ampér 2015, stánek F3.18



cz.mouser.com

The Newest Products for Your
Newest Designs™

Distributor for Semiconductors and Electronic Components

Purchase all the brands design engineers want and trust.
Come to Mouser for what's next from these industry leaders.

Maus Electronics s.r.o.
Autorizovaný partner firmy
Mouser pro Českou Republiku.
K nemoocni 103
251 62 Tahovec
Tel: +420 246 028 101
Fax: +420 246 028 102
Mobile: +420 606 666 053
E-mail: czech@mouser.eu

Authorized distributor of semiconductors
and electronic components for design engineers.

M MOUSER
ELECTRONICS

GAMAalumínium pretvára hliníkový profil na dokonalý produkt...

GAMAalumínium je stabilná spoločnosť špecializujúca sa na výrobu, opracovanie a predaj hliníkových chladičov a hliníkových profilov, ktoré sa uplatňujú najmä v elektrotechnickom priemysle, svetelnej technike a mnohých ďalších odvetviach. Vďaka úsiliu venuje firma pretvoreniu hliníkového profilu na dokonalý produkt, čoho dôkazom je nová rada LED svetidiel.

GAMAalumínium je slovenská spol. bez zahraničnej účasti, pôsobiaca v Žiari nad Hronom od roku 2000. Firma neustále rastie a v poslednom období sa profiluje aj ako výrobca LED svetidiel. Svojou ponukou uličných a priemyselných LED svetidiel, vyhoví zákazníkovi, ktorí požadujú kvalitné technické a dizajnové prevedenie.

Prevádzka firmy sa nachádza vo vlastných priestoroch, ktoré sa neustále prispôbujú potrebám výroby. Firma je vybavená modernými CNC strojmi značky DOOSAN A HURCO. Na delenie materiálu sa používajú jednoduché, dvojkotúčové a automatické píly. Firma disponuje aj robotizovaným pracoviskom, ktoré je osadené zväracím robotom OTC DAIHEN. Touto technológiou doká-

že vyrobiť nadrozmerné chladiče podľa požiadaviek zákazníka. Aby firma vyhovedla potrebám zákazníkov, dodáva chladiče a profily nielen opracované na CNC strojoch podľa dokumentácie zákazníka, ale aj s povrchovou úpravou. To vďaka vlastnej linke pre anodickú oxidáciu – eloxova-



Priemyselné svetidlo GAMABay 40

nie. Štandardne ponúka prírodný a čierny elox, ale v prípade požiadaviek zákazníka dokáže vyrobiť aj modrý, zlatý a červený. Možnosť disponovať týmito technológiami pod jednou strechou upevňuje postavenie firmy na trhu s hliníkovými chladičmi a ich opracovaním. Flexibilita v oblasti obchodu a výroby robí z firmy výborného partnera pre realizáciu požiadaviek zákazníkov.

Firma GAMAalumínium spolupracuje s množstvom svojich partnerov a zákazníkov pri návrhu vlastných chladičov, tzv. zákaznických. V štandardnom portfóliu je k dispozícii viac ako 130 druhov chladičov a postupne uvádza na trh aj profily pre LED svetidlá, ktoré sa v dnešnej dobe tešia veľkej popularite.

GAMAalumínium sa od svojho vzniku vyprofilovala a má dominantné postavenie nielen na Slovensku. Prostredníctvom obchodného zastúpenia sa sortiment firmy predáva v Českej republike, Poľsku, Maďarsku a Holandsku. Firma zabezpečuje kontinuálny rast výroby a predaja podľa špecifických požiadaviek zákazníka, čo potvrdzuje aj neustále pribúdanie nových zákazníkov v Anglicku, Švédsku, Francúzsku, Belgicku, Rakúsku a Taliansku.

GAMAalumínium pravidelne prezentuje svoje výrobky na domácich a zahraničných výstavách ako AMPER Brno, ELO-SYS Trenčín, ELECTRONICA Mníchov a MIDEST Paríž.

Viac o produktoch a službách GAMAalumíniu nájdete na www.gamaaluminium.sk

GAMAaluminium

Gamaaluminium s r.o., Vansovej 3/15, 965 01, Žiar nad Hronom, Slovakia
info@gamaaluminium.sk, Tel/Fax: +421 (0)45 6722 054/55
www.gamaaluminium.sk

- Hliníkové chladiče
- LED svetidlá
- LED profily
- Zákaznicke profily



GAMAalumínium
stánok F 3.11
24. 27.3.2015

TECHNICKÁ LITERATURA

Elektrina v kostce



Barevně ilustrovaná kniha „Elektrina v kostce“ shrnuje záměrně už historické poznatky z řady oblastí v oboru elektrotechniky, které jsou účelně uvedené na pokračování se zmíněním většiny závislostí mezi jednotlivými elektrickými veličinami, které mají základní vliv na vlastnosti a funkce elektrických obvodů.

Začíná ucelenými výklady ze základů elektrotechniky, které pokračují popisem skládání elektrotechnických prvků, a vznikem střídavého proudu a jeho usměrňováním, a pokračují výkladem podstatných vlastností elektrických prvků v obvodech s měřeními všech základních elektrických veličin s matematickými vztahy, fyzikálními zákony, definicemi a jednotkami v soustavě SI.

Autor Václav Zemánek, vydalo nakladatelství BEN – technická literatura ve dvojím provedení s identickým obsahem a cenou:

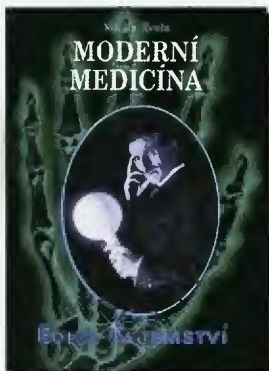
240 barevných stran A5 (na ležato) <http://shop.ben.cz/121355>
120 barevných stran A4 (na stojato) <http://shop.ben.cz/121354>

Vzestupy a pády české televizní techniky hold otčům zakladatelům a vzpomínka na léta tovaryšská

Kniha popisuje nejen vývoj techniky, ale i osudy lidí na pozadí politických karambolů. Vše záviselo na mladých tvůrčích osobnostech, které vzaly prapor a udělaly něco nového. Každý došel kam mu síla a okolnosti dovolily. Pak vzal prapor někdo jiný a zase šel dál. Časem jich bylo víc. Tak tomu je i nyní. I za éry socialismu jsme patřili ke světové špičce. Ambice techniků to stále hnala kupředu. Dočtete se o dramatických pokusech o nezávislé televizní vysílání v době ruské invaze v roce 1968. Také se dočtete se i o tom, jak nekompetentní ideologické rozhodnutí mohou poškodit či zničit celá průmyslová odvětví.

Autor Karel Vambora, vydalo nakladatelství BEN – technická literatura, 248 barevných stran B5, vázané.

<http://shop.ben.cz/121358>



Moderní medicína

Nikola Tesla experimentoval kromě jiného také v oblasti medicínské techniky. Vysokofrekvenční elektřinu využíval například k takzvané elektroterapii. Velkým Teslovým přínosem medicíně je takzvaná mechanická terapie, která bohužel zůstávala dlouho opomenuta. Pro ni vyvinul elektromechanický oscilátor, který několik let zdokonaloval a miniaturizoval. Oscilátorem bylo možné zbavovat například žaludek a trávicí trakt nežádoucích látek a nečistot. Mohl však být využívan i jako účinná prevence vůči většině nemocí.

Adresa knihy na Internetu: <http://shop.ben.cz/235660>

Magnetická smyčková anténa

Oldřich Burger a Marek Dvorský se již dlouho zabývají smyčkovými anténami. Počátkem roku 2015 vyšla jejich barevná kniha.

Adresa knihy na Internetu: <http://shop.ben.cz/121364>

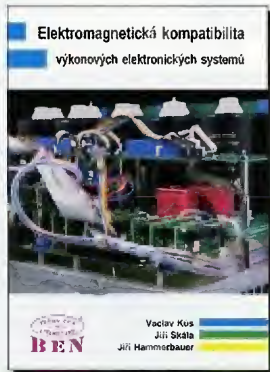
EMC výkonových elektronických systémů

Za poslední dobu vzniklo velké množství nových typů měničů, jejich struktur, změnil se způsob řízení. Obrovsky narostl podíl spotřebičů s malými výkony, jako jsou napájecí zdroje pro výpočetní techniku, domácí elektroniku a světelné zdroje. Požadavkem jsou nyní konstrukce spotřebičů s minimalizovanými vlivy na napájecí soustavu, u velkých výkonů pak komplexní dodávky včetně řešení opatření proti negativním účinkům provozu

pokladičkových zařízení na síť. Proto jsou v knize kapitoly věnovány i této problematice. Jsou uvedeny vlastnosti a výpočty impedancí sítě s ohledem na harmonické. Na základě výpočtu zkreslení je navržena filtrační kompenzační stanice. Při návrhu zařízení nebo při jeho připojení do soustavy musí být akceptovány požadavky z elektromagnetické kompatibility jak v oblasti nízkofrekvenčního rušení, tak i vysokofrekvenčních projevů. Novým jevem je provoz měničů s nejvyšší odolností proti poklesům napětí v napájecí soustavě.

Autoři Václav Kús, Jiří Skála a Jiří Hammerbauer, vydalo nakladatelství BEN – technická literatura, 374 barevných stran B5, vázané.

Adresa knihy na Internetu: <http://shop.ben.cz/121350>



Prodejní místa nakladatelství BEN – technická literatura:

centrála: Věšínova 5, 100 00 PRAHA 10, (pouhých 200 m od stanice metra „Strašnická“)

prodejna a zásilková služba tel. 274 820 211, 274 818 412

Internet: <http://www.ben.cz>, e-mail: knihy@ben.cz

BRNO, PLZEŇ, OSTRAVA – prodejny zrušeny, možnost dodání přes systém Uložka nebo Zásilkovna

TECHNICKÁ
LITERATURA
BEN

Konstrukce gramofonu

Jan Aišman

(Pokračování)

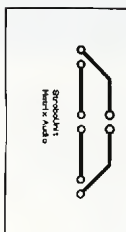
Modul stroboskopu (StroboUnit)

Modul stroboskop je zhotoven ze sklolaminátových desek (viz obr. 28 a výkresy na www.aradio.cz), umístěn je na základnové desce pod talířem. Trojice LED LD1 až LD3 s vysokou svítivostí osvětluje zespoda talíř a pomocí zrcátka se stroboskopické značky přenášejí do okénka v horním panelu. Konektor X1 vede na řídicí jednotku – konektor X4. Schéma zapojení je na obr. 29 a deska s plošnými spoji na obr. 30.



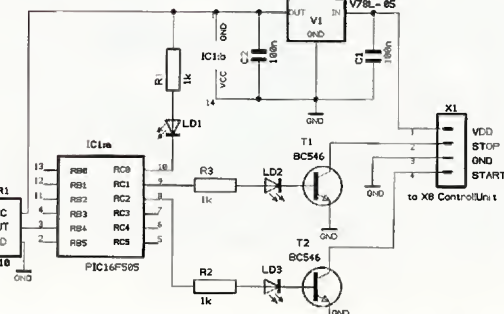
Obr. 28. Stroboskop

Obr. 29.
Schéma
zapojení
modulu
stroboskopu



Obr. 30.
Deska
s plošnými
spoji modulu
stroboskopu

Obr. 31.
Schéma
zapojení
DO



Modul dálkového ovládání (RemoteControl)

Základem tohoto modulu je stavebnice IRR-PIC1, kterou prodává firma Flajzar. Obsahuje přijímač infračerveného záření IRR1 a dekodér ve formě naprogramovaného mikroprocesoru PIC IC1 a pár pasivních součástek. Podrobný popis a návod můžete nalézt v [3]. K této stavebnici jsem doplnil napěťový stabilizátor V1, výstupní tranzistory T1 a T2 a navrhl desku s plošnými spoji. LED LD1 indikuje příjem povelu z ovladače, LED LD2 indikuje aktivaci povelu stop a LED LD3 aktivaci povelu start pro řídicí jednotku. Otevřené kolektory tranzistorů jsou zapojeny paralelně se spínačem „start/stop“. Konektor X1 vede na řídicí jednotku na konektor X8. Schéma zapojení je na obr. 31 a deska s plošnými spoji na obr. 32.

Předzesilovač (ActidampMK4s)

Zapojení tohoto vynikajícího předzesilovače pro magnetodynamickou přenosku je převzato z AR 6/94, strana 20 až 23. Vysocí kvalitní předzesilovač pro magnetodynamickou přenosku Actidamp MK4 konstruktéra Pavla Dudka. Jeho podrobný popis můžete nalézt v [4], proto následuje jen stručný popis.

Korekční obvody jsou pasivní a celý předzesilovač je stejnosměrně vázan. Zapojení obou kanálů předzesilovače je shodné, součástky druhého, levého kanálu mají číselník s indexem 100.

Signál z přenosky je přiveden na konektor X1, pak na dvojité spínač DIP SW1 pro volbu kapacitní složky vstupní impedance, následuje vř. filtr L1, R7, R10, C10, C11, C12, vstupní zesilovač T1, T2, Q1a, zesilovač ak-

tivního tlumení Q1b, servozesilovač Q4a, první pasivní korekce R4, R20, C9, C13, druhý zesilovač Q2a, druhá pasivní korekce R11, C14, druhý servozesilovač Q5a a výstupní zesilovač Q2b.

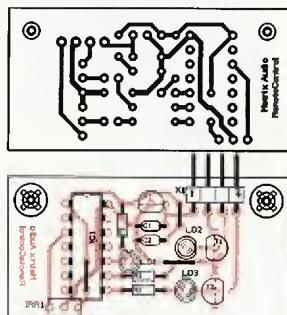
Oproti originálu Pavla Dudka jsem v obvodech předzesilovače udělal několik úprav. V původním zapojení je zesílení výstupního zesilovače Q2b nastaveno naprosto rezistory v obvodu zpětné vazby. Toto zapojení jsem doplnil o čtyřnásobný spínač DIP SW2, jenž umožňuje přepínáním rezistorů R22A až R22D paralelně k rezistoru R22 volbu zesílení v rozsahu od +2 až do +35 dB. Tuto možnost můžeme využít pro optimální přizpůsobení signálůvých úrovní předzesilovače vzhledem k ostatním vstupům připojeného výkonového zesilovače. Na výstup předzesilovače jsem přidal relé RE1, které v režimu „stop“ odpovídá signál na konektoru X2 a připojí ho přes rezistor R34 na zem.

Od originálu se mírně liší i napájecí zdroj. Na konektor X3 je přivedeno střídavé napětí z transformátoru v externí části napájecího zdroje. Následuje můstkový usměrňovač B1 a filtrační kondenzátory C45 až C48, zdroje referenčního napětí s TL431 V51, V52 s výkonovými tranzistory T51, T52. Tranzistory T55, T56, T155, T156 spolu s pasivními součástkami okoř nich tvoří aktivní filtry napájecího napětí a zároveň oddělují napájení levého a pravého kanálu. Schéma zapojení předzesilovače je na obr. 33, jeho zdrojová část na obr. 34 a deska s plošnými spoji na obr. 35.

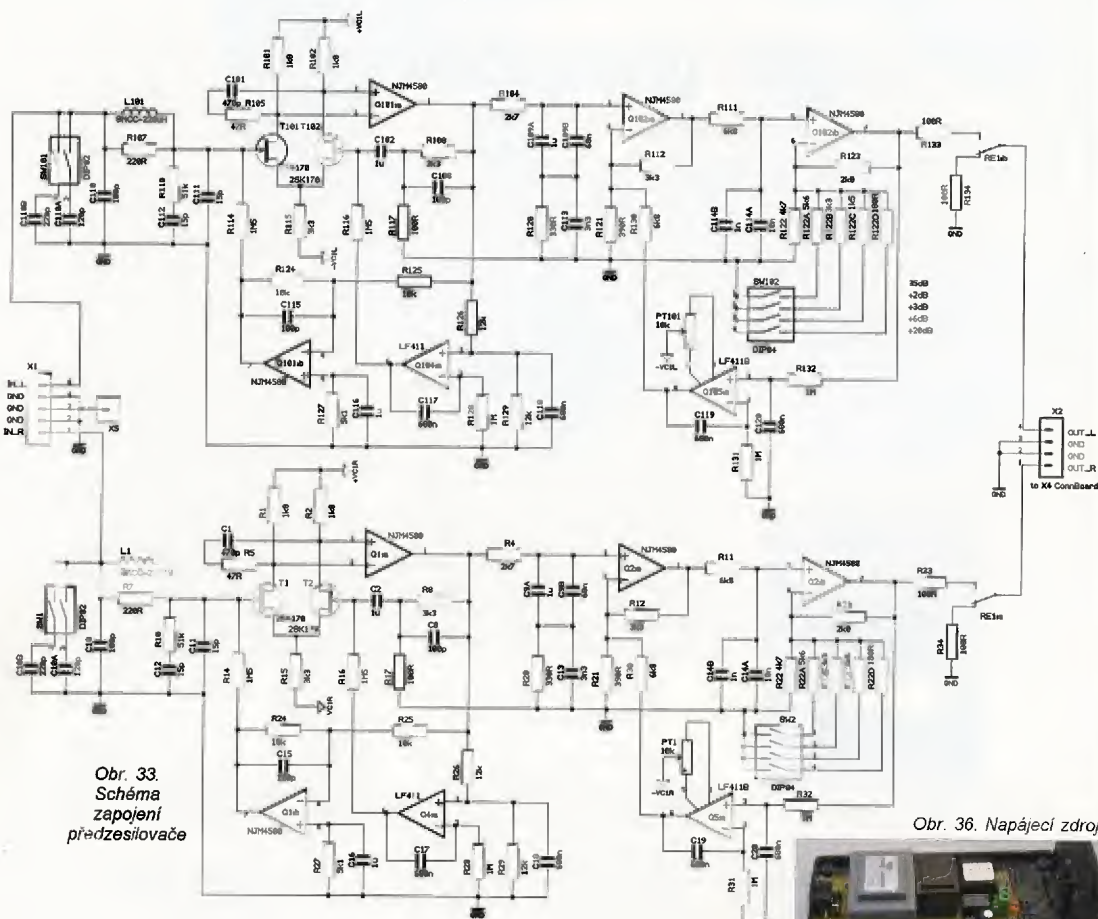
Konstrukční řešení elektroniky

Desky s plošnými spoji (DPS) jsou jednostranné s mnoha drátovými propojkami. Všechny použité součástky jsou běžné, vývodové.

Napájecí zdroj gramofonu je z prostorových důvodů, ale především pro eliminaci přenosu vibrací a rušivých napětí rozdělen na dvě části. Střída-

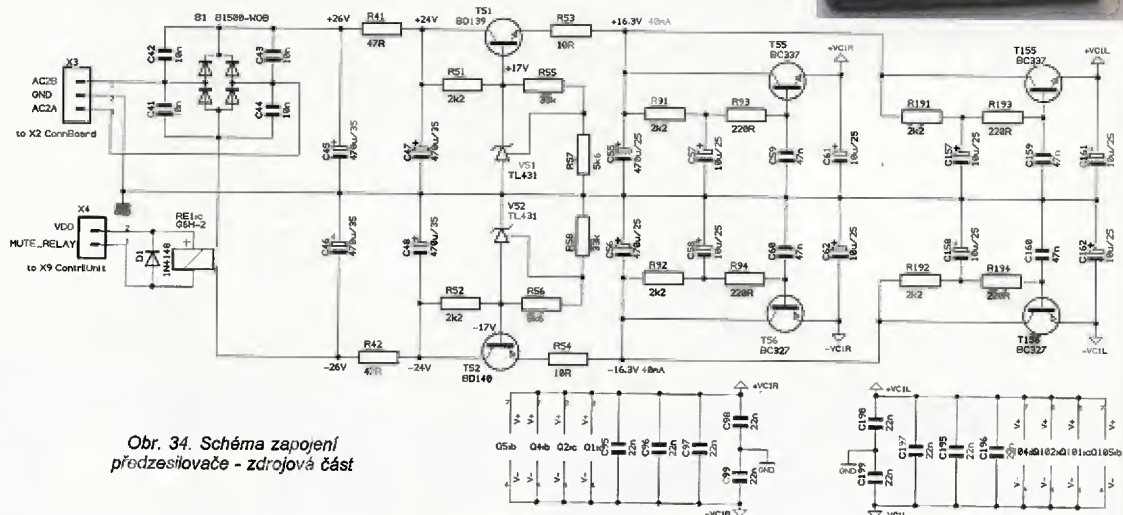


Obr. 32. Deska
s plošnými spoji DO

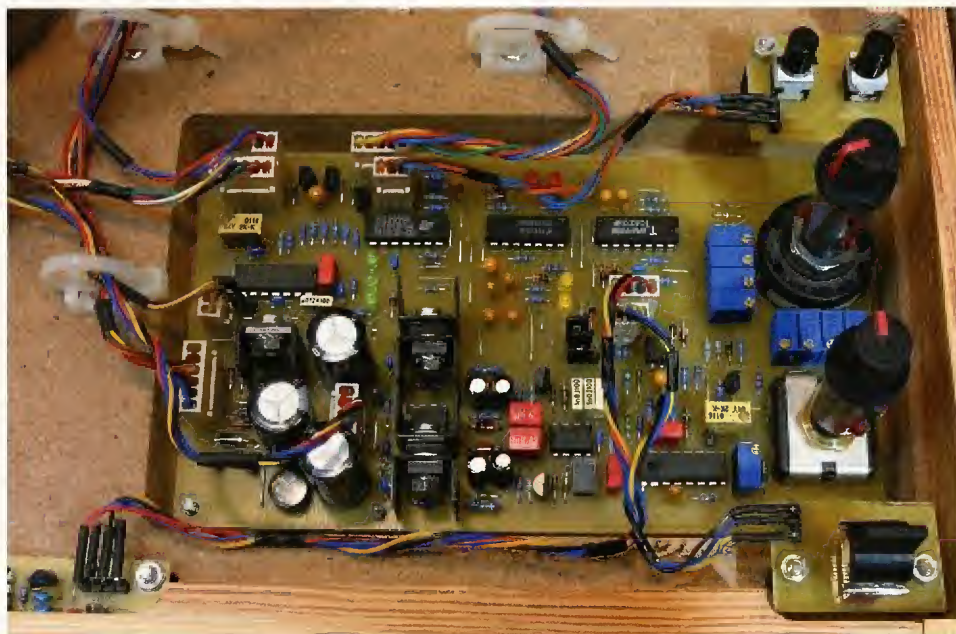
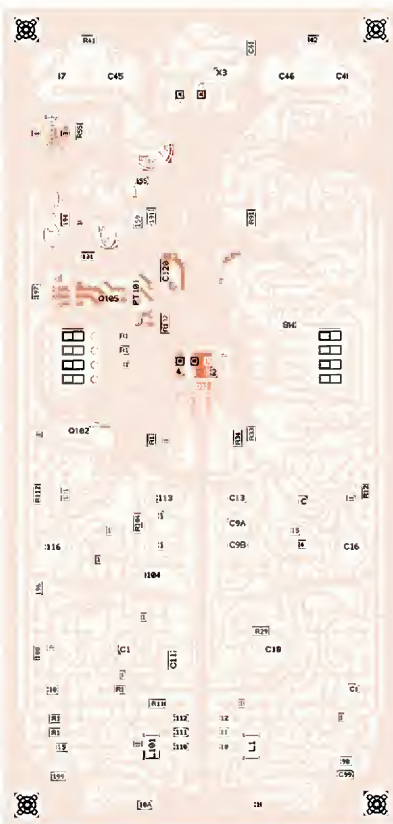
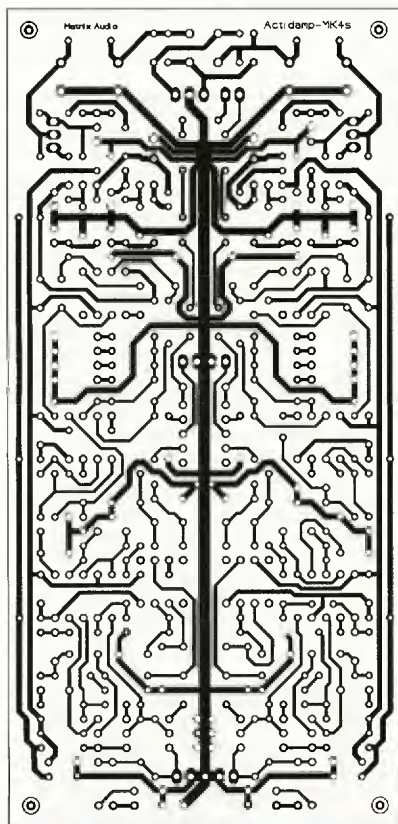


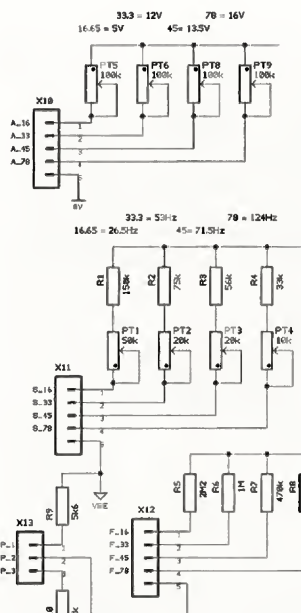
Obr. 33.
Schéma
zapojení
předzesilovače

Obr. 36. Napájecí zdroj



Obr. 34. Schéma zapojení
předzesilovače - zdrojová část





Obr. 38. Schéma změněné části modulu řídicí jednotky

vá část zdroje, tedy transformátor a pojistky jsou umístěny v externí plastové krabici - obr. 36. Stejněsměrná část zdroje, tedy usměrňovač, filtrační kondenzátory a stabilizátory jsou pak osazeny na DPS řídicí jednotky a předzesilovače. Napájecí zdroj je s gramofonem propojen 8žilovým krouceným kabelem zakončeným konektory DIN7P.

Modul řídicí jednotky (obr. 37) je umístěn v přední části gramofonu a přímo na této DPS je kromě jiného i otočný přepínač rychlostí a potenciometr jemné regulace otáček. To by některým konstruktérům nemuselo vyhovovat. Proto jsem připravil i variantu, na které jsou namísto přepínače rychlostí a potenciometru umístěny konektory. Tyto ovládací prvky pak můžeme umístit kamkoliv jinde.

Část schématu, jehož se změna zapojení týká, je na obr. 38, deska s plošnými spoji je na obr. 39.

Periferní moduly jsou propojeny s řídicí jednotkou kroucenými kabely, napevno připájenými na lámací lišty. Spoje jsou zpevněné smršťovací

Obr. 39. Deska s plošnými spoji změněného modulu řídicí jednotky

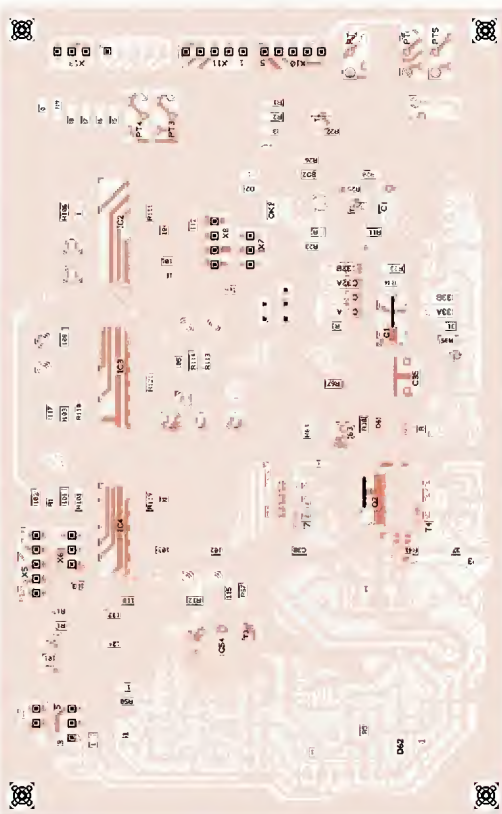
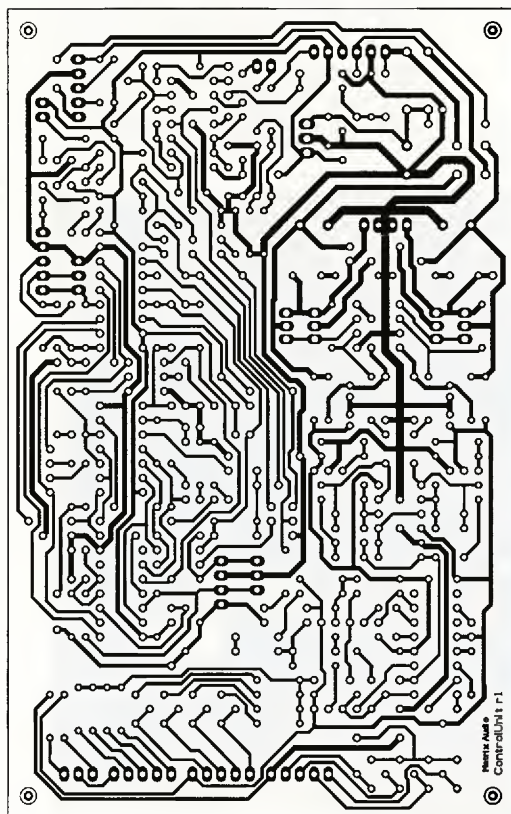
bužírkou (obr. 40 - příště). Na schématech je u každého konektoru odkaz na odpovídající číslo konektoru řídicí jednotky.

Na společný zemnicí bod gramofonu X5 v modulu konektů je také kabelem připojena zdírka na banánek, která je vyvedena na zadní panel. Tímto způsobem můžeme (ale nemusíme) spojit zem gramofonu se zemním bodem připojeného zesilovače.

Předzesilovač je celý uzavřen ve stínící krabici z pocínovaného plechu (na fotografii na obr. 41 je bez víka), pro potlačení elektromagnetického rušení. S DPS konektů a řídicí jednotkou je propojen kroucenými vodiči s konektory.

Tenké signálové vodiče z přenosky jsou uvnitř sloupku raménka upevněny na malé DPS a ven ze sloupku pokračují jako stíněný kabelek zakončený konektorem. V tomto kabelu jsou dva a dva vzájemně zkroucené vodiče (L+, LG a R+, RG) a pátý vodič, který je spojen se zemí raménka a stínícím obalem kabelek. Zemnicí vodič je v konektoru na signálovém vstupu předzesilovače spojen se stínícím krytem přes konektor X5.

(Dokončení příště)



brován laserem při výrobě a kalibrační konstantu nemá.

Pro úplnost dodávám, že programy byly napsány v poslední verzi (8.92) vývojového prostředí MPLAB IDE. Novější MPLAB X IDE se mi neosvědčilo.

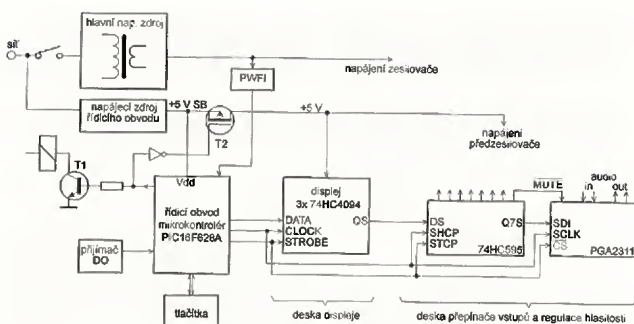
Přijímač DO2

Druhá verze řídícího obvodu pro zesilovač používá k nastavení hlasitosti elektronický attenuátor PGA2311. Dále umožňuje přepínat vstupy, dva páry reproduktorů a má dva volné použitelné jednobitové výstupy. Nastavení regulátoru hlasitosti je zobrazeno na třímístném LED displeji.

Blokové zapojení přijímače DO2 je na obr. 13. Stejně jako u DO1 je použit mikrokontrolér PIC16F628A. K němu je připojeno až 15 tlačítek místního ovládání, IR přijímač dálkového ovládání a obvod detekce napájecího napětí (PWF1). Je zde také přímý výstup (ONSW), který je určen k zapnutí zesilovače a výstup pro LED. K ovládání všech ostatních funkcí slouží sériový výstup. Data se postupně zapisují do sériových posuvných registrů signály DDATA (data) a DCLK (hodiny) a pak najednou přepíší na výstup signálem DSTR. Mikrokontrolér je možné naprogramovat přímo v zapojení pomocí konektoru ICSP.

Použité posuvné registry jsou různého typu. V displeji jsou použity obvody CMOS 4094 (nebo 74HC4094), které umožňují návrh desky s minimem drátových propojek, podobně jako obvod 74HC595 u bitových výstupů. Také obvod PGA2311 se pro data chová jako posuvný registr. U všech těchto obvodů se data do posuvného registru zapisují na náběžnou hranu hodinového impulsu, liší se však funkce signálu pro přepis na výstup. Je-li u obvodu 4094 na vstupu STROBE log. 1, jsou data z posuvného registru okamžitě přepsána na výstup. U obvodu 74HC595 se data přepisují s náběžnou hranou na vstupu STCP. Také obvod PGA2311 přepisuje data z posuvného registru do obvodů řízení zesílení s náběžnou hranou na vstupu CS, vstup CS navíc musí být po celou dobu zápisu dat do posuvného registru v úrovni log. 0. Není těžké napsat rutinu, která umožní zápis dat do všech uvedených obvodů.

Funkce řídicí částí je obdobná jako u DO1. Po zapnutí se objeví log. 1 na výstupu ONSW a program čeká na signál PWF1. Pokud se signál v nastavené době neobjeví, zesilovač se zase vypne. Je-li napájení v pořádku, obnoví se podle informace uložené v EEPROM nastavení vstupů, bitových výstupů a hlasitosti, na displeji se krátce objeví nápis „Hi“ a zároveň se aktivuje MUTE. Po době určené konstantou v programu se znovu MUTE a připojí reproduktory.



Obr. 13. Blokové schéma řídicího obvodu DO2

Při vypnutí se aktivuje MUTE, odpovídá reproduktory a do EEPROM se uloží informace o nastavené hlasitosti, stereovázce, zvolených vstupech, reproduktorech a nastavení bitových výstupů. Na displeji se krátce objeví nápis „bye“ a zesilovač se vypne.

Přepínač vstupů i zde pracuje ve dvou režimech – buď může být zvolen jen jeden vstup, nebo lze vstupy nezávisle na sobě zapínat a vypínat. Nezávislé spínání je zvoleno přivedením úrovně log. 1 na vstup MODE, což lze zařídit např. propojkou mezi piny Vpp a Vdd na konektoru ICSP.

Signálem ONSW se zapíná nejen napájení koncového (případně celého) zesilovače, ale také napájení displeje a případně i předzesilovače.

PGA2311

PGA2311 je stereoфонní regulátor hlasitosti určený pro profesionální a high-end zesilovače, mixážní pulty a další audiozařízení. Zesílení lze nastavit v rozsahu od -95,5 do +31,5 dB v krocích po 0,5 dB. Srdcem obvodu je odporová síť, analogové spínače a kvalitní operační zesilovače. Analogovými spínači se řídí dělicí poměr vstupního děliče a zesílení operačních zesilovačů nezávisle pro každý kanál podle dat zapsaných do posuvného re-

gistru. Zkreslení signálu je typicky 0,0004 %, při zesílení 0 dB je výstupní šum 2,5 µV. Při napájení ±5 V může být rozkmit vstupního a výstupního napětí až ±3,75 V.

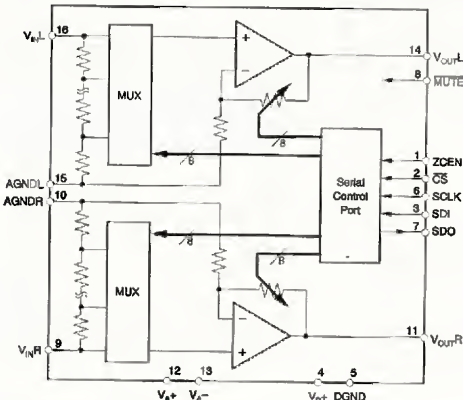
Po zapnutí je na dobu asi 100 ms aktivován „power-up reset“, během kterého je obvod hardwarově nastaven do MUTE a všechny vnitřní klopné obvody se vynulují. Na konci této doby se zkaliňuje napětová nesymetrie a následně nastaví data pro zesílení levého a pravého kanálu na 00h, což je softwarový stav MUTE. Tak to zůstane až do nastavení obvodu řídicím mikrokontrolérem.

Pokud se během normálního provozu napájecí napětí zmenší pod ±3,2 V, obvod přejde do hardwarového stavu MUTE. Když se napětí opět zvětší nad ±3,2 V, obvod vykoná znovu power-up sekvenci. Napájecí napětí nesmí překročit ±5,5 V, pozor je také třeba dát, aby se kladné napájecí napětí pro analogovou a digitální část obvodu nelišilo více jak o 0,3 V. Podrobné informace najdete v katalogovém listě [2].

(Pokračování přístě)

[1] Černý, M.. Řadič ss motoru L9110. PE-AR 11/2014, s. 16.

[2] Katalogový list PGA2311 <http://www.ti.com/lit/ds/symlink/pga2311.pdf>.



Obr. 14. Blokové schéma PGA2311

Antény 2YDD prakticky

Jindra Macoun, OK1VR

Článek navazuje na předchozí dvě části v PE-AR 01 a PE-AR 02/2015 doplňujícími informacemi o napájení a impedančním přizpůsobení spolu s rozměrovými návrhy antén 2YDD na amatérská KV pásma 14 až 50 MHz a VKV pásma 145 a 173 MHz.

Úvodní rekapitulace

Analýza grafů, vyjadřujících vztahy mezi rozměry a elektrickými parametry 2prvkových Yagiho antén, které v roce 1953 publikoval S. Uda [1], blízký spolupracovník H. Yagiho, upozornila na možnost realizaci 2prvkové antény typu dipól-direktor (2YDD) se ziskem $G \sim 6,5$ dBi, a minimální úrovní zpětného záření (ČZZ) > -30 dB, s malou roztečí $s \sim 0,06 \lambda$ obou prvků. Anténa je použitelná tam, kde se uplatní jeden nebo oba zvýrazněné parametry. Např. jako:

- Závěsná jednosměrná anténa na vyšší KV pásma sestavená z drátových vodičů; tam, kde nelze instalovat nebo provozovat otočnou směrovku.

- Zaměřovací anténa na VKV pásmě, kdy se k přesnému zaměření zdroje v signálu využije výrazného a jednoznačného minima v diagramu záření.

- Malá směrová anténa pro přechodná stanoviště např. pro SOTA provoz.

- A pak také tam, kde je žádoucí omezit nepříznivý vliv blízkých objektů (vodičů, budov) za anténou na směrovost a impedanci antény

Pro praktickou realizaci uvedených námětů je nutné kvantifikovat ještě některé rozměry a parametry.

Průměr prvků

Anténa 2YDD vykazuje minimální úroveň zpětného záření s prvky o průměru

$d = 0,01 \lambda$ (např. $d = 20$ mm na 150 MHz) a délkou (nenapájeného, pasivního) direktoru $L_D = 0,448 \lambda$.

Na KV pásmech 14 až 50 MHz by však měly mít vodiče závěsné drátové antény průměr do 2 mm, tj. $\sim 0,0001$ až $0,0003 \lambda$ ($1 \times$ až $3 \times 10^{-4} \lambda$). Aby takto „štíhlý“ direktor působil stejně jako původní „tlustý“ ($0,01 \lambda$), musí být delší, aby se reaktanční složka jeho impedance shodovala s reaktanční složkou původního „tlustého“ direktoru v anténě s optimálním mini mální úrovní zpětného záření.

Vztah mezi optimální délkou (pasivního) direktoru L_D a průměrem d při minimální úrovni zpětného záření antény 2YDD znázorňuje graf na obr. 1.

Fyzická půlvlnná délka napájeného zářiče – půlvlnného dipólu, zhotoveného ze stejného vodiče, zůstane i nadále půlvlnnou.

Použije-li se drátového vodiče s izolací, která jeho elektrickou délku prodlužuje, resp. fyzickou délku zkracuje v závislosti na síle a kvalitě dielektrické (izolační) vrstvy, musí být vypočtená délka korigována. EZNEC-4NEC-2 rozměry vodičů s dielektrickou izolací ve výpočtu délek prvků zohledňuje.

Rozměry antén 2YDD s minimální úrovní zpětného záření pro KV a VKV pásma, přesnější na jejich jmenovitých kmitočtech uvádí tab. 1.

Impedance

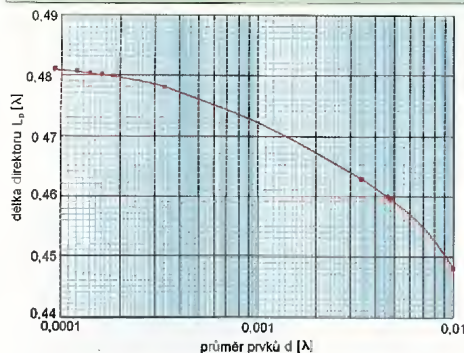
Svorkovou impedanci antény 2YDD ovlivňují délky, průměry i rozteče obou (Al nebo Cu) prvků a následně i výška antény nad zemí. Uvažujeme zatím jen anténu ve volném prostoru.

Demoverze EZNEC vygenerovala spolu se směrovými parametry i dosud nezmiňované parametry impedanci.

Shodou „šťastných okolností“ se každá z antén 2YDD nastavená na minimální úroveň zpětného záření (ČZZ > 30 dB) podle tab. 1 jeví na jmenovitém kmitočtu jako reálný odpor $R_a = 15$ až 17Ω , s nepatrnou reaktanční složkou ($X_a = +j 1$ až 4Ω), tedy se svorkovou impedancí antény $Z_a \sim 16 \Omega$. Spolu se vzájemnou impedancí obou prvků se zde příznivě uplatňuje kompenzační vliv větší elektrické délky napájeného zářiče – fyzicky „půlvln-

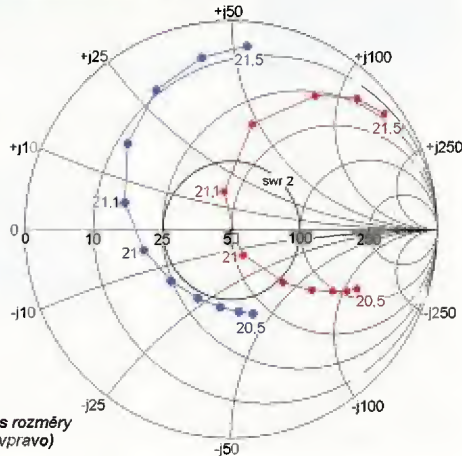
Tab. 1. Platí pro $L_a = 0,5 \lambda$ a $s = 0,062 \lambda$. A – jmenovitý kmitočet v MHz; B – průměr prvků v mm; C – průměr prvků v λ ; D – půlvlnná délka napájeného prvků – dipólu v m; E – délka direktoru v λ (podle grafu na obr. 1); F – délka direktoru v m; G – osová rozteč obou prvků v m; H – šířka kmitočtového pásma v MHz pro ČSV (SWR) < 2 ; I – šířka kmitočtového pásma v MHz pro ČZZ (F/B) > -20 dB. Délky a rozteče prvků v metrech jsou zaokrouhleny na 0,01 m (cm)

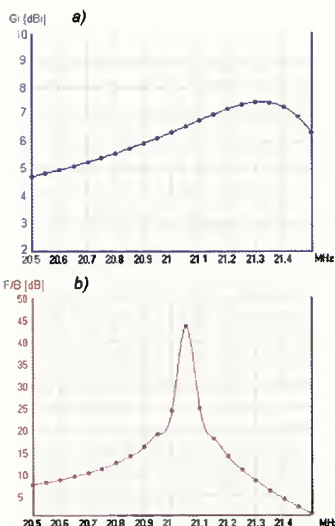
A	B	C	D	E	F	G	H	I
f [MHz]	d [mm]	$\sim d [\lambda]$	L_a [m]	L_p [λ]	L_p [m]	s [m]	Δf SWR	Δf F/B
14,05	2	$9,4 \cdot 10^{-5}$	10,67	0,481	10,10	1,32	0,14	0,1
18,1	2	$1,2 \cdot 10^{-4}$	8,26	0,481	7,97	1,03	0,16	0,15
21,05	2	$1,4 \cdot 10^{-4}$	7,12	0,4807	6,82	0,88	0,22	0,2
24,95	2	$1,7 \cdot 10^{-4}$	6,01	0,4805	5,42	0,75	0,26	0,21
28,05	2	$1,9 \cdot 10^{-4}$	5,35	0,480	5,13	0,66	0,3	0,22
50,1	2	$3,3 \cdot 10^{-4}$	2,99	0,478	2,86	0,37	0,6	0,45
50,1	20	$3,3 \cdot 10^{-3}$	2,99	0,463	2,77	0,37	1,0	0,7
145,0	6	$2,9 \cdot 10^{-3}$	1,03	0,480	0,96	0,13	2,4	1,9
145,0	8	$3,9 \cdot 10^{-3}$	1,03	0,476	0,93	0,13	2,5	2,1
150,0	20	$0,1 \cdot 10^{-3}$	1,0	0,445	0,89	0,12	4,0	2,9
173,0	6	$4,6 \cdot 10^{-3}$	0,87	0,460	0,80	0,11	3,5	2,4



Obr. 1. Délky direktorů L_p [λ] s průměry d [λ] antény 2YDD s minimálním zpětným zářením. Výrazné body odpovídají anténám z tab. 1

Obr. 2. Svorková impedance antény 2YDD na $f = 21,05$ MHz s rozměry podle tab. 1 na Smithově diagramu (programem EZNEC) (vpravo)





Obr. 3. Kmitočtová závislost zisku G (a) a zpětného záření (b) ČZZ (F/B) antény 2YDD na pásmu 21 MHz (programem 4NEC-2)

ného" dipólu, jehož vlastní impedance zde vykazuje zřetelnou indukční složku (např. na 21,05 MHz při fyzické půlvlnné délce dipólu 7,12 m činí jeho vlastní impedance $Z_a = 80 + j45,5 \Omega$).

Za těchto příznivých okolností, kdy jsou všechny antény pod e tab. 1 prakticky „v rezonanci“, je lze na jmenovitých kmitočtech, i v relativně úzkém pásmu poměrně snadno, tj. bez kompenzace reaktanční složky přizpůsobit k 50 Ω napájecí pouhou transformací:

- Čtvrťvlnným kabelovým transformátorem s vlnovou impedancí $Z_0 \sim 30 \Omega$, realizovaným dvojicí paralelních čtvrtvlnných úseků z (miniaturních) 50 Ω a 75 Ω koaxiálních kabelů, stočených do kruhového svazku, který zároveň omezuje nežádoucí povrchové proudy. Svorková impedance tak bude transformována na $Z_a = 56,2 \Omega$ ($= 30^2/16$). Oba čtvrtvlnné koaxiální úseky musí mít shodné dielektrikum, tedy shodný činitel zkrácení.

Budou-li mít oba čtvrtvlnné úseky shodnou impedanci 50 Ω a výslednou pak 25 Ω , bude svorková impedance antény přetransformována na $Z_a = 39 \Omega$ ($= 25^2 \times 17$) s přijatelným $\text{CSV}_{50\Omega} = 1,28$.

- Feritovým transformátorem s poměrem 1:3 ($36 \Omega \rightarrow 48 \Omega$) [2].

- Feritovým transformátorem (tzv. „TV elevátorem“ na dvouotvorovém feritovém jádru vyhovujícím při QRP vysílání) s poměrem 1:4 ($48 \Omega \rightarrow 64 \Omega$ s přijatelným $\text{CSV}_{50\Omega} = 1,26$).

- Na VKV pásmech > 100 MHz lze použít „TV elevátor“ na dvouotvorovém jádru z izolantu (pex).

- Čtvrťvlnné seaktivní (kabelové) transformace mohou užít přizpůsobené kmitočtové pásmo antény. Řešením je pak paralelní kompenzace LC obvod na svorkách antény, který na Smithově diagramu poněkud „stož“ impedance křivku antény kolem středu a přizpůsobené kmitočtové pásmo rozšíří.

- Použití je také napájení antény laděným nízkoztrátovým symetrickým napájecím (např. dvoulinkou ladder line 450 Ω – s elektrickou délkou 0,5 λ , 1 λ ,

Obr. 4. Pohled na závěsnou anténu 2YDD s drátovými prvky. Izolační části jsou znázorněny zeleně (vpravo)

1,5 λ atd.), který svorkovou impedanci antény přetransformuje prakticky beze změny až k TRXu se symetrickým ATU (popř. s některým výše zmíněným obvodem) na vstupu/výstupu. Toto řešení usnadňuje přizpůsobení antény s proměnnou výškou nad zemí na přechodných stanovištích.

Typické parametry antén 2YDD graficky

Na obr. 2 a 3 jsou charakteristické směrové a impedanční parametry antény 2YDD na pásmu 21 MHz, sestavené podle rozměrů v tab. 1. Parametry ostatních antén z tab. 1 mají shodný průběh, včetně minima zpětného záření ČZZ ~ 40 dB a zisku $G \sim 6,5$ dB.

Širokopásmové antény můžeme posuzovat ze dvou hledisek. Z kmitočtové šířky pásma pro $\text{CSV} < 2$ a pro úroveň zpětného záření ČZZ $= > -20$ dB.

Kritičnost rozměru stoupá se štihostí a tím i impedanční širokopásmovostí prvku zejména na (nižší) KV pásmech.

Z impedančních průběhů byly odečteny šířky pásma v MHz pro CSV (SWR) < 2 , ze směrových diagramů pak byly odečteny šířky pásma v MHz pro ČZZ (F/B) > -20 dB. Tyto údaje jsou uvedeny v posledních sloupcích tab. 1.

Ke konstrukci

Relativně malá rozteč obou prvků umožňuje zhotovit KV anténu jako závěsnou jednodrátovou tam, kde nejsou prostorové podmínky pro použití klasické otočné směrovky (obr. 4).

Malou rozteč obou drátových vodičů stabilizují 2 koncové (a 1 střední rozpěrací) izolační trubky, na koncích provlečené izolačními lankami závěsných trojúhelníků. Jejich konce jsou upevněny k malým okům na koncích prvků.

Napájecí kabel, připojený ke svorkám dipólu, resp. k vř transformátoru, je izolované „přikotven“ ke středu (nenapájeného) direktorového prvku, aby se středové zatížení dipólu napájecím rozdělo na oba prvky a zabezpečilo jejich rovnoběžnost, i když uprostřed trochu prolomenou vahou napáječe.

Při instalaci a provozu antény na KV pásmech nelze vyloučit vliv relativně blízké země na vyzářovací a impedanční vlastnosti antény. K této problematice se vrátíme v příštím čísle PE-AR.

Osobní poznámka: V době, kdy jsem připravoval tento článek, jsem se na pražské burze setkal s Markem, OK1JX, který mně sdělil, že již několik let úspěšně provozuje na 2m pásmu dvouprvkovou anténu typu dipól-direktor (obr. 5) dle mého e-mailového návrhu z roku 2006. O několik dní později pak v AR A 8/1987 (!) objevil konstrukční popis principiálně stejné 2prvkové Yagi antény na 145 MHz od Jeromíra, OK1ZN [3], který jsem tehdy přehlédl. Jak se následně při Skype rozhovoru s OK1ZN ukázalo, vzbudil náš profesionální zájem o tuto



Obr. 5. Skládací anténa 2YDD pro pásmo 145 MHz, zhotovená z pokojových teleskopických TV antén

anténu v amatérské literatuře nezmiňovaný článek S. Udy z roku 1953 [1].

A tak v jiných časopisech ani na internetových stránkách zatím nenacházíme žádné informace o této zajímavé anténě.

OK1VR

Literatura

- [1] Ude, S.; Mushiaki, Y.: The Principles and Design of Yagi-Uda Antenna (Part II). Sci. Rep. RITU. Tohoku University, Sendai 1953.
- [2] Kratoška, M., OK1RR: Feromagnetické materiály ve vf obvodech. KE AR 2/12005.
- [3] Závodský, J., OK1ZN: Anténa s minimálními rozměry – 2prvková Yagi. AR A 8/1987, s. 310 – 312.



Neobvyklé použití antény 2YDD na QSL-listku EA3KI z Barcelony



ZE SVĚTA POČÍTAČŮ

Rubriku připravuje ing. Alek Myslik, INSPIRACE, a ek@inspireinfo

SENSODUINO

APLIKACE PRO VYUŽITÍ SENZORŮ
SMARTFONU V ELEKTRONICKÝCH
KONSTRUKCÍCH

Takzvané „chytré telefony“ jsou dnes běžnou záležitostí a obsahují „v kompaktním balení“ poměrně výkonný počítač a řadu senzorů, stejných, které se prodávají i samostatně, a to za mnohem vyšší ceny, jako konstrukční součástky pro elektronická zapojení. Jejich vhodným využitím pro různé elektronické konstrukce s mikroprocesory a mikropočítači, jako je např. populární *Arduino*, lze tak ušetřit značné částky a dost práce.

- 1 - ACCELEROMETER (m/s^2 - X,Y,Z)
- 2 - MAGNETIC_FIELD (μT - X,Y,Z)
- 3 - ORIENTATION (yaw, pitch, roll)
- 4 - GYROSCOPE (rad/s - X,Y,Z)
- 5 - LIGHT (lux)
- 6 - PRESSURE (hPa, mb)
- 7 - DEVICE_TEMPERATURE ($^{\circ}C$)
- 8 - PROXIMITY (cm nebo 1,0)
- 9 - GRAVITY (m/s^2 - X,Y,Z)
- 10 - LINEAR_ACCELERATION (m/s^2 - X,Y,Z)
- 11 - ROTATION_VECTOR (X,Y,Z)
- 12 - RELATIVE_HUMIDITY (%)
- 13 - AMBIENT_TEMPERATURE ($^{\circ}C$)
- 14 - MAGNETIC_FIELD_UNCALIBRATED (μT - X,Y,Z)
- 15 - GAME_ROTATION_VECTOR (X,Y,Z)
- 16 - GYROSCOPE_UNCALIBRATED (rad/s - X,Y,Z)
- 17 - SIGNIFICANT_MOTION (1,0)
- 97 - AUDIO (hlasitost)
- 98 - GPS1 (zem. šířka, délka, výška)
- 99 - GPS2 (směr, rychlost, datum/čas)

Oficiální senzory OS Android



HC-05 Serial Bluetooth

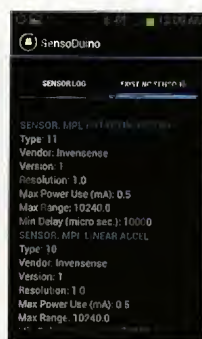
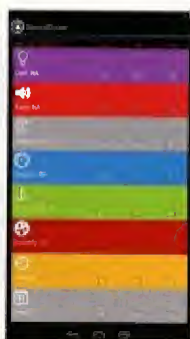
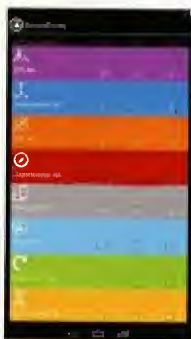


Jeden průměrný mobilní telefon nahradí pomocí aplikace *Sensoduino* celou řadu tzv. „shieldů“, což jsou standardní hardwarová rozšíření populárního mikropočítače *Arduino*.

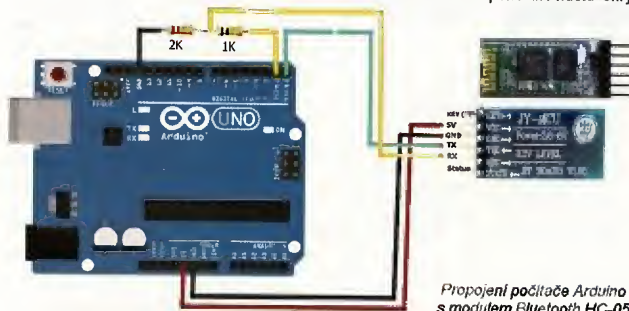
Bylo by ale velice pracné kvůli tomu rozebírat telefony a miniaturní součástky z nich vymontovávat a pak je zapojovat do vlastních konstrukcí. Elegantně, bez rozebírání telefonu a dokonce bez propojovacích drátů se to dá vyřešit s aplikací *Sensoduino*, která umí propojit všechny senzory a další součástky telefonu (i displej, mikrofon, reproduktor

ad) s libovolnou externí hardwarovou konstrukcí prostřednictvím *Bluetooth*.

Aplikace *Sensoduino* zachycuje veškerá data ze senzorů, zabudovaných v mobilním zařízení (telefon, tablet), jako jsou např. GPS, audio, gyroskop ad. a podle vaší volby přenáší potřebná data přes *Bluetooth* do zařízení, která *Bluetooth* podporují (včetně PC); k os-



Aplikace *Sensoduino* zobrazí všechny v telefonu dostupné senzory, jejich vlastnosti, a umožní pohodlné nastavení jejich aktivity a využití mimo telefon



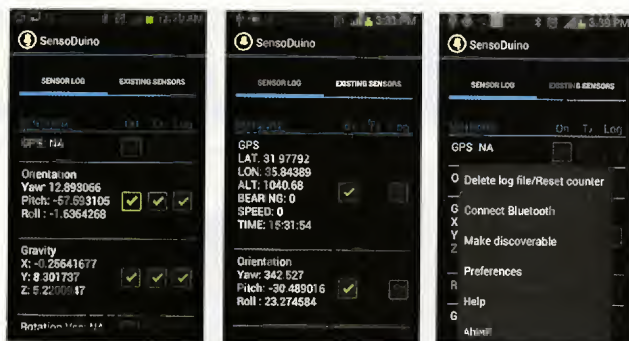
Propojení počítače *Arduino* s modulem *Bluetooth HC-05*

tačním zařízením, jako jsou např. zmíněné *Arduino* nebo různá zapojení s mikroprocesory, stačí připojit jednoduchý a levný *Bluetooth* modul HC-05. Kromě toho *Sensoduino* zapisuje všechna zachycená data do textového souboru (ve formátu CSV) pro jakékoliv další zpracování (např. tvorbu grafů nebo analýzy). V aplikaci lze nastavit interval snímání dat, způsob jejich přenosu i způsob jejich zápisu.

Seznam senzorů, se kterými oficiálně operační systém *Android* pracuje, je v tabulce na této stránce. Nemusí

být všechny v každém zařízení, aplikace *SensoDuino* zjistí a vypíše ty, které ve vašem zařízení opravdu jsou, a jejich vlastnosti. Rozpozná následující senzory (uvádíme anglické názvy): *GPS, Orientation, Gravity, Rotation Vector, Gyroscope, Accelerometer, Linear Accelerometer, Magnetometer, Light Level, Audio Level, Proximity, Pressure, Temperature, Relative Humidity a Time & Date*. Některé softwarové (virtuální) senzory vyžadují přítomnost určitých hardwarových senzorů (jejich údaje se z nich vypočítávají) – jsou to např. virtuální senzory *Gravity, Linear Accelerometer a Rotation Vector*.

Používání aplikace *SensoDuino* je velmi snadné. Zobrazí v jednotlivých řádkách senzory, dostupné ve vašem zařízení, a u každého názvu jsou tři zaškrtnuté čtverečky, označené *On, Tx a Log*. Zaškrtnutím čtverečku *On* senzor zaplníte/vypínáte (tj. určujete, zda ho aplikace bude načítat nebo ne). Po zaškrtnutí čtverečku *Tx* bude *SensoDuino* odesílat data příslušného senzoru prostřednictvím *Bluetooth* do kteréhokoli v párovaného a připojeného *Bluetooth* zařízení. Je-li zaškrtnut čtvereček *Log*, všechny načítané hodnoty daného senzoru budou ukládány do



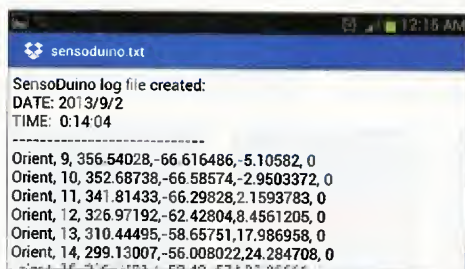
Kromě přehledných nastavovacích obrazovek (na předchozí stránce) umí aplikace *SensoDuino* zobrazovat i okamžitý stav všech senzorů (zapisovaný do textového souboru)

textového souboru (formátu CSV), nazvaného *sensoduino.txt*, v kořenovém adresáři paměťové karty vašeho telefonu (tabletů).

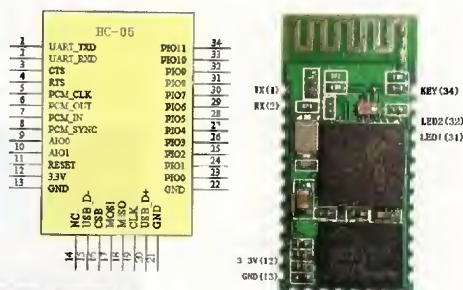
V menu *Preferences* lze nastavit časový interval, ve kterém se budou data načítat (od 10 ms do 10 minut). Je zapotřebí přitom respektovat mezní hodnoty samotných senzorů (např. senzory *GPS* mohou obvykle poskytovat data nejčastěji jednou za vteřinu).

SensoDuino je aplikace náročná na odběr z baterie telefonu (napájení senzorů, vysílání *Bluetooth*, ukládání dat na kartu a udržování zařízení ve „bdělém“ stavu, aby nebylo přerušeno čtení ze senzorů).

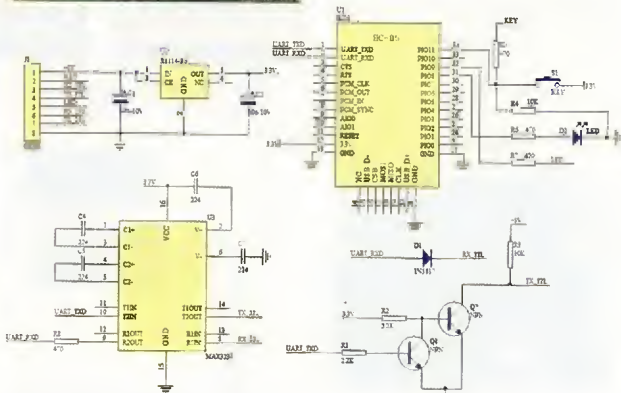
Senzory takto „vyvedené“ z telefonu se často využívají např. při konstrukci různých robotů, do dalekově ovládaných modelů, načtené údaje *GPS* lze přenášet k analýze např. do *Google Maps*.



Příklad zápisu odečítaných údajů senzorů do souboru *sensoduino.txt*



Vzhled a zapojení vývodů populárního a levného modulu *Bluetooth HC-05* pro připojení telefonu do téměř libovolného zapojení



Napájení a ošetření vývodů modulu *Bluetooth HC-05* při zapojování do obvodů

IOIO – OTG

ROZŠÍŘENÍ PRO SMARTFONY

IOIO OTG je rozhraní mezi přístroji s operačním systémem **Android** (telefony, tablety) a externími elektronickými obvody – umožňuje využít v konstrukci výpočetní výkon telefonu (tabletu), jeho dotykový displej i všechny vestavěné senzory jako akcelerometr, kameru, GPS ad.).

IOIO OTG se dá připojit prakticky ke každému modernímu zařízení s OS **Android** přes USB nebo prostřednictvím **Bluetooth**. Pro toto připojení není zapotřebí žádná další aplikace. Zajišťuje ho příslušné softwarové knihovny ve firmwaru **IOIO OTG**. Telefon (tablet) tak lze využít k ovládání různých domácích spotřebičů, osvětlení, elektronických zařízení, při stavbě robotů ap.

IOIO OTG má celkem 46 vývodů použitelných jako vstupy nebo výstupy – jsou jak s otevřeným kolektorem, tak i napětově s interním rezistorem. Napájení je zajištěno z USB portu. K dispozici je 16 analogových desítek b tových vstupů, 9 PWM výstupů, 9 impulsních vstupů, 4 kanály UART, 3 kanály SPI, 3 kanály TWI (kompatibilní s SMBUS, I²C). Kromě vývodů na kolíkových konektorech je k dispozici i 19 vývodů na páječkách po okáích na desce s plošnými spoji.

Z hardwarového pohledu je **IOIO** malá desička s plošnými spoji o roz-



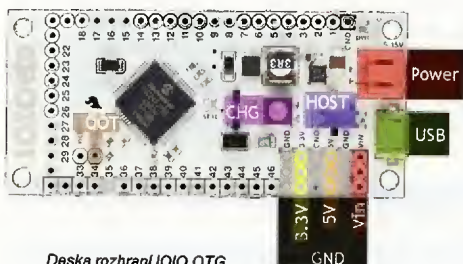
IOIO OTG je rozhraní mezi přístroji s OS Android a externími elektronickými obvody

- vstupy/výstupy (celkem 46 vývodů) – pro praktické využití rozhraní,
- LED červená – svítí, je-li připojeno napájení,
- LED žlutá – obecně využitelná, řízená z aplikací

Oproti předchozí verzi **IOIO V1** jsou hlavními rozdíly USB port s oběma režimy – jako host i hostitel, lepší regulátor 5 V a o dva I/O vývody méně. Jsou také přidány obvody pro čistší analogový výstup a lepší ochranu proti uživatelským chybám. **IOIO OTG** navíc také spolupracuje s PC.

hraje přitom roli, je-li IDEska **IOIO OTG** připojena přes USB nebo přes **Bluetooth**. K programování aplikací v jazyku Java se využívá systém (IDE) **Processing** (www.processing.org), což je zároveň vyšší programovací jazyk, vývojové prostředí a také velká komunita uživatelů.

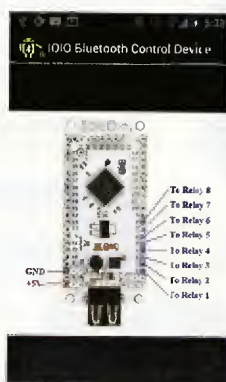
Hardware, software i firmware **IOIO OTG** je volně k dispozici (**Open Source**) bez licenčních poplatků. Vše se průběžně dále vyvíjí. Stačí vždy nahrát aktuální verze softwaru a firmwaru. **IOIO OTG** se u nás prodává za přibližně 1000 Kč.



Deska rozhraní IOIO OTG

měrech 69x31x7 mm, osazená vším včetně potřebných konektorů. Na desičce **IOIO OTG** uvidíte:

- USB konektor (micro-AB, female), pro připojení k PC, přístroji s OS Android nebo adaptéru Bluetooth,
- napájecí konektor (2-pin JST, female), pro napájení desky napětím 5 až 15 V,
- uzemňovací kolíky (celkem 10),
- vývody VIN (3) pro poskytování přiváděného napájecího napětí dalším připojovaným obvodům,
- výstup 5 V – stabilizovaný výstup z regulátoru, pro napájení připojených elektronických obvodů,
- výstup 3,3 V – stabilizovaný výstup z regulátoru, pro napájení připojených elektronických obvodů,



K ovládání vývodů a funkcí IOIO OTG slouží jednoduché aplikace



Na rozdíl od mnoha jiných řešení, která obvykle vyžadují dvojí software – jeden na ovládacím a druhý na ovládaném zařízení – **IOIO OTG** potřebuje pouze aplikaci v **Androidu** (tj. na ovládacím zařízení), která již umožňuje přímo ovládat jednotlivé vývody a funkce na **IOIO OTG** a dává tak pocit, jakoby tyto vstupy a výstupy byly přímo integrovanými součástmi chytrého telefonu (nebo tabletu). Díky tomu se snadno a rychle vyvíjejí a testují různé prototypy. Ne-

NOVÝ MINIPOČÍTAČ MK MK902 II

MK902 II je představitelem nejnovější generace minipočítačů známé řady MK (s čipy Rockchip) s operačním systémem **Android**. Je osazený čtyřjádrovým procesorem RK3288 s taktem až 1,8 GHz, který je jedním z prvních procesorů ARM Cortex-A17 na trhu, a disponuje novým grafickým čipem Mali-T760 (OpenGL ES 1.1/2.0/3.0 a OpenCL 1.1), který přináší do MK podporu pro videa 4K x 2K H.265. Počítač má 2 GB operační paměti DDR3, což je pro tento procesor nutné minimum. Je vybaven nejnovější verzí operačního systému **Android KitKat 4.4** s předinstalovaným populárním multimediálním

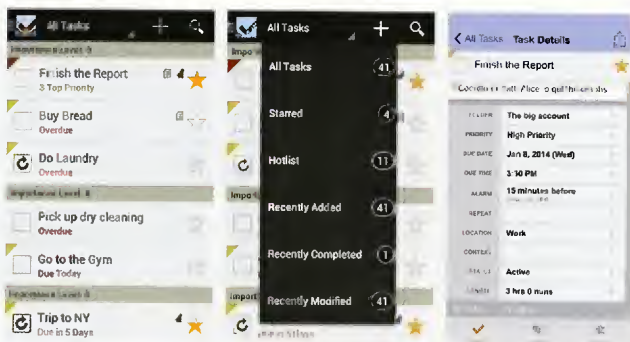


Minipočítač MK902 II

centrem **XBMCC**. Video výstup HDMI 2.0 umožňuje připojení k 4K UHD televizoru, pro výstup zvuku má i digitální výstup S/PDIF. Lze přehrávat video formáty MPEG 1, MPEG 2, MPEG 4, H.263, H.264, H.265, AVS, VC1, RV, VP6/VP8, MVC (1080p) Sorenson Spark, MVC až 4k-2k/60 fps a audio formáty MP1, MP2, MP3, WMA, WAV, OGG, OGA, APE, FLAC, AAC, M4A, 3GPP a další (DTS a Dolby Digital), podporován je Flash v. 11.1.

MK902 II má zabudovanou paměť 8/16 GB a podporuje paměťové karty microSD až 32 GB. Má připojení pro LAN 1 Gb/s (RJ45), WiFi 802.11b/g/n 2,4 GHz/5 GHz a Bluetooth 4.0. K dispozici jsou 3+1 porty USB.

Minipočítač **MK902 II** se napájí z externího zdroje 5 V/2,5 A, má rozměry 97x97x28 mm a na našem trhu se prodává za cenu okolo 3500 Kč.



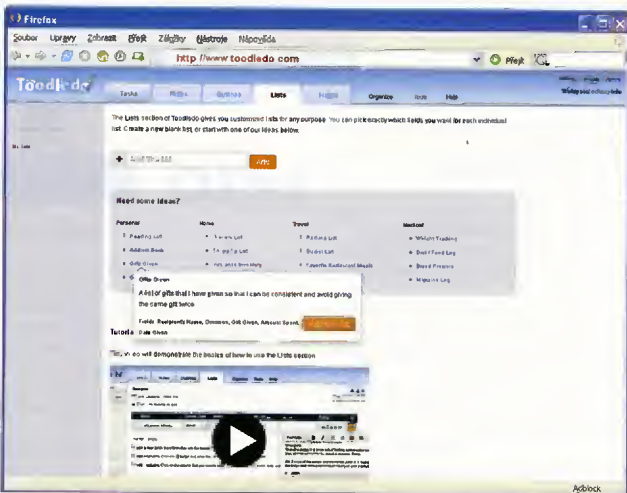
TOODLEDO JAKO APLIKACE

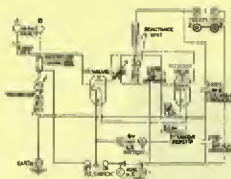
Všestranný multifunkční nástroj pro zvýšení produktivity v práci i v osobním životě **Toodledo** (viz webová verze níže) poskytuje jediné místo pro udržování různých kalendářů, poznámek, seznamů, adresářů, projektů a úkolů. Lze v něm používat i populární metodu GTD (*Getting Things Done*) amerického kouče Davida Allena. V aplikaci můžete nastavovat a sledovat priority úkolů a jejich termíny, přidělovat úkoly k jednotlivým projektům a akcím, ale také jednotlivým spolupracovníkům, označovat je klíčovými slovy a poznámkami a připojovat k nim i soubory. Vše lze libovolně řadit, řadit, filtrovat a vyhledávat. Všechna uložená data jsou trvale synchronizována mezi jednotlivými přístroji. Aplikace pro OS **Android** je ke stažení na <http://play.google.com/store/apps/details?id=com.kiwiml.mytoodledo&hl=en>.

TOODLEDO V PROHLÍŽEČI

<http://www.toodledo.com>

Toodledo je populární všestranný multifunkční nástroj pro zvýšení produktivity v práci i v osobním životě. Poskytuje jediné místo pro tvorbu a udržování různých poznámek, seznamů, adresářů, projektů a úkolů. Cokoliv z toho lze sdílet s vymezeným okruhem přátel, rodiny nebo spolupracovníků a lze jím do důležitých částí umožnit i aktivní přístup. Jednotlivé položky je možné řadit podle důležitosti, nastavovat časové limity i alarmy (upozornění). K úkolům a akcím se dají připojovat i potřebné soubory. **Toodledo** lze ve značné míře upravit podle vlastních potřeb a ve všech oddílech lze snadno vyhledávat. Aplikace je přístupná z webového prohlížeče z kterékoliv platformy a má své aplikace i pro chytré telefony s operačními systémy **Android** i **iOS**.





RÁDIO „HISTORIE“

Zenith – proslulý výrobce „transoceánských“ přijímačů

Ing. Jan Lexa

Tento příspěvek se pokusí přiblížit historii firmy, která během své činnosti dala na trh desítky stále modernizovaných přenosných krátkovlnných (KV) přijímačů, jež byly populární u profesionálů i radioamatérů a dnes jsou ve sběratelských kruzích velmi ceněny. Nebude zde řeč o ostatních výrobcích této americké firmy, těch bylo za ta léta vyvinuto více než 3000 typů a modelů.

Ve třicátých letech minulého století byl krátkovlnný rozhlas již na dosti vysoké úrovni a skoro každá země měla jeden nebo více krátkovlnných rozhlasových vysílačů. Byla to jedna z forem, jak třeba posluchačům v koloniálních zemích zajistit příjem aktuálních informací a zábavy z „mateřských“ zemí. Na trhu byly sice komplikovanější přijímače pro KV amatérské vysílače, ale běžný posluchač měl obvykle k dispozici přijímač vybavený jen jedním KV pásmem, což byl pro dálkový příjem nedostatečný. U dobrého KV přijímače se předpokládá, že bude mít rozložená pásma, dostatečnou citlivost, nastavitelnou šířku pásma, dobré potlačení zdrojového kmitočtu, vyrovnávací úniku apod. V Evropě se na trhu v té době také objevovaly „přenosné“ KV přijímače třeba v Německu od firem Braun, Blaupunkt, Korling, Nora a Rad one. Přiliší populární tyto 10 – 20 kg těžké „bedny“ (s bateriemi) nebyly. V samotných USA velký zájem o speciální KV přijímače přišel nebyl, protože tam víceméně stačily střední a dlouhé vlny a posleze i FM na VKV. Zájem měl hlavně cestovatelé v různých expedicích do vzdálených končin nebo na

lodích, kde příjem informací a zpráv o počasí byl poměrně důležitý. Jedním z nich byl také prezident pozdější společnosti Zenith a „velitel“ Eugene F. McDonald, který často cestoval.

Založení firmy Zenith

E. F. McDonald byl už za mlada úspěšný obchodník. V šestadvaceti prodával auta a koupě zprostředkoval přes banky. Předtím se platilo výhradně hotově, takže v roce 1912 už vydělal milion dolarů. Necelých deset let na to, v r. 1919 se připojil k laboratorii Chicago Radio Laboratory (CRL) s dvěma pracovníky, kteří stavěli přijímače pro radioamatéry a vlastnili koncesi na stanici 9ZN, z čehož vznikl název Zenith (Z-Nith). McDonald si velmi brzy uvědomil komerční význam radia a také Armstrongovy licence na zpětnou vazbu, kterou společnost koupila, a získané peníze z aut investoval do této společnosti.

Jeho autokratické chování v této zatím malé společnosti mu vydobýlo přezdívku Commander (Velitel). Dá se říci,

že teprve v r. 1924 se dá mluvit o Zenithu, protože v té době založil společnost Zenith Radio Corp. Měl úspěšný ekonomický náběh, kdy na trh přišel první přijímač Super Zenith a přenosné rádio Companion. V roce 1924 McDonald přemluvil polárního badatele McMillana, aby si na své cesty vzal právě rádio Companion (snad první přenosné rádio na světě). Na expedici si vzal i vysílač od firmy Zenith. Expedice byla tak v trvalém styku s domovem, a to hlavně s firmami stanicí WJAZ.

Samozřejmě toho firma velmi dobře využila pro svoji propagaci. Firma Zenith využívala pro svoji propagaci všemožné s ogany jako např. na této reklamní stránce (obr. 1). McDonald jezdil na své jachtě Mizpah na dobrodružné „výlety“ do vzdálených končin Kanady a ze začátku neměl s sebou žádný vhodný přijímač. Je zajímavé, že až v r. 1939 uložil své laboratorii, aby vyvinuli nějaký univerzální a citlivý krátkovlnný přijímač pro tyto účely. Bylo vyvinuto 20 variant prototypů, které jím byly vždy odmítnuty. Teprve v r. 1941 mu dva exempláře vyhovovaly, z nichž jeden dostal i McMillan a ten s ním byl na svých výpravách velmi spokojen. Na podzim 1941 dává McDonald tento model do výroby a již v lednu 1942 je první Trans-Oceanic 7G605 na světě a na trhu.

První Trans-Oceanic 7G605

První model řady Trans-Oceanic (obr. 2, 3) se hned vyznačoval celou řadou výjimečných vlastností. Pro krátkovlnný příjem byl přijímač vybaven teleskopickou anténou, vykládanou rámovou KV anténou (Shortwave Magnet) a konečně dodatečnou anténou Wave Booster pro supercitlivý příjem. Pro střední vlny (SV) sloužila buď vestavěná rámová anténa, nebo středovlnná Wave Magnet. Jak Shortwave Magnet, tak anténa Wave Magnet mohla být za dlouhé cesty vlakem upevněna na okně (antény jsou vidět na zadní stěně radia na obr. 3).

Přijímač byl vybaven SV a pěti KV pásmy (49, 31, 25, 19, 16 m). Dlouhé

★ NEW NO. 59 TUBE ★

Again Zenith adds a major development, making 59 contributions to radio progress. Again Zenith leads the rest.

New 59 Zeniths employ the latest development in power tubes... the 59 with 7 prongs. A Cathode type, it combines the advantages of all former filament type of power tubes with none of their disadvantages. It also combines the advantages of both "A" and "B" type of amplification in this new great "AAA" circuit. It gives great power without distortion even at lower volume. It eliminates hum.

This is only one feature in the first ALL-STAR Radio Line.

Here at last, are the new Zeniths which Zenith is also offering, with a record of 38 major revolutionary radio improvements, have been working through 27 years of development and building fine sets. Here are the sets superior not only in the present but in all ALL-STAR sets. No set previous to this one has been... through all the years of history Zenith the only manufacturer who has made so much substantial progress in the past 27 years.

THE NEW ZENITH PRICES ARE LOWEST IN HISTORY... IT COSTS NO MORE TO OWN A ZENITH THAN A MEINOWE RADIO.

Model 230 - \$55.25



⇒ Obr. 1. Na této reklamní stránce hledá Zenith každého, kdo může demonstrovat nějaké vylepšení, které nemá tento přijímač



Obr. 3. Pohled dovnitř přijmače Trans-Oceanic TG605 a na jeho antény Shortwave Magnet a Wave Magnet, umístěné v zadním víku



Obr. 4. Údajně nejkrásnější model Trans-Oceanic G500 z pohledu sběratelů z r. 1949/50, kdy stál 99,95 \$. Dnes na burzách až 300 euro. Vzhledově se jen nepatrně liší od 8G005

vlny, málo v USA používané (na rozdíl od Evropy), nebyly vestavěny. Pro střední vlny pracoval superhet jako sedmiobvodový, ale pro KV jen šestiobvodový, přičemž vstupní cívky byly nařaděny na střed pásem (6 – 6,5 MHz, 9,4 – 9,8 MHz, 11,7 – 11,9 MHz, 15,1 – 15,3 MHz, 17,6 – 18 MHz) a kondenzátorem se ladil jen oscilátor. Tento způsob zapojení nebyl už v následujících modelech používán. V přijímači byly použity relativně nové lokátové elektronky se žhavením 1,5 V. Na předstupni byla 1LN5, směšovač 1LA6,

oscilátor 1LE3, mezifrekvence a detektor 1LN5 a 1LD5, koncový výkonový zesilovač 3Q5G. Usměrňovací elektronkou při napájení ze sítě 117 V byla 117Z6G. Přijímač charakterizovala také možnost upravit nízkofrekvenční charakteristiku pomocí čtyř posuvných přepínačů Radio-organ. Jejich kombinací šlo nastavit 16 různých charakteristik zvuku.

Tento způsob byl tak úspěšný, že byl použit i u dalších elektronkových modelů. Přijímač měl kulatou stupnici a odnímatelný přední ochranný kryt. Přijímač v té

době stál 75 \$, což odpovídá dnešním více než 700 \$ z hlediska kupní síly. Tento přijímač Transoceanic Clipper (jak se později nazýval) byl vyroben v počtu 35 000 ks.

Firma dostala objednávky na dalších 100 000 ks, ale zapojením USA do druhé světové války musela výroba přejít na vojenský program. Přijímače se kvůli válce dostaly do nejrušnějších dílů světa a jejich majitelé oceňovali jejich robustnost a spolehlivost.



Obr. 6. Trans-Oceanic H500, nejznámější model z let 1951/53, stál 124,25 dolarů a bylo ho vyrobeno 254 544 kusů. Existovala i vojenská verze R-520/URR

Obr. 5. Reklamní stránka z r. 1949 na přijímač Trans-Oceanic G500 (vlevo)

8G005 a G500 v poválečné době

Rok po válce (1946) se objevil model 8G005 s lepší citlivostí, rozšířením a kvalitou zvuku. Těchto vzhledově nových přijímačů (byl velmi podobný dalšímu modelu G500) bylo prodáno 130 000. Byl také osazen loktalovými elektronkami, měl sedm laděných obvodů pro SV a KV a push-pullový koncový stupeň se dvěma elektronkami 1LB4.

S nástupem miniaturních elektronek přišel na trh i nový model Trans-Oceanic G500. Osazen byl jen 5 elektronekami (1U4, 1L6, 1U4, 1U5, 3V4) a selenovým usměrňovačem pro napájení. KV pásma byla identická s předchozími modely a koncový push-pull už zde použit nebyl. Těchto přijímačů bylo prodáno 90 000 ks. Menší odběr miniaturních elektronek zajistil i delší provoz z baterií (obr. 4 a 5).

Mezi sběrateli nejznámější model H500

Jedná se o snad nejznámější model (obr. 6), protože jich bylo vyrobeno přes čtvrt miliónu a navíc verze R-520/URR pro vojenské účely. U tohoto modelu bylo vynecháno pásmo 49 m a místo toho nastoupila dvě pásma 2 – 4 a 4 – 8 MHz, takže přijímač měl celkem 7 pásem. Američané zřejmě více preferovali tzv. tropické pásmo 3 – 5 MHz, kde poslouchali zprávy o počasí a navigační zprávy pro námořní plavbu.

Poslední elektronkové série 600

Tato série odstartovala v roce 1954 a postupně bylo vyvinuto několik variant, jako L600, R600, T600 (obr. 7), Y600, A600 a B600. Místo kulaté stupnice nastoupila vodorovná lineární stupnice. Napájení bylo částečně stabilizováno elektronekou, aby byl při napájení ze sítě stabilnější příjem. Prodalo se opět více než čtvrt miliónu těchto přijímačů. Konkurenční firma Hallicrafters byla touto sérií

tak okouzlena, že do svých modelů World-Wide Dynamic Tuner v podstatě převzal celý přijímač. Převzala stejné elektronky, stejné rozsahy, Radioorgan a dokonce celkové provedení. Přidali si navíc dlouhé vlny pro navigaci a stupnici prodloužili na celou šířku přijímače. Hallicrafters vypadal pak mnohem solidněji než jeho vzor.

Royal 1000, 3000, R7000, tranzistorové provedení a konec legendy

Čas běže a tranzistory začínaly dobývat svět. Typ Royal 1000 (obr. 8) se stal v r. 1957 prvním modelem Trans-Oceanic plně osazeným tranzistorem. Nebyl zrovna nejlevnější, stál 250 \$. V té době se ještě prodával elektronkový model ze série 600 za 140 \$. I přes tuto cenu se jich prodalo přes 165 000. Tranzistory by v objímkách a zapojení bylo ještě stále ručním „drátováním“, jak je možné vidět na obr. 9. V r. 1963 přichází na trh velmi podobný Royal 3000, který měl konečně VKV (FM) rozsah a těch se prodalo 83 000. Byl o něco dražší než předchozí model.

Konec legendy Trans-Oceanic představoval v r. 1979 poměrně drahý (379 \$) model R7000 (obr. 10), který měl BFO a regulaci vliv citlivosti pro CW a SSB. Tento model měl oproti předchozím modelům průběžně všechna pásma od dlouhých vln až po VKV s jemným mechanickým doladěním. Do roku 1981 bylo vyrobeno 25 000 ks, z toho už část na Tchaj-wanu. Obsahovala i integrované obvody.

Tento poslední model byl přebit konkurencí, protože např. Sony přišla se stejně drahým modelem ICF-2001 s frekvenční syntézou, číslicovým displejem, přitom vše řízené mikroprocesorem. Navíc disponovala i automatickým laděním a jeho rozměry byly zhruba poloviční, což bylo zákazníkovi dobře přijato.

Podíváme-li se na legendu Trans-Oceanic z hlediska sběratelů, tak i vzhledem k poměrně velkému množství vyrobených kusů za celou výrobní éru (1941 – 1981) dojdeme k závěru, že jsou dnes



Obr. 7. Model T600 z let 1954 – 1962 za 139 \$. Vyrobeno bylo 269 099 kusů

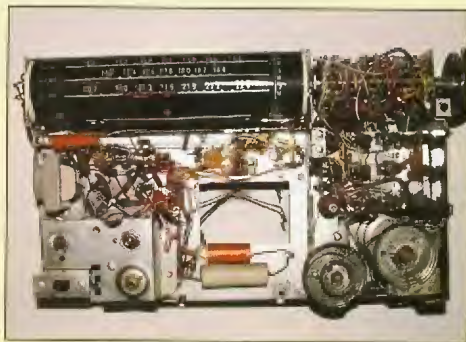
celkem zřídka dostupné, a když, tak jejich ceny se pohybují kolem 300 euro. Přesto je nutno zdůraznit, že to byly první přenosné „světové“ přijímače před Grundigemem Satellit (1965) nebo Braunem T-1000 (1962). Elektronková řada Trans-Oceanic by navíc dlouhou dobu bez konkurence.

Pramen

Volně podle: Bickner, K., H.: Weltempfänger Zenith „Trans-Oceanic“. Funkgeschicht e. č. 110, 1996



Obr. 10. R7000 z let 1979 – 1981, cena 379,25 \$, vyrobeno 25 000 ks



Obr. 9. Vnitřek přijímače Royal 1000

Obr. 8. Royal 1000 z let 1958 – 1967, cena 250 \$, vyrobeno 165 721 ks (vlevo)

Technika SSB na mikrovlnných pásmach

Pavel Šír, OK1AIY; oktaiy@comanet.cz

(Volné pokračování seriálu „Technika SSB na VKV před 50 lety“)

V polovině sedmdesátých let minulého století už technika a materiálové možnosti dosáhly takové úrovně, že bylo možné experimentovat s SSB provozem i na mikrovlnných pásmach. Nejnižší pásmo je 23 cm, a tak se první konstrukce soustředily sem, kde na jinak širokém pásmu k tomu byl mezinárodně vyhrazen úsek 1296 až 1298 MHz.

„Bastlení“ bylo časově i materiálově náročné a muselo se dělat z toho, co bylo. Každý konstruktér postupoval individuálně, vzájemná konzultace fungovala a formou přednášek na pravidelných seminářích i článků v technických časopisech. Tak jako v předchozím popisu o SSB na VKV popíšu zde, jak jsem se s tím „potýkal“ sám a ostatní konstruktéři to mohou srovnávat se svými pracovními postupy. Přesnější souvislosti si po těch letech již nelze ani pamatovat – události v tomto období proběhlo mnoho a údaje by byly zcela jistě nepřesné. V popisovaném období i následujících letech se však přímo dramaticky urychloval pokrok jak v „profi sféře“, tak v našich konstrukcích, ale i jiných s tím souvisejících činnostech. Pro správné pochopení někdy použiji příkladů, které přímo s SSB nesouvisí, ale ukazují, jak se události vyvíjely a formovaly i naše snažení. Některé z nich jsou dnešním pohledem úsměvné, ale rozhodně nepokazí kolorit těch starých časů...

Jak se tenkrát na pásmu 23 cm pracovalo

Úvodem se ale vraťme do 60. let minulého století a přibližně čtenářům, s jakou technikou se tenkrát pracovalo a jaká spojení byla pravidelná i náhodně navazována. V okolní Evropě, ale i u nás bylo několik stanic s tenkrát již moderní výbavou, která spočívala v krystalech řízených oscilátorech a násobičích s elektronkami. Na výkonových násobičích zesilovačích byly elektronky LD11, výkony byly jednotky až desítky wattů. Výborným pomocní-

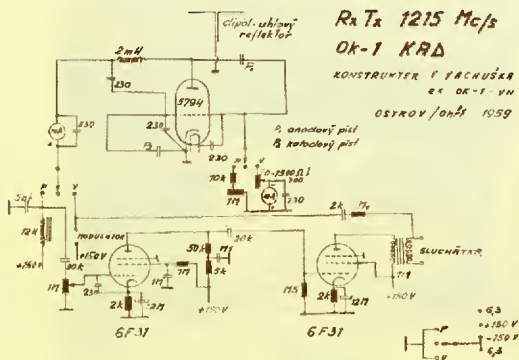
kem v práci byla knížka „Amatérská technika velmi krátkých vln“ od Antonína Rambousky. Pro mnohé to byl v té době přímo „slabikář“, popsané konstrukce byly jednoduché a funkční. Přijímače byly konvertory ke známým inkurátům, jako např. Emil, Fug16 i E10Ak. Na vstupu jen směšovače s křemíkovými diodami 1N21, 1N23, nebo jak se ty všechny ekvivalenty jmenovaly.

Předzesilovače v těch počátcích nebyly, vhodné prvky zatím nebyly dostupné. Při závedech se stále ještě prosazovaly stanice se sólooscilátory z minulosti dobře propracovanými a letitou činností ověřenými. Vzpomeňme na kolínskou partu s genálním konstruktérem Vráťou Poulou (později OK1WGO, obr. 1), na suggestivní popisy v Amatérském rádiu o spojení a experimentech kolektivu z Ostrova nad Ohří. Konstruktéři Václav Vachuška, OK1YN, a Mirek Klusák, OK1VMK, vzbuzují svoji šikovností obdiv i v současnosti (obr. 2, 4, 5).

Na Moravě byla skupina stanic, která obsazovala těžko dostupné kopce, kde provoz byl možný mnohdy jen z akumulátorů. Tam měly sólooscilátory pro svoji malou spotřebu výhodu, a tak se ani nemůžeme divit, že se provoz udržel až do poloviny sedmdesátých let (obr. 6).

Po vyhodnocení jednoho ze závodů to OK1VAM zhodnotil slovy „Tak Polní den zase vyhrál Moraváci se svými odpornými sólooscilátory...“

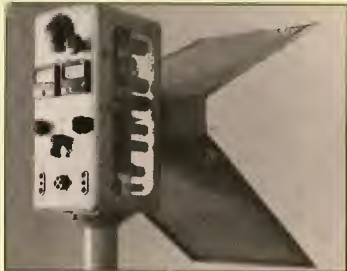
(Pokračování)



Obr. 2. Schéma transceiveru pro 23 cm od Václava Vachušky, OK1YN, s tužkovou elektronkou RCA 5794. Při vysílání pracovala jako sólooscilátor, při příjmu jako superreakční detektor



Obr. 1. Vráťa, OK1WGO, a Jára, OK1AEW, se zařízením pro pásmo 23 cm (1954)



Obr. 4. Transceiver Mirka, OK1VMK, pro pásmo 23 cm (1959)



Obr. 5. Transceivery OK1YN a OK1VMK pro 23 i 13 cm (duoband) z r. 1960



Obr. 3. (Vlevo) Tužková elektronka RCA 5794. Nejpoužívanější elektronka pro sólooscilátory na 23 cm. Západní vltř je v meteorologických sondách nosil do západních Čech už od 50. let... Vpravo je výkonnější typ podobné konstrukce YD1100 pro použití až do 7 GHz (Valvo, Siemens, 70. léta)



Obr. 6. Polní den 1962 u OK2KEZ na Vysoké Holi v Jeseníkách v pásmu 23 cm. U antény je Milan, OK2BFF. V současnosti má patrně nejdokonalejší zařízení na 2320 MHz, 10, 24 a 47 GHz u nás



Z RADIOAMATÉRSKÉHO SVĚTA

Společná expozice elektro- a radiotechnických kroužků dětí a mládeže

Holice 2015

21. – 22. srpna

**Vedoucím všech elektro-
a radiokroužků v ČR!**

Zdravíme všechny, kdo pracují s dětmi a mládeží v kroužcích elektroniky a radiotechniky, všechny, kdo uvažují, že by se do toho taky pustil.

Na webové stránce HAMIK, www.hamik.cz je nyní již 32 stavebních návodů, 14 článků se zkušenostmi, 73 adres kroužků, 3 adresy externích poradců (únor 2015). Vydávání HAMÍKa na internetu se setkala s velice pozitivním ohlasem od vás, vedoucích kroužků. Dostáváme od vás stavební návody, zkušenosti a adresy do tohoto užitečného souboru informací. Nyní vás chceme informovat o významné akci, kterou připravujeme na rok 2015:

Při Mezinárodním setkání radioamatérů Holice 2015 (21. – 22. srpna) se poprvé uskuteční „Společná expozice elektro- a radiokroužků“. Návštěvníci si zde budou moci pod vašim vedením zhotovit jednoduché elektronické přístroje, které si fungující odnesou s sebou domů.

Můžete jim předvést například základy morseovky nebo hon na lišku. Můžete jim předvést cokoliv jiného, čím se děti ve vašem kroužku zabývají.

V roce 2015 se bude společná expozice kroužků konat jen jediný den, v sobotu 22. srpna. Zapojit se mohou pod vašim vedením nejen děti, ale i dospělí návštěvníci – zájemci o amatérské rádio. Mnozí ještě neměli v ruce páječku, nesáhli si na teagrafní klíč, neslyšeli provoz na radioamatérském pásmu. Bude to náš společný příspěvek k zachování amatérského rádia pro budoucnost.

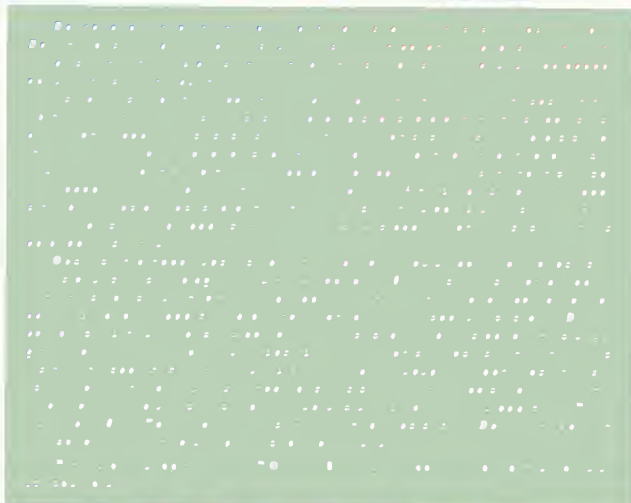
Prosíme, zvažte svoji účast na této významné celostátní a mezinárodní akci a dejte nám co nejdříve vědět, jestli **předběžně a nezavazně** o své účasti uvažujete. Pořadatelé z holické radioklubu OK1KHL vám, pracovníkům kroužků a dětem z vašeho kroužku uhradí dopravu, ubytování a stravu (ze sponzorských finančních darů). Váš příjezd očekáváme v pátek 21. 8. 2015 v poledne, akce se uskuteční v holické Sportovní hale v sobotu 22. 8. od 8 do 15 hodin. Předpokládáme účast dvou dospělých a dvou dětí z jednoho kroužku.

Odpovězte prosím co nejdříve na:

dpx@seznam.cz

Za pořadatele a organizátory Mezinárodního setkání radioamatérů Holice 2015 a „Společné expozice elektro- a radiokroužků“ vás zve organizační tým: Karel Košťál, OK1SQK, Vlastimil Píč, OK3VP, a Petr Prause, OK1DPX.

Dotazy zodpovíme, příp. další informace poskytneme rovněž na adrese dpx@seznam.cz nebo na telefonním čísle 728 881 496



*Náš záběr jsou ze skautského
radioklubu OK1RAJ v Praze. Viz:*

radioklub.dvojka.cz



Prostý třípásmový DCRX

Luboš Matyásek, OK1ACP; ok1acp@seznam.cz

(Dokončení)

Následuje detailní popis funkce směšovače:

Stručem úspěchu tohoto řešení DCRX je označován spínací směšovač s tranzistorem VT1. Na první pohled je zřejmé, že na elektrodách není žádný stejnosměrný potenciál, protože jde v podstatě o stupeň s řazeným odporem. Při malých napětích mezi S a D nezávisle na polaritě se chová kanál FETu jako obyčejný rezistor. Velikost jeho odporu možno měnit od několika MΩ při závěrném napětí na G do několika desítek Ω při otevřeném stavu. Tím způsobem se při přechodu oscilátorového napětí na G přes C17 obvod chová jako ideální směšovač. Závěrné napětí na G vzniká automaticky usměrňováním na p-n přechodu. Při tom mění amplitudu oscilátorového napětí a určuje hodnotu závěrného napětí na G, čímž může fidit v širokých mezích poměrnou délkou otevřeného stavu kanálu. Při směšování na harmonických kmitočtech oscilátoru pro vyrovnání citlivosti mezi pásmy je poměr otevřeného kanálu blízký hodnotě 4, což se v daném zapojení děje automaticky bez klopotného nastavování oscilátorového napětí. K tomu účelu stačí vybrat typ tranzistoru VT1 se závěrným napětím U_{DS} nejméně dvakrát menším než u VT2. Předností tohoto směšovače je, že se spokojí s malým výkonem oscilátoru, protože směšovač je nijak nezatěžuje, takže je možné se obejít bez oddělovacího stupně, což velmi zjednodušilo zapojení.

Vazba mezi vstupními a oscilátorovými obvody směšovače na základním kmitočtu 7 MHz se v podstatě odehrává na průchozí kapacitě mezi D a G, to se v principu jeví jako nedostatek pro použití

na vyšších pásmech. V tomto případě však o problém nejde, neboť pouze na kmitočtu 7 MHz pracuje směšovač na základním kmitočtu laděného oscilátoru a na vyšších harmonických pásmech se tento základní kmitočet nevyskytuje; jeho potlačení účinně probíhá ve vstupních pásmových filtrech. Nejmenší útlum oscilátoru bude na 7 MHz, ale zde se o normální funkci přijímače postará právě atenuátor s nastavitelným útlumem větším jak 60 dB.

Proměnný oscilátor na VT2 je Hartley bez nějakých zvláštností, kmitočet určují L4 a kondenzátory C11 až C13, rozladění na základním kmitočtu je 6,99 MHz až 7,18 MHz a na zbývajících dvou pásmech pak dvojnásobek a trojnásobek této hodnoty. Vazbu oscilátoru s G VT2 obstarává C16, na kterém díky usměrnění na p-n přechodu vzniká automatické předpětí, které dostatečně tvrdě stabilizuje amplitudu oscilačních kmitů zmenšováním zesílení VT2, čímž je i ovlivněna kladná zpětná vazba na části cívky L4, která je asi na jedné třetině od země.

Základní filtrace signálu v tomto přijímači DCRX se uskutečňuje na nf filtru (L5, L6, C18, C19, C21, C23, C24), a proto v podstatě vynikající parametry jsou určeny základní selektivitou tohoto filtru, jehož sestupná hrana je na kmitočtu

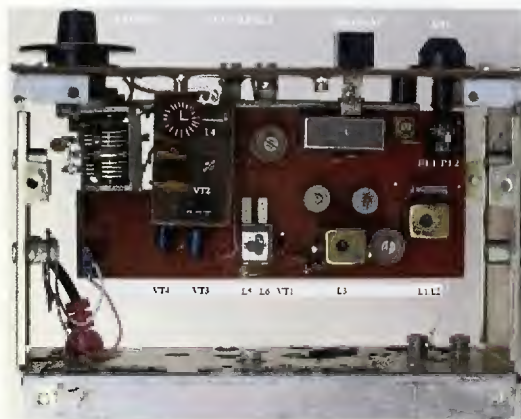


Obr. 5. Přípravek pro navijení cívek

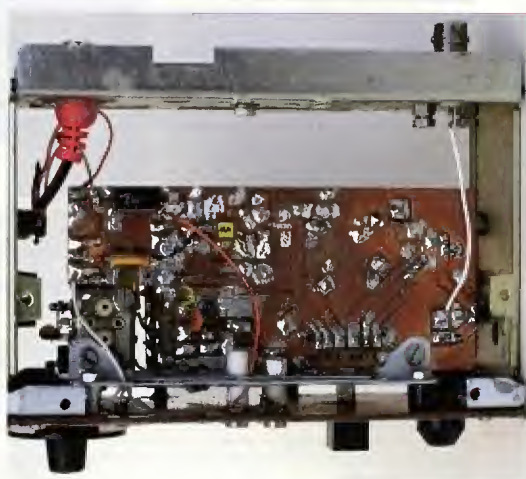
2,7 kHz. Kondenzátor C21 působí jako prvek určující sestupnou strmost průběhu 40 dB na oktávu. Použití kombinovaných hlav kazetových magnetofonů v tomto filtru má výhody v tom, že jsou malé, vlivem dobrého stínění necitlivé na vnější elektrická a magnetická pole a vykazují značnou linearitu při velkých úrovních signálu vlivem mezery v magnetickém obvodu. Sluší se poznamenat, že větší útlum asi o 3 dB lze dosáhnout křídlovým propojením cívek. Reálný odpor vinutí magnetofonových stereohlavíček se pohybuje mezi 250 až 300 Ω, čímž přepočteno na kmitočet 800 Hz vychází $Q = 2$. Bez ohledu na to, že zátěž následujícího nf zesilovače představuje hodnotu 5 až 10 kΩ, což je více jak výstupní impedance filtru, lze s uspokojením konstatovat, že nf signál nemá snahu zvonit.

K následujícímu nf zesilovači lze jen poznamenat, že aby vstupní odpor zesilovače co nejméně závisel na rozptýlu parametrů součástek, je odpor rezistoru R6 volen kolem 15 kΩ. Výstupní zátěž tvoří běžná komunikační sluchátka 4 kΩ, zapojená přímo mezi plus zdroje a kolektor VT4. Kondenzátor C27 spolu s indukčností připojených sluchátek tvoří laděný obvod, zlepšující poslech, jeho kapacita pro CW je 22 až 33 nF a pro SSB 2,2 až 4,7 nF.

Obr. 6. Zleva: zaklapávací toroid, cívky 140 mH pro nf filtr, hlava z kazetového magnetofonu



Obr. 7. Pohled shora dovnitř přijímače



Obr. 8. Vnitřek přijímače při pohledu zespodu (vpravo)

KN920 – Počátek expanze čínských KV transceiverů?



Obr. 1. Přední panel transceiveru KN920

Čína zažívá nebyvalý rozvoj v hospodářství, ekonomice a také v oblasti pro nás zajímavé, v radioamatérství. Ty tam jsou doby, kdy existovala jedna jediná dosažitelná stanice pracující na KV pásmech – BY1PK, později vystřídaná dlouhým obdobím sice většinou množství stanic, které však měly povolenou pracovat pouze mezi sebou a my mohli poslouchat jejich nesrozumitelné švadronech na 7 MHz. Dnes se stanice, jejichž prefix začíná písmenem B, vyskytují mnohé, Číňané dokonce pořádají dva mezinárodní závody a jak vidět, při korespondenci s ostatním světem jim dnes dělá problémy jen rozlišit písmena X, Y a Q v telegrafním provozu.

Rozvoj radioamatérství ovšem podporuje i jejich průmysl – VKV pojtek se objevilo vce již i na našem trhu, v loňském roce začal produkovat i jednoduchá zařízení pro KV pásma; z nich to, které popisují zde, bylo dokonce možné objednat přímo za 400 USD a při zaslání nepožadovali ani poštovné navíc. Jedním z představitelů této – řekněme rozvojové – řady je TRX typu KN920, v současné době údajně připravují pro radioamatéry zařízení, které má překvapit nejen cenou (v tomto případě nízkou) ale též parametry – údajně srovnatelnými s transceivery vyšší třídy.

Již zmíněný typ KN920 má jako transceiver na evropské zvyklosti poněkud nezvyklé parametry. Jednak malý výkon – 10 W, který však vyřazením omezovali obvodu lze zvýšit na dvojnásobek, a postrádá pásma 160 m a 60 m, které je v řadě zemí již také povoleno. Jejich pásma 80 a 40 m mají naopak pro vysílání umožněn větší rozsah, než je povolen v Evropě. Jeho přijímač část je však plněně přeladitelná v rozsahu 30 kHz až 30 MHz. TRX umožňuje pracovat provozem CW, SSB a FM (při-

jímač i AM) a má paměť pro 100 nastavitelných kmitočtů. Příjímač je s dvojnásobným směšováním – mf 45 MHz a 12 MHz, při FM navíc 455 kHz. Výrobce udává pro telegrafii možnost plynulého nastavení šířky pásma od 200 do 1200 Hz, bez bližšího určení, jakým způsobem. Napájení 13,8 V/D, 7 A jako RX, max. 4 A jako TX. Rozměry 230 x 90 x 230 mm, hmotnost 3,5 kg.

Prohlédnete-li si údaje o podobných dostupných zařízeních na stránkách RigPix (www.rigpix.com), narazíte na další s označením X108 fy Xiegu, které pracuje na 160 m a vzbuzuje větší důvěru již tím, že má dohledatelného výrobce, ovšem za vyšší cenu – asi 600 USD. V každém případě však příp. servis podobných zařízení bude problematický a jsem přesvědčen, že bude lépe vyčkat na připravovaný plnohodnotný model.

● **Transceiver „pro začátečníky“ od americké firmy TEN-TEC s názvem Eagle** (cena v USA asi 1500 USD) se umístil v tabulce doporučených zařízení na 9. místě v pořadí nejlepších radioamatérských zařízení, přičemž byly hodnoceny a bodovány udávané nejrůznější technické parametry jejich přijímačů (výsledky ankety byly zveřejněny v závěru loňského roku v časopise RadCom). Svědčí to o tom, že vysoká prodejní cena, podle které se hodnotí obvykle zařízení u nás, ještě nemusí znamenat špičkové parametry. Jen pro pořádek uvádím, že TRX Kenwood TS-990 neměl v té době ještě uveřejněné všechny technické parametry z testů, takže se nedostal do hodnocení. Pořadí vyšlo následující: 1. Hilbert PT8000A, 2. KX3(1), 3. FT DX 5000, 4. K3, 5. RX Perseus, 6. Flex 6000A, 7. Orion II, 8. Orion, 9. Eagle, 10. Flex 3000.

● **Univerzální nf zesilovač:** Firma Maxim Integrated Product Inc. již mnohokrát překvapila zájemavými integrovanými obvody. Tentokrát stojí za zmínku vícenásobný nízkofrekvenční zesilovač MAX98090 se třemi nezávislými vstupy, které lze použít pro digitální i analogové mikrofony, i pro linkový vstup, samostatné výstupy pak má pro připojení linky, příp. odposlech ve třídě AB, pro stereoreprodukty ve třídě D s výkonem 3 W na kanál a pro sluchátka ve třídě H.

To všechno dokáže s napájením o nízkém napětí 2,8 až 5,5 V jedné polarity. Sgálně jsou zpracovávány digitálně procesorem FlexSound, umožňují řízení úrovně zesílení i sedmikánalovou úpravu úrovně jako ekvalizér. Caý IO je ve 40pinovém pouzdře typu TQFN s rozměry 5 x 5 x 0,75 mm a klidová spotřeba se pohybuje jen v oblasti 4 mW. Podrobné technické údaje a interní funkční bloková schémata jednotlivých částí najdete v 166stránkovém popisu na <http://datasheets.maximintegrated.com/en/ds/MAX98090.pdf> a cena obvodu je asi 3 USD.

QX

Literatura

- [1] Poljakov, V.: Přijímač s přímým směšováním. RADIO 11/1977, s. 24.
- [2] Poljakov, V.: Prostý radiopřijímač krátkovlnného amatéra. RADIO 1/2003, s. 58 – 60.
- [3] Poljakov, V.: Radioamatérům o technice přímého směšování. Moskva, Patriot, 1990.
- [4] Zirkun, J.: Přijímač přímého směšování. Radioljubitel 7/1955.
- [5] Štěpánov, B., Šulcín, G.: Všeobecný KV přijímač. RADIO-87/PP, RADIO 1987.
- [6] Běleněcký, S.: Jednosměrový superhet s velkým dynamickým rozsahem. RADIO 10 a 11/2005.
- [7] Grigorov, I.: Prostý přijímač začátečníka. Radiokonstruktor 12/1999, s. 12, 13.
- [8] Běleněcký, S.: Nový pohled na směšovací detektor a některé aspekty jeho praktického použití. Materiály fóra cqham.ru
- [9] Morozov, V.: Úzkopásmový synchronní filtr. RADIO 11/1972, s. 53, 54.
- [10] Poljakov, V.: Spínací směšovač superhetu. http://www.cqham.ru/rx83_64.htm
- [11] Pogossav, A.: Modulátory a detektory s FET tranzistory. RADIO 10/1981, s. 19.
- [12] Běleněcký, S.: Stavím prostý PPP. http://www.cqham.ru/prosty_ppp.htm
- [13] OK1ACP: Přijímač s přímým směšováním kmitočtu. RADIO 11/1975.

Kdo by měl potíže s opatřením kombinované hlavy z „kazetáku“, můžou se pro ten účel použít dva zaklapávací odrušovací toroidy, které mají dvě při válcová jádra o průměru 12 mm a délce 13 mm. Zhotovím jsem si z plastu (poslouží i „tiskár“ určený k vyhození) přípravek dle obr. 5 a pomocí akvartčky nainalo na každý půlválec drátem Ø 0,18 mm do naplnění korýtko nepočítané závit, ale až do změněného odporu 13,5 Ω. Když jsem pak obě poloviny přiložil k sobě a sepnul gumovým kroužkem, propojí začátek jedné cívky s koncem druhé, byla celková indukčnost 140 mH a reálný odpor 25,6 Ω (obr. 6). Dosažením těchto údajů pro kmitočet 800 Hz do Q vzorce vychází jeho hodnota kolem 20, tedy desetkrát více než u mgf hlaviček. Toto řešení má navíc tu výhodu, že indukčnost si můžete doladit posuvem obou půlválců v ose na potřebnou velikost. Je však bezpodmínečně nutné obě cívky filtry umístit do stínícího krytu k zamezení vlivu blízkých elektrických a magnetických polí. Výhoda přerušení magnetického obvodu u tlumivce se zde dá realizovat vložením do páska alubalu mezi stýkovou hranu feritových půlválců, stačí na jedné straně.

Při ožiování přijímače je nejlépe začít nastavovat vstupní filtr na 21 MHz, na ostatních pásmech už se nenastavují cívky L3. A správné usazení do pásma 14 a 7 MHz obstarají kapacitní trimry. K těmto popsaným činnostem je nejlepší použít domácí TCVR s regulovatelným výkonem a vř voltmetr připojený na výstup vř filtru.

Kdo četli PE-AR 11/2014 na straně 42 a 43 o využitelných třístupných SMD, tak můžu ještě potěšit následovníky zjištěním, že jsem otestoval tranzistory s hvězdičkou označenými kódy z následujícího seznamu využitelných NPN typů také pro použití v zapojení LG a jednoznačně je můžu pro tento provoz doporučit, kmitají s větší amplitudou než mnou dříve doporučenými C3330. Seznam kódu:

*ACS, A4T, ALY, AQS, BGs, BQ, BV5, BR, CAC, C1G, C1Y, D2, D2p, *F3, EH, H, *L6, NJ, ND, NK, R1P, R2P, *SH, 1AM, 1E, 1F, 1Fp, 1Ft, 1Gs, *1L, 1LS, 2A, 2Cs, 3E, 3Ft, 3K, 6Gs, W04, ZR.

Ke každému kódu lze na webu nalézt typové označení, jako např. ACS = BCY58; takto vyšel seznam rozhodně kratší.

O magnetických smyčkových anténách – teorie/praxe/výroba

Geneze MLA-4B a MLA-6B

(Pokračování)

Počítačová simulace Akio Kogure, JG1UNE, jasně prokázala, že naše až nečekaně úspěšná MLA-M, jichž se v EU prodalo více než 300 kusů, nemůže být „královnou“ magnetických smyčkových antén (popis a hodnocení této antény viz PE-AR 12/2014, s. 43). Zjištění, která v PC simulaci analyzoval JG1UNE, potvrdila naše neblahá tušení. Lapidárně řečeno: Nic není zadarmo a „ohnutí fyziky“ způsobem, jímž se podařilo vyřešit „všepásmovost“ a použitelnost MLA-M v celém rozsahu radioamatérských pásem na KV, je řešení vtipné, nicméně kompromisní. Zkrat jednoho závitu na dvouzávitové MLA-M způsobuje snížení Q antény a tím, jak jsem si mnohem později matematicky odvodil a odměřil, i ne zcela optimální fungování v nejvyšším segmentu KV pásem (14 MHz až 28 MHz). Nutno nicméně vzít alespoň periferně na vědomí, ne-li přímo akceptovat, že nějakou přednost MLA-M asi musí mít, jinak by se během dvou let tak velký počet MLA-M zřejmě neprodal. Závěr: MLA-M je dobrá malá kompaktní QRP anténa, ale nemůže fungovat na optimu teoreticky vypočtených možností.

To byl hlavní důvod a motiv, proč jsem se už s několikaletými praktickými zkušenostmi v oboru návrhů MLA pustil do technického upgrade „úspěšné“ MLA-M. Měření, která následovala po zhotovení prototypů MLA-4B a MLA-6B, potvrdila výše zmíněné simulace a závěry JG1UNE. MLA-M v sobě skrývá rezervu a možnost získat z podobného typu antény pár dB navíc. Stačí odstranit zkrat, jímž si u MLA-M pomáháme k dosažení „fyzikálně nemožného“.

MLA-4B (four bands), obr. 32, je dvouzávitová magnetická smyčková anténa, která funguje od 3,5 do 14 MHz. Na pásmu 3,5 MHz podobná jako MLA-M je k rezonanci přiváděna pomocnou paralelní kapacitou případnou vnějším jumperem, obdobným jako u MLA-M V.5. Buzení MLA-4B je řešeno osvědčenou Faradayovou budicí smyčkou (FCC – Fa-



Obr. 32 MLA-4B (four bands)

raday Coupling Coil, viz PE-AR 8/2014, s. 44). Není to sice uživatelsky stejně elegantní jako dva kondenzátory u MLA-M, ale je to řešení stoprocentně splňující funkční požadavky. Ať chceme nebo ne, asi destinátní zvýšení výzráhového výkonu po této úpravě se opravdu pozná. Aby nedošlo k nedorozumění: u MLA-4B se to týká pouze pásma 14 MHz; na nižších pásmech pracuje i MLA-M se dvěma nezkratovanými závity. Mechanické provedení antény MLA-4B je blízké dizajnu MLA-M, odpadla pouze proměnná kapacitní vazba, a zmizel proto jeden knoflík na horní straně skříně. Přednosti buzení MLA-4B pomocí FCC je fakt, že především pro použití MLA v RX režimu je indukční vazba FCC mnohem lepší než asymetrická kapacitní vazba použitá u MLA-M. Především v QTH s elektrickým vř smogem je rozdíl obou vazeb patrný na první poslech. Model antény (MLA-4B) se sice prozatím sériově nevyrábí, ale závěry z testování několika kusů prototypů naznačují, že MLA-4B je na pásmu 14 MHz výrazně lepší než MLA-M.



Obr. 33. MLA-6B (six bands)

MLA-6B (six bands), obr. 33, je jednozávitová magnetická smyčková anténa, fungující od 10 MHz do 28 MHz. Buzení MLA-6B je řešeno identickou Faradayovou budicí smyčkou v prostorovém uspořádání, podobné jako u MLA-4B. Zvýšení výzráhového výkonu po této konstrukční úpravě MLA-M se u QRP opravdu vyplatí. Opět, aby nedošlo k nedorozumění, opakuj: u MLA-6B se to týká pásma 14 MHz a výše. Vnitřní provedení antény MLA-6B je identické s vnitřním dizajnem MLA-4B, i vnější uspořádání je blízké dizajnu MLA-4B, jen anténní smyčka je vůči skříni potočena o 90 stupňů, obr. 33. Provoz na všech KV pásmech lze řešit buď dvěma anténami (MLA-4B a MLA-6B), nebo přestrubováním konstrukčně kompatibilní jedno- a dvouzávitové smyčky. (Po nutném otevření skříně.) „Přezbrojení“ trvá v průměru asi 3 minuty. V ostatním je MLA-6B podobná MLA-4B.

OK2ER



Burger, O.; Dvorský, M.: Magnetická smyčková anténa pokaždé trochu jinak. Vydala společnost EDU-CA TV o.p.s. v r. 2015, 188 s., A5.

První kapitola knihy je exkurzem do teoretické podstaty magnetických antén. Shrnuje vše, co by hloubavý čtenář musel dohledávat jinde. Na konkrétním příkladu, krok po kroku, provádí teoretický návrh a výpočet magnetické smyčkové antény. Druhá kapitola jsou praktické pohledy a zkušenosti technika, který MLA vytváří a dotáhne je až do komerční podoby. Autor upozorňuje na vlastní chyby a omyly, kterým by se měli konstruktéři home made MLA raději vyhnout. Třetí kapitola shrnuje praktické zkušenosti a nezávislé hodnocení dvou desítek českých, slovenských a německých radioamatérů, kteří měli při zřízení se s výrobky BTV osobně seznámit. Čtvrtou kapitolu tvoří obrazová část, která soustřeďuje fotografie, které dělají tuto knihu zajímavým titulem, který nemá žádný přímý ekvivalent, nejen v ČR. Pátou část knihy tvoří firemní katalogové listy a texty návodů komerčně vyráběných MLA. Šestá kapitola jsou literární odkazy a seznam aplikovaných průmyslových vzorů a užitečných vzorů.

Okamžitě po otevření knihy je zřejmé, že zpracovaná téma může oslovit radioamatéry nebo i profesionály, kteří nemají možnost na svém stanovišti realizovat phorozměné antény a přitom se nechtějí spokojit s kompromisními řešeními. Kniha jistě bude zajímavá pro každého, kdo se zabývá mobilním rádiovým provozem nebo provozem z přechodných stanic.

OK2BUH, OK2WMC

Knihu si můžete zakoupit nebo objednat na dobírku u BEN-technická literatura, Věšínova 5, 100 00 Praha 10 - Strašnice, e-mail: knihy@ben.cz, zájemci ze Slovenska také na adrese www.edis.uniza.sk

Počítač v ham-shacku CXXVI

Modelování antén pomocí programu 4NEC-2

(Pokračování)

Tab. 15. Kontrolní karty (dokončení tabulky)

FR	
GN, GD	
KH	
LD	

NE, NH	blízká pole
NT	sít
NX	další struktura
PQ	ovládání tisku náboje na vodičích
PT	ovládání tisku proudu na vodičích
RP	vyzařovací diagram (zobrazení)
Pozn: kartu RP není nutné použít, pokud máte analýzy a zobrazení lze zpravidla volit přímo v programu.	
TL	
WG	zapsat soubor Greenovy funkce (Greenova funkce je funkce úměrnosti mezi vektorem proudové hustoty a vektorovým potenciálem.)
XQ	provést

(Pokračování)

RR

Firmware pro ICOM IC-7800/7700

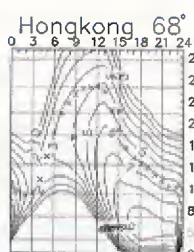


Firma ICOM v loňském roce vylepšila firmware ve verzi 3.01 pro IC-7800, jejich v současnosti nejlepší transceiver. Také pro model IC-7700 vloni upgradovala firmware ve verzi 2.0. V novém firmware je spousta novinek oproti starým verzím. Například je nová možnost nastavení šířky MF filtru, zcela novou funkcí je zobrazení vodopádu na spektroskopu, takže je možno sledovat průběh signálů (hlavně při digitálních provozech). Dále je zlepšena šířková hustota displeje u modelu IC-7800, dalším zlepšením je možnost připojení myši přes USB a tím možnost ovládání spektra na displeji. Přidána možnost opakování vysílané zprávy při hlasové komunikaci, lepší nastavení filtru NF signálu při CW provozu. Další novinkou je funkce dálkového ovládání stanice s přídatným modulem RS-BA1 a možnost použití a připojení flash karty via USB bez nutnosti ovládání z PC.

K novému firmware je možno na webových stránkách ICOM stáhnout i celý instrukční manuál: <http://www.icom.co.jp/world/support/download/firm/index.html>

JS

Předpověď podmínek šíření KV na březzen



Úvodem stručná rekapitulace. Rok 2014 byl rokem sekundárního maxima 24. jedenáctiletého cyklu, který měl navíc dva vrcholy: v měsíčních průměrech v únoru ($R_1 = 102,8$, $SF = 170,3$) a v září ($R_1 = 87,6$), resp. v prosinci ($SF = 158,8$). Vrchol klouzavého průměru byl v dubnu ($R_{12} = 81,9$). Primární maximum proběhlo v listopadu roku 2011 ($R_1 = 96,7$), resp. v únoru roku 2012 ($R_{12} = 66,9$). Nyní se nacházíme na sestupné fázi cyklu, zřejmě definitivně. Svědčí o tom i růst aktivity magnetického pole Země: všechny měsíční průměry indexu A z observatoře Wingat jsou, počínaje loňským zářím, vyšší než 10 (resp. mezi 10,9 – 13,3), přičemž ještě před rokem se běžně vyskytovaly i průměry přibližně poloviční. 24. cyklus se nejvíce podobá cyklu č. 16 s maximy v letech 1927 a 1928, po němž následují pouze cykly vyšší.

Předpovědi z obvyklých čtyř nejčastěji citovaných zdrojů obsahují tato očekávaná vyhlazená čísla skvrn: SWPC $R = 67,2 \pm 7$, IPS $R = 70,2$ a SIDC $R = 67 \pm 7$ s použitím klasické metody, nebo $R = 65 \pm 8$ pro metodu kombinovanou Dr. Hathaway (NASA) udává $R = 60,8$. Pro naše potřeby zvolíme opět $R = 66$, tj. sluneční tok $SF = 116$ s.f.u.

Důsledkem kombinace klesající úrovně sluneční radiace s vyšší aktivitou geomagnetického pole bývá zhoršení podmínek šíření KV. Díky dosud dostatečně vysoké sluneční radiaci bude mírné, i když již znatelné. Nejkratší pásma KV se sice dosud otevírají pro spojení DX, ale na kratší intervaly, nikoli však denně. Navíc se právě nacházíme přibližně uprostřed „velké jarní díry“, jak nazývají astronomové období od února do dubna, s nejmenší meteorickou aktivitou z celého

roku. Důsledkem je i řidký výskyt oblak sporadické vrstvy E, která sice nepravdělně, ale přece zato významně otevírá horních pásem KV umožňuje. Přesto březzen, zejména jeho druhá polovina a z ní především dny okolo rovnodennosti tradičně patří mezi období příznivá. Chování ionosféry na jižní polokouli Země je podobné jako na severní. Nikoli stejné, za což mohou zejména geomagnetické anomálie, tzv. jižní a jižozápadní. Výhodou je, že zóna soumraku prochází vyššími zeměpisnými šířkami, včetně jinak obtížně dosažitelných polárních oblastí.

Průměry tří nejdůležitějších indexů za leden 2015 jsou tyto: sluneční tok 141,7 s.f.u., číslo skvrn $R_1 = 67,0$ a geomagnetický index z observatoře Wingat $A = 10,9$. Poslední měsíční průměr R poslouží k výpočtu vyhlazeného průměru za červenec 2014 $R_{12} = 78,6$.

OK1HH

Radioamatérské DX-expedice v březnu až dubnu

Malawi

Dvě velké mezinárodní expediční skupiny navštíví Malawi. V době od 11. do 21. března 2015 to bude první skupina a dále druhá bude pokračovat v provozu od 22. března do 1. dubna 2015. Budou to vlastně dvě skupiny radiomaterů, které se tam budou střídát pod značkou 7QAA a mají rozdělené druhy provozu. V prvním týmu bude Neil, VA7DX, Roger, ZS6RJ, Keith, VE7KW, Emil, DL8JJ, Don, VE7DS, John, GB4SKA, a Alex, DL6KVA. Tato první skupina bude vysílat jen CW a RTTY v pásmech od 160 do 10 metrů. Řítil vybavení je následující: 1x transceiver Elecraft K3 a 3x transceiver Kenwood TS-590S. K nim budou mít zesilovače 1x ACOM 600S, 2x Expert 1K, 1x Elecraft KPA 500. Jako antény instalují 4x hexbeam pro pásma od 20 do 10 metrů, dále 2x invertovaný L-antény pro spodní pásma a další poslechové soustavy antén. Ve druhé skupině budou tři hamové: Froesty, K5LBU, Sam, ZS6BRZ, Dick, K9APV, John, GW4SKA, Chris, G8APB, Marco, HB9OCR, Alex, DD5ZZ, a ještě jeden operátor, který se

má přihlásit dodatečně. Tato skupina bude pracovat výlučně SSB a RTTY. Zúčastní se i WPX SSB kontestu. Log celé expedice bude denně aktualizován na webu ClubLogu. Také po skončení výpravy nahrají log do LoTW. Použité frekvence a další informace jsou na jejich webových stránkách. Stanoviště expedičních týmů je v areálu hotelu Ngala Lodge ve čtvrti KH77AP. Ten je situován na pobřeží jezera Malawi, asi 4 hodiny jízdy od hlavního města Lilongwe. QSL bude vyřizovat Dick, N7RO. Instrukce budou ohlášeny v průběhu nebo na konci expedice. <http://www.malawidx.org/index.html>

Mikronésie

Dva britští radioamatéři podniknou menší expedici na ostrov Truk (Chuuk, IOTA OC-011) v Mikronésii (V8) v Pacifiku. Keith, GM4YXI/GM5X, a Chris, GM3WOJ/GM2V, budou z ostrova činní v době od 27. března do 9. dubna 2015. Jejich stanovištěm bude hotelový komplex Blue Lagoon Resort na nejjižnější části ostrova (obr. 2). Pro blízkost moře a dobrý výhled směrem na Evropu je velice vyhledávaným centrem radioamatérských expedičních skupin. Volací značku zatím nehlásili, ale mají vše zajištěné, včetně dopravy a ubytování. Budou pracovat na všech KV pásmech od 160 do 10 metrů, hlavně se chtějí věnovat provozu na spodních pásmech. Použít budou dva malé transceivery s jedním tran-



Obr. 2. Pláž Modré laguny na mikronéském ostrově Truk

zistorovým 500W zesilovačem. Jako antény budou používat drátové vertikální dipóly pro spodní pásma plus další více-pásmový vertikál pro pásma od 30 do 10 metrů. V tomto hotelu mívají také občas vlastní vybavení i radioamatéři z Japonska. Pokud tam zanechají nějakou směrovku, tak ji určitě Keith a Chris použijí. Provoz bude hlavně CW, případně také SSB nebo digitálními módy. Jak to bude s jejich online logem, to se ukáže až v době jejich provozu. QSL bude vyřizovat každý samostatně po návratu domů.

OK2JS



Obr. 1. Logo expedice do Malawi

IX. stretnutí radioamaterů QRP Vrutky 2015

sa uskutoční v sobotu 16. mája 2015 od 8 hod. v Turčianskych Kľačanoch v penzióne Svätý Mitro. Blíže info na <http://www.om3kfv.szm.sk>

Kalendář závodů na března a duben (UTC)

7.3.	SSB	SSB	06.00-08.00
7-8.3.	ARRL DX Contest	SSB	00.00-24.00
8.3.	DARC 10 m digital	DIG	11.00-17.00
8.3.	VRK závod	CW/SSB	06.00-08.00
9.3.	Aktivita 160	CW	20.30-21.30
14.3.	Oil Activity	CW/SSB	05.00-07.00
14.3.	AGCW QRP Contest	CW	14.00-20.00
14-15.3.	EA FSK Contest	FSK63	16.00-18.00
14-15.3.	DIG QSO Party	SSB	viz podm.
21.3.	Popov Memorial	CW/SSB	05.00-08.00
21-22.3.	Internat. SSTV DARC	SSTV	12.00-12.00
21-22.3.	Russian DX Contest	MIX	12.00-12.00
21-23.3.	BARTG RTTY	RTTY	02.00-02.00
28-29.3.	CQ WPX Contest	SSB	00.00-24.00
4.4.	SSB liga	SSB	05.00-07.00
4-5.4.	SP DX Contest	CW/SSB	15.00-15.00
5.4.	Provozni aktiv KV	CW	06.00-06.00
5-6.4.	EA RTTY	RTTY	16.00-18.00
6.4.	Aktivita 160 m	SSB	19.30-20.30
11.4.	OM Activity	CW/SSB	04.00-05.59
11-12.4.	DIG QSO Party	CW	viz podmínky
11-12.4.	Japan Int. HF CW	CW	07.00-13.00
11-12.4.	OK OM DX Contest	SSB	12.00-12.00
11-12.4.	Gagarin Int. DX Contest	CW	21.00-21.00
13.4.	Aktivita 160 m	CW	19.30-20.30
17-18.4.	Holický pohár	MIX	21.00-21.00
18.4.	OK CW závod	CW	04.00-06.00
18.4.	ES open Championship	CW/SSB	05.00-08.00
18-19.4.	CQ MM DX Contest	CW	12.00-24.00
18-19.4.	YU DX Contest	MIX	21.00-17.00
25.4.	Holický pohár	CW/SSB	04.00-06.00
25-26.4.	SP DX RTTY Contest	RTTY	12.00-12.00
25-26.4.	Helvetia XXVI	MIX	13.00-13.00

Upozorňujeme na nový OK OM DX Contest SSB provozem, úplné podmínky na webu CRK, zkrácené na našem webu – adresa viz dále. Termíny bez záruky, podle údajů dostupných v době připsání příspěvku. Podmínky většiny uvedených závodů najdete na internetové stránce www.aradio.cz (výběr „podmínky závodů“). Na <http://www.qrz.ru/contest/> jsou uveřejněny výsledky z předchozích let. Nezapomínejte, že v počítači se vám automaticky posune 29. března v 02.00 hodin čas na 03.00, proto vždy doporučuji vést stanční hodiny a deník v UTC čase, kde k žádné změně nedochází (viz ustanovení Radiokomunikačního řádu o vedení dokumentace, byť jsem jej naposledy viděl někdy před 30 lety...), není pak nutné problematicky přepočítávat údaje z došlých QSL, pokud provádíte kontrolu. Připomínám, že závody Holýland a Helvetia XXVI jsou nyní vypsané i pro digitální druh provozu.

Lovce severoamerických okresů mohou zajímat termíny lokálních „party“ – v dubnu 4. – 5. to bude stát Mississippi, 11. – 12. Georgia, 18. – 19. stát Michigan a provincie Ontario a 25. – 26. stát Florida. V minulém čísle PE-AR byly uvedeny adresy, kde najdete jejich podmínky.

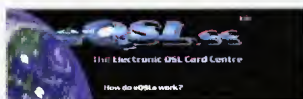
Adresy k odeslání deníků přes internet

Zde uvedené adresy doporučujeme těsně před odesláním přikontrolovat na www.hornu.copla.com/contestal/contestal.html nebo www.radio.ru/contest/, dříve obíbený web SM3BG postrádá často aktualizaci. Nejlépe zjistíte přep. změny na internetových stránkách jednotlivých pořadatelů; změny těsně před závodem nelze při sestavování přehledů podchytit!

Aktivita 160 CW: cw@a160.net
 Aktivita 160 SSB: ssb@a160.net
 BARTG RTTY: skat@bartg.org.uk
 CQ Manchester Mineira (CQ MM) DX: cwji@cqmmdx.com
 CQ WPX SSB: ssb@cqwpx.com
 DARC SSTV: DL9QSS@darc.de
 DIG: df2kd@dar.de
 EA RTTY: rtycontest@ure.es
 ES Open: esopen@erau.ee
 Eu Sprint: eusprint@kkn.net
 Gagarin: gc15@gst.ru
 Helvetia: contest@uska.ch
 Holyland: 4Z4KX@jarc.org
 Holický pohár: hp@ok1kht.com
 Japan Int.: cw@jdx.org
 OK CW: okcw@crk.cz
 OK OM DX SSB: <http://okomdx.crk.cz>

Russian: rdxc@srr.ru
 SP DX: spdx-logs@pzk.org.pl
 SP DX RTTY: sprty@pzk.org.pl
 UBA: ubaspring@uba.be
 YU DX: yudx@yu1srs.org.rs

Z eQSL služby



V databázi eQSL služby (www.eqsl.co) má v současné době uloženo více jak 236 000 radioamatérů data o více jak 380 milionech navázaných spojení, za která si protistanice mohou přímo stahovat své QSL-lístky. Když si uvědomíte, že tato služba je pro tisíce amatérů zcela zdarma a při zaplacení 10 \$ máte možnost po dobu jednoho roku využívat některé další služby, naskytá se otázka, proč ji nevyužívají všichni? Existuje sice také služba LoTW s primární vazbou na diplom DXCC – tu vynikajícím způsobem využívá logovací program Logger 32 k informacím o všem, co se dá z deníku vyčíst, včetně informací z různých dalších databází, ale potvrzení o navázaném spojení lze využít jen pro některé diplomy a do ruky je nedostanete.

QX

Kalendář závodů na duben (UTC)

1.4.	MOON Contest ¹⁾	144 MHz	18.00-20.00
5.4.	Velikonoční závod ²⁾	144 MHz a výše	08.00-14.00
5.4.	Velikonoční závod dětí ³⁾	144 MHz	08.00-15.00
7.4.	Nordic Activity Contest	144 MHz	17.00-21.00
8.4.	MOON Contest ¹⁾	432 MHz	18.00-20.00
9.4.	Nordic Activity Contest	50 MHz	17.00-21.00
11.4.	FM Pohár	145 a 432 MHz	08.00-10.00
11.4.	Mistr. ČR dětí ³⁾	145 a 432 MHz	08.00-10.00
14.4.	Nordic Activity Contest	432 MHz	17.00-21.00
16.4.	Nordic Activity Contest	70 MHz	17.00-21.00
19.4.	Provozni aktiv	144 MHz-76 GHz	08.00-11.00
19.4.	Mistr. ČR dětí ³⁾	144 a 432 MHz	08.00-11.00
19.4.	DUR Activity Contest	1,3 GHz a výše	08.00-11.00
21.4.	Nordic Activity Contest	1,3 GHz	17.00-21.00
28.4.	Nordic Activity Contest	2,3 GHz a výše	17.00-21.00

¹⁾ Hlášení na: ok2vzb.waypoint.cz/mc/

²⁾ Deník na: <http://ok1kht.cz>

³⁾ Hlášení na: v.horak@barak.cz

DVA

25. dubna 2015 – Radioamatérské setkání ve Frenštátě p/R



Jarní setkání radioamatérů ve Frenštátě pod Radhoštěm (jubilární padesáté) se koná v sobotu 25. dubna 2015! Jako vždy v budově Střední průmyslové školy e elektrotechnické. Začátek je od 7 hodin ráno a akce trvá podéle pořebu do dopoledních hodin. Na programu je mj. tradiční bleší trh a tombola. Základní občerstvení je přímo v areálu školy.

Srdečné zvou pořadatelé
Franta, OK2VFS, Bohouš, OK2VXV,
a Šárka, OK2SVA

† Silent key OM8CA



Zemřel nejstarší radioamatér-železničiar, Gejza Illes, OM8CA

15. januára 2015 sa košický radioamatér rozlúčil s Gejzom Illesom, OM8CA, ktorý sa narodil 7. decembra 1917. V roku 1949 dostal poslušnosťné číslo, roku 1959 obdržal koncesiu OK3CAJ. Pracoval tiež ako OK5KWA, MIR, MMM, OK3KUS, OM9OT, JP, EU, AU; od svojich 90 rokov postupne ako OM90GI do OM96GI a angažoval sa v rôznych funkciách v CRK, ZSR aj FIRAC. Roku 1963 založil rádiový klub pri ČSD OZD Košice so značkou OK3KWM, OM3KWM, spolu s Jirkom Pečkom, OK2QX, roku 1991 odbočku FIRAC a v roku 1993 železničiar sky rádiový klub s celoslovenskou pôsobnosťou. Bol členom OTC a NMARK – klubu maďarsky hovoriacich radioamatérov. Poznali ho radioamatéri v celej Európe, v jeho ham shacku visia rôzne diplomy, pamätne stuly, vlnky, poháre, tanier a iné pamätne suveníry. Na cintoríne sa s Gejzom Illesom rozlúčil za radioamatérov OM8TA a za NMARK HAKKA z Debrecenu. Česť jeho pamiatke.

František Prohászka, OM8TA

INZERCE

Predám různé radioamatérské součástky a přístroje, zosilňovače a repro skrine. Tel. 421 902 101 978.



www.etc.eu

Osciloskopy

Generátory

Analýzatory

Príslušenstvo

Vývoj a výroba

Mimoriadna akcia:
M524 za 207 EUR bez DPH



Objednávky: sales@etc.eu
Akcia trvá do vypredania zásob.

Návrat ke klasice gramofonů a vinylových gramodesek



Vyměňte u gramofonů staré přenosky, jehly, podložky, řemínky a nebo je **vylepšete** pomocí doplňků. Očistěte nebo **vyperte** gramofonové desky a přehrajte si staré zapomenuté hity. Zaposlouchajte se do melodií s mnohem lepší dynamikou než z CD a DVD disků. Nabízíme Vám vše potřebné.



Ortofon OMB-5E 569 Kč
Tesla VK-4302 519 Kč
Digitální váha 1249 Kč



Vodováha Ortofon s křížem 930 Kč
Obaly na LP/SP 549/415 Kč
Čistička na gramo desky 1295 Kč

www.graled.cz nebo www.ellax.cz • ellax@volny.cz • mobil: +420 603 263 026 • Praha/ČR/SR



Stále si
můžete
objednávat
naše DVD.
Objednávky
na tel.:
702 106 157;
www.aradio.cz;
e-mail:
odbyt@aradio.cz



Seznam inzerentů v PE 03/2015

AEC - TV technika a elektromechanické součástkyIV
AMPER 2015 - pozvánka na veletrhII
ANTECH - TV technikaXVI
BEN - technická literaturaXII, XIII
BUČEK - desky s plošnými spojiVII
DIAMETRAL - elektronické přístrojeIII
DIAMETRAL - laboratorní vybaveníII, str. obálky
ELAX - vše pro gramofony a vinylové gramodesky48
ELEX - elektronické přístrojeX
ELFA - optoelektronická čidlaX
ELEKTRO SOUND - plošné spoje, el. součástkyX
ELING - BOPLA - přístrojové krabičkyIV, str. obálky
ELNEC - programátory aj.X
ETC - měřicí přístroje48

FISCHER - elektronické součástkyIV
FLOW CAD - návrhové systémyVII
FOR ENERGO 2015 - pozvánka na veletrhXVI
GAMA aluminium - Al chladiče, LED svítidlaIX
INFRASENSOR - průmyslové snímačeV
JUNGHEINRICH - nabídka zaměstnáníXI
KONEKTORY BRNO - konektoryX
MECOTRONIC - frézování a soustr. dílů, plastyX
MICRONIX - měřicí přístrojeIII, str. obálky
MOUSER - elektronické součástkyVIII
PaPouch - měřicí a komunikační technikaVII
P+V ELECTRONIC - vinuté a mechanické dílyVI
Speciál Electronic - frézky na výrobu DPSI
UTILCELL - indikátor dat 400/500VII